

Universidade de Lisboa
Faculdade de Medicina Dentária



**Estimativa Médico-Legal da Idade pela Proporção Polpa/Dente
numa População Portuguesa: Comparação entre o Método de
Cameriere e o Método de Kvaal em Caninos**

Cátia Perez

Orientadores:

Professora Doutora Cristiana Palmela Pereira

Professor Doutor Rui Santos

Dissertação

Mestrado Integrado em Medicina Dentária

2020

Universidade de Lisboa
Faculdade de Medicina Dentária



**Estimativa Médico-Legal da Idade pela Proporção Polpa/Dente
numa População Portuguesa: Comparação entre o Método de
Cameriere e o Método de Kvaal em Caninos**

Cátia Perez

Orientadores:

Professora Doutora Cristiana Palmela Pereira

Professor Doutor Rui Santos

Dissertação

Mestrado Integrado em Medicina Dentária

2020

AGRADECIMENTOS

Um desafio maior que escrever esta dissertação é agradecer apenas numa página a todas as pessoas que me apoiaram e me inspiraram ao longo deste percurso.

Mafalda Lara, mãe, a pessoa que sempre vi estudar, lutar e trabalhar para alcançar os seus objetivos, que me ensinou tudo sobre produtividade, ética profissional, empatia, humildade, responsabilidade e humanidade. Grata por poder contar com ela e ser o meu contacto SOS sempre que eu preciso.

Mariana Perez, a minha irmã, a pessoa que sem saber mais me motiva a viver e dar o meu máximo. Se todos os dias tento alcançar a melhor versão de mim própria é para ela e por ela.

Carlos Perez, pai, ao maior investidor dos meus projetos e sonhos, que abdica sempre dos seus próprios em prol dos meus. Que se preocupa comigo como ninguém e me diz todos os dias o quanto sente orgulho em mim independentemente do que eu faça ou escolha.

Tania Cabaço, Patrícia Reis e Mónica Chantre, as melhores pessoas que a faculdade me deu. Mais que minha dupla, a Tania é com quem partilho as minhas histórias, com quem desenvolvi aquele tipo de cumplicidade que nem é preciso falar porque um olhar basta para comunicar. A Patrícia é aquela amiga que me traz bom senso quando me falta, mas também se perde comigo sem GPS com a confiança cega que algum dia nos encontraremos. Mónica Chantre, vizinha, dupla e amiga, a pessoa mais paciente, que me impõe regras, me orienta e me guia quando me desvio.

A todas as minhas colegas do grupo de investigação forense, Adriana Resende, Ana Rodrigues, Diana Augusto, Joana Sardinha, Carla Belo, Daniela Peixoto e principalmente Adriana Pires por toda a ajuda que me deram na realização desta dissertação. Sempre que tive dúvidas, hesitações ou desafios podia contar com elas como uma família de trabalho.

Professora Doutora Cristiana Palmela Pereira, a minha orientadora, a professora que sempre olhei com imensa admiração desde a primeira aula de Morfologia Dentária. Elegante, assertiva, poderosa, extremamente inteligente, fez-me pensar de imediato: quero ser assim. Ainda me falta imenso para conseguir, mas esta dissertação permitiu-me trabalhar de perto com ela e aprender que independentemente dos desafios pessoais, as nossas responsabilidades profissionais não podem ser deixadas de parte. A gestão do nosso tempo exige o nosso melhor em todas as áreas da nossa vida e a Medicina Dentária e os pacientes que dependem de nós são, tal como a família e amigos, a nossa máxima prioridade.

RESUMO

Introdução: A estimativa da idade cronológica de um indivíduo adulto baseia-se nas alterações degenerativas que o dente sofre uma vez formado.

Em 1995, Kvaal *et al.* propõem um método que correlacionava a deposição de dentina secundária com a redução da câmara pulpar através da proporção polpa/dente, utilizando várias medições lineares, com recurso a radiografias periapicais. Mais tarde, outro método foi proposto por Cameriere *et al.*, utilizando a proporção da área polpa/dente, utilizando os caninos superiores e inferiores, com recurso a ortopantomografias.

Objetivo: O principal objetivo desta investigação consistiu em estimar a idade cronológica numa população adulta portuguesa, no âmbito da identificação médico-legal da idade, através da metodologia da proporção polpa/dente em caninos, pelo método de Kvaal e de Cameriere, utilizando radiografias panorâmicas.

Materiais e Métodos: Foram selecionadas 200 ortopantomografias, com um total de 800 caninos, a partir de uma amostra composta por 84 pacientes masculinos e 116 femininos, com idade compreendida entre os 21 e os 82 anos. Realizaram-se as medições e rácios necessários para os dois métodos de avaliação da proporção polpa/dente, método de Cameriere e de Kvaal, no programa Adobe Photoshop 2020. Foram aplicadas as fórmulas desenvolvidas por aqueles dois autores para cálculo da estimativa de idade. Posteriormente, os resultados foram analisados estatisticamente.

Resultados e Discussão: A avaliação da relação entre as variáveis, a idade e o rácio polpa/dente para ambos os métodos, foi feita pelo coeficiente de correlação de Pearson (entre 0,004 e -0,253) e de correlação de Spearman (entre -0,041 e -0,092) e, não evidenciaram correlação. Os novos modelos de regressão linear apresentaram valores de coeficiente de determinação reduzidos, o que indica uma baixa explicação dos modelos por cada método.

Conclusão: Este estudo permite concluir a não aplicabilidade do método de Kvaal e do método de Cameriere na população portuguesa adulta, havendo diferenças significativas entre a idade cronológica e a idade dentária dos indivíduos, estimada pelo método de proporção polpa/dente nos dentes caninos.

PALAVRAS-CHAVE: Medicina Dentária Forense; Estimativa médico-legal da idade; Ortopantomografia; Proporção Polpa/Dente; Método de Kvaal, Método de Cameriere.

ABSTRACT

Introduction: The estimate of an adult individual's chronological age is based on degenerative changes that the tooth undergoes once formed.

In 1995, Kvaal *et al.* proposed a method that correlates the deposition of secondary dentin with the reduction of the pulp chamber through the pulp/tooth ratio, using several linear measurements from periapical radiographs. Later, another method was proposed by Cameriere *et al.*, using the proportion of the pulp/tooth area, on superior and inferior canines, using orthopantomographies.

Objective: The main objective of this investigation was to estimate the chronological age on an adult Portuguese population, within the scope of medico-legal age identification, applying a pulp/tooth area proportion method in canines by Kvaal's and Cameriere's methods using panoramic radiographs.

Materials and Methods: For this investigation 200 orthopantomographies were selected, with a total of 800 intact canines, from a sample composed of 84 male and 116 female patients, aged between 21 and 82 years. The measurements and ratios necessary for both pulp/tooth area proportion methods by Kvaal and Cameriere were performed in the Adobe Photoshop 2020 program. The formulas developed by these two authors were applied to calculate the age estimate. Subsequently, the results were analyzed statistically.

Results and Discussion: The evaluation of the relationship between the variables, age and the pulp/tooth ratio for both methods, by Pearson's correlation (between 0,004 and -0,253) and Spearman's correlation (between -0,041 and -0,092), did not evince any correlation. The new linear regression models showed reduced determining coefficient values which indicate a low explication of these models for each method.

Conclusion: This investigation allows us to conclude the non-applicability of the Kvaal method and the Cameriere method in the Portuguese population, with statistically significant differences between the chronological age and the dental age, estimated by the pulp/tooth proportion method in canines.

KEY-WORDS: Forensic dentistry; Medico-legal age estimation; Orthopantomography; Pulp/Tooth Proportion; Kvaal's method, Cameriere's method.

ÍNDICE

AGRADECIMENTOS	iii
RESUMO	iv
ABSTRACT.....	v
ÍNDICE	vi
ÍNDICE DE TABELAS	ix
ÍNDICE DE GRÁFICOS	x
LISTA DE ABREVIATURAS E SIGLAS.....	xi
1. INTRODUÇÃO	1
1.1. Considerações finais	2
2. OBJETIVOS	3
2.1. Objetivos principais	3
2.2. Objetivos secundários	3
2.3. Objetivo final	4
3. MATERIAIS E MÉTODOS	5
3.1. Delineamento experimental	5
3.2. Amostra populacional	5
3.2.1. Parâmetros identificativos	5
3.2.2. Parâmetros dentários específicos	5
3.3. Metodologia de recolha de dados	6
3.4. Metodologia de validação de dados	7
3.4.1. Concordância intra-observador	8
3.5. Análise estatística de dados	8
4. RESULTADOS	10
4.1. Análise descritiva.....	10
4.2. Análise estatística dos dados	10
4.2.1. Concordância intra-observador	10
4.2.2. Método de Cameriere	11
4.2.2.1. Correlação de Pearson e Correlação de Spearman	11
4.2.2.2. Avaliação dos coeficientes de Cameriere	12
4.2.2.3. Regressão linear de Cameriere	13
4.2.3. Método de Kvaal	15

4.2.3.1. Correlação de Pearson	15
4.2.3.2. Avaliação dos coeficientes de Kvaal	16
4.2.3.3. Regressão linear de Kvaal	17
4.2.4. Comparação de estimativa de idade por ambos os métodos	19
5. DISCUSSÃO	20
5.1. Integridade da metodologia experimental	20
5.2. Análise descritiva	20
5.3. Análise estatística dos dados	20
5.3.1. Concordância intra-observador	20
5.3.2. Método de Cameriere	21
5.3.2.1. Correlação de Pearson e Correlação de Spearman	21
5.3.2.2. Avaliação dos coeficientes de Cameriere	23
5.3.2.3. Regressão linear de Cameriere	24
5.3.3. Método de Kvaal	24
5.3.3.1. Correlação de Pearson	24
5.3.3.2. Avaliação dos coeficientes de Kvaal	25
5.3.3.3. Regressão linear de Kvaal	26
5.3.4. Comparação de estimativa de idade por ambos os métodos	27
6. CONCLUSÕES.....	28
6.1. Conclusões relativas aos objetivos principais	28
6.2. Conclusões relativas aos objetivos secundários	28
6.3. Conclusões relativas ao objetivo final	28
6.4. Conclusões gerais	28
REFERÊNCIAS BIBLIOGRÁFICAS	29
ANEXOS	32
Anexo 1 – Cartas de pedido de autorização	32
I – Carta para a Direção Clínica da FMDUL	32
II – Carta para a Comissão de Ética para a Saúde da FMDUL	33
III – Carta para o Conselho Científico da FMDUL	34
Anexo 2 – Parecer da Comissão de Ética para a Saúde da FMDUL	35
Anexo 3 – Dados do estudo: Abreviaturas e códigos de registo	36
Anexo 4 – Editor SPSS.....	37
Anexo 5 – Frequência de idade (em anos) por género do paciente	61
I - Gráfico de frequência de idade (em anos) por género do paciente	61

II – Tabela de faixa etária (em anos) por género do paciente	61
Anexo 6 – Valores de CCI (análise intra-observador)	62
I – M1VM2	62
II – M1VM3	68
Anexo 7 – Método de Cameriere: Correlações de Pearson.....	74
Anexo 8 – Método de Cameriere: Correlações de Spearman	74
Anexo 9 – R^2 , R^2 ajustado e SEE de Cameriere	75
Anexo 10 – Modelo de Regressão Linear de Cameriere	77
Anexo 11 - Método de Kvaal: Correlações de Pearson	79
I – Dente 13	79
II – Dente 23	79
III – Dente 33	80
IV – Dente 43	80
Anexo 12 – R^2 , R^2 ajustado e SEE de Kvaal	81
I - Variáveis M, W-L e G	81
II - Variáveis T, P, R, A, B, C e G	82
Anexo 13 – Modelos de regressão linear de Kvaal	84
I - Variáveis M, W-L e G	84
II - Variáveis T, P, R, A, B, C e G	85
Anexo 14 – Testes de normalidade de Kolmogorov-Smirnov.....	87
Anexo 15 – Estatística de teste NPAR de WILCOXON	87

ÍNDICE DE TABELAS

Tabela 1 – Fórmulas de regressão de Kvaal e Cameriere para cálculo da estimativa de idade em caninos. $x_1=P/T$ caninos superiores; $x_2=P/T$ caninos inferiores.	7
Tabela 2 – Valores CCI da Análise Intra-observador.	11
Tabela 3 - Correlação de Pearson (r) e p -value (p) para variáveis de Cameriere.	12
Tabela 4 - Correlação de Spearman (r_s) e p -value (p) para variáveis de Cameriere.	12
Tabela 5 – Caraterização dos erros de estimação (em meses) através dos coeficientes de Cameriere.	12
Tabela 6 – Caraterização dos erros de estimação (em meses) em termos absolutos através dos coeficientes de Cameriere.	13
Tabela 7 – Coeficiente de determinação (R^2), coeficiente de determinação ajustado (R^2_a) e desvio padrão do erro de estimativa (SEE) para variáveis de Cameriere.	13
Tabela 8 – Caraterização dos erros de estimação e dos erros de estimação em termos absolutos da idade estimada através da regressão linear a partir das variáveis de Cameriere.	14
Tabela 9 - Correlação de Pearson (r) e p -value (p) para variáveis de Kvaal.	15
Tabela 10 – Caraterização dos erros de estimação e dos erros de estimação em termos absolutos da idade estimada através dos coeficientes de Kvaal (em meses).	16
Tabela 11 – Caraterização dos erros de estimação e dos erros de estimação em termos absolutos da idade estimada através da regressão linear a partir das variáveis M, W-L e G (modelo 1).	18
Tabela 12 – Caraterização dos erros de estimação e dos erros de estimação em termos absolutos da idade estimada através da regressão linear a partir das variáveis T, P, R, A, B, C e G (modelo 2).	18
Tabela 13 – Aplicação do teste de Wilcoxon para amostras emparelhadas para comparação das estimativas com a idade cronológica (regressão de Cameriere).	19
Tabela 14 – Aplicação do teste de Wilcoxon para amostras emparelhadas para comparação das estimativas com a idade cronológica (regressão de Kvaal).	19
Tabela 15 – Coeficientes de Pearson descritos na literatura (adaptado de Pires A. 2019.) ⁽¹⁾ ...	23
Tabela 16 – Comparação coeficientes de correlação do estudo com coeficiente de Kvaal. ⁽²⁾	25

ÍNDICE DE GRÁFICOS

Gráfico 1 – Distribuição da amostra populacional por género.	10
Gráfico 2 - Idade (em meses) na data do Rx panorâmico por idade estimada (variáveis de Kvaal para o dente 33), por género do indivíduo.	16
Gráfico 3 – Comparação gráficos distribuição da proporção polpa/dente por classes etárias do estudo com gráficos de Cameriere. ⁽³⁾	22

LISTA DE ABREVIATURAS E SIGLAS

CCI – Coeficiente de correlação intraclass

FMDUL – Faculdade de Medicina Dentária da Universidade de Lisboa

OPG – Ortopantomografia

R^2 – Coeficiente de determinação

SEE – Standard Error of the Estimate (Desvio Padrão do Erro de Estimativa)

SPSS - Statistical Package for the Social Sciences

1. INTRODUÇÃO

A Medicina Dentária Forense constitui uma área particularmente relevante das Ciências Forenses, sendo essencial em múltiplas circunstâncias da prática pericial.⁽⁴⁾

A estimativa da idade é uma área de importância para resolver problemas médico-legais, civis, penais ou sociais, principalmente devido ao aumento da taxa de emigração.⁽⁵⁾

A estimativa da idade é de maior relevância no indivíduo vivo que no cadáver⁽⁶⁾, principalmente devido ao aumento de migrações entre fronteiras.⁽²⁾ Na área penal a estimativa da idade é fundamental na avaliação da imputabilidade de indivíduos indocumentados que possam ter atingido a idade de responsabilidade criminal e, serem julgados de acordo com o Direito Penal Português por atos ilícitos cometidos. Outra situação médico-legal de grande relevância e crescimento na nossa sociedade e noutras europeias é a estimativa da idade dentária em indivíduos vivos sem documentos de identificação que solicitam pedido de asilo. Os imigrantes sem identificação devem ser adequadamente identificados para garantia dos seus direitos e obrigações no país de acolhimento.⁽⁴⁾

Vários métodos de estimativa de idade dentária aplicam as diferentes formas de modificação dentária, incluindo desgaste, transparência da dentina radicular, anéis do cemento dentário, racemização do ácido aspártico e aposição de dentina secundária. O desgaste e a aposição de dentina secundária são os métodos não invasivos disponíveis atualmente. O desgaste dentário é influenciado por vários fatores externos (função mastigatória, tipo de alimentação, momento e sequência da erupção dentária, morfologia e posição do dente, espessura e dureza do esmalte e predisposição para hipoplasia do esmalte). A aposição de dentina secundária é um processo contínuo e regular. Contudo, apesar de ser alterada por fatores como a cárie dentária, patologia na articulação temporomandibular, abrasão, entre outros, é um indicador biológico dentário disponível para avaliação em indivíduos vivos, quando adultos. É avaliada por um método indireto imagiológico, radiográfico, que estuda a redução da área pulpar.⁽⁷⁾

Nenhum método é 100% exato na estimativa da idade dentária, sendo que as principais razões para tal são os erros sistemáticos inerentes a cada método, a variabilidade intra e inter-observador e os fatores relacionados com a população em estudo, como a etnia, nível socioeconómico e alterações patológicas.⁽⁸⁾

Em 1995, Kvaal e outros desenvolveram um novo método de estimativa da idade cronológica no adulto baseando-se na relação entre a idade e o tamanho da cavidade pulpar em

radiografias periapicais.⁽²⁾ Cameriere e outros publicaram um método baseado na relação entre a idade e as medições do ratio da área polpa/dente.⁽⁷⁾

1.1. Considerações finais

Sendo os métodos de Cameriere e de Kvaal métodos não invasivos, que avaliam um indicador biológico dentário, apresentam indicações para serem usados quando se pretende estimar a idade no indivíduo vivo adulto. Deste modo, é importante ter conhecimento se estes são aplicáveis à população portuguesa adulta.

Desta forma, o objetivo desta investigação constituiu em validar o método da proporção polpa/dente de Kvaal e de Cameriere, recorrendo a ortopantomografias, a fim de se poder estimar a idade cronológica no âmbito médico-legal numa população portuguesa adulta.

2. OBJETIVOS

2.1. Objetivos principais

O objetivo principal desta investigação consistiu em estimar a idade cronológica pela idade dentária, no âmbito da identificação médico-legal da idade, aplicando a metodologia do ratio proporção polpa/dente, pelos métodos de Cameriere e de Kvaal em caninos, utilizando radiografias panorâmicas. Desta forma, a seguinte hipótese experimental formulou-se:

2.1.1

H0: Não há diferenças estatisticamente significativas entre a idade cronológica e a idade dentária estimada pelo ratio polpa/dente com aplicação do método de Cameriere aos caninos.

H1: Há diferenças estatisticamente significativas entre a idade cronológica e a idade dentária estimada pelo ratio polpa/dente com aplicação do método de Cameriere aos caninos.

2.1.2

H0: Não há diferenças estatisticamente significativas entre a idade cronológica e a idade dentária estimada pelo ratio polpa/dente com aplicação do método de Kvaal aos caninos.

H1: Há diferenças estatisticamente significativas entre a idade cronológica e a idade dentária estimada pelo ratio polpa/dente com aplicação do método de Kvaal aos caninos.

2.1.3

H0: Não há diferenças estatisticamente significativas entre a idade dentária estimada pelo método de Cameriere e a idade dentária estimada pelo método de Kvaal utilizando os caninos.

H1: Há diferenças estatisticamente significativas entre a idade dentária estimada pelo método de Cameriere e a idade dentária estimada pelo método de Kvaal utilizando os caninos.

2.2. Objetivos secundários

Os objetivos secundários passaram por averiguar os coeficientes de correlação das variáveis explicativas definidas por Kvaal e por Cameriere, quando aplicadas a este estudo, verificando a existência ou não de diferenças estatisticamente significativas entre os coeficientes de correlação calculados e os apresentados pelos respetivos métodos:

2.2.1

H0: Não há diferenças estatisticamente significativas entre os coeficientes de correlação das variáveis explicativas definidas por Kvaal e os coeficientes de correlação das mesmas variáveis calculados neste estudo.

H1: Há diferenças estatisticamente significativas entre os coeficientes de correlação das variáveis explicativas definidas por Kvaal e os coeficientes de correlação das mesmas variáveis calculados neste estudo.

2.2.2

H0: Não há diferenças estatisticamente significativas entre os coeficientes de correlação das variáveis explicativas definidas por Cameriere e os coeficientes de correlação das mesmas variáveis calculados neste estudo.

H1: Há diferenças estatisticamente significativas entre os coeficientes de correlação das variáveis explicativas definidas por Cameriere e os coeficientes de correlação das mesmas variáveis calculados neste estudo.

2.3. Objetivo final

O objetivo final desta investigação foi, através da análise em radiografias panorâmicas das proporções da área dente/polpa, obter uma fórmula de regressão para um cálculo da estimativa de idade mais fidedigno baseado nos dois métodos, de Kvaal e de Cameriere, para aplicação na população adulta portuguesa, com aplicação na área forense.

3. MATERIAIS E MÉTODOS

De maneira a alcançar os objetivos propostos e testar as hipóteses experimentais formuladas, o presente estudo foi realizado em duas fases distintas: uma fase de seleção da amostra e uma fase de análise de medições.

3.1. Delineamento experimental

O estudo foi realizado na Faculdade de Medicina Dentária da Universidade de Lisboa (FMDUL) entre 01/01/2019 e 01/02/2020, tendo como população alvo pacientes da mesma Faculdade, do Departamento da Pré-Graduação e Pós-Graduações, para os quais existisse uma radiografia panorâmica digital disponível no sistema informático ImaginaSoft® e que apresentavam, associado ao seu processo, data da realização do respetivo exame radiográfico, sexo do paciente e a data de nascimento.

O protocolo experimental foi elaborado e enviado para a Direção Clínica da FMDUL, Comissão de Ética para a Saúde da FMDUL e Conselho Científico da FMDUL – juntamente com as cartas de pedido de autorização (Anexo 1) – tendo a última conferido parecer favorável (Anexo 2).

3.2. Amostra populacional

A amostra populacional foi selecionada entre a população alvo através de um processo de amostragem sistemática e compreendeu um total de 200 casos, de ambos os géneros, com idade compreendida entre os 21 e os 82 anos.

A seleção da amostra baseou-se nos seguintes critérios de inclusão:

3.2.1. Parâmetros identificativos

- Nacionalidade portuguesa;
- Naturalidade portuguesa;
- Género conhecido;
- Idade superior a 21 anos;

3.2.2. Parâmetros dentários específicos

- Presença dos dentes caninos;
- Ausência de tratamento endodôntico prévio realizado nos caninos;
- Ausência de lesões de cárie ou restaurações nos caninos;
- Ausência de anomalias dentárias congénitas de forma e de posição nos caninos;
- Ausência de sobreposições dentárias radiograficamente ao nível dos caninos;

- Ausência de tratamento ortodôntico no momento da realização da OPG.

3.3. Metodologia de recolha de dados

Os dados recolhidos dos processos clínicos foram o número do processo, género, data de nascimento, data de realização da panorâmica e a idade respetiva no momento.

Estes dados foram registados em três folhas de Excel: uma primeira onde constava o número do processo e o número da amostra correspondente, que após a conclusão da investigação foi eliminado; uma segunda folha onde se encontra o número da amostra, o género e a idade no momento de realização da OPG e uma terceira folha onde estão registados os dados recolhidos após a aplicação dos métodos de Cameriere e Kvaal.

As radiografias panorâmicas foram obtidas através do programa *VixWin*[®] do sistema informático *ImaginaSoft*[®] e armazenadas em formato JPEG.

De seguida, procedeu-se à realização das medições para calcular a estimativa de idade baseadas no método de Cameriere. Foram, então, calculados:

- T = área total do dente em pixéis
- P = área total da polpa em pixéis
- P/T
- $Comp.DENTE$ = comprimento do dente em milímetros
- $Comp.POLPA$ = comprimento da polpa em milímetros

Procedeu-se à realização das medições para calcular a estimativa de idade baseadas no método de Kvaal.⁽²⁾ Foram, então, calculados:

- No nível A = largura do dente (R_a) e polpa (P_a) ao nível da JAC;
- No nível C = largura do dente (R_c) e polpa (P_c) entre a JAC e o ápex da raiz;
- No nível B = largura do dente (R_b) e polpa (P_b) na distância média entre A e C;
- $DENTE$ = comprimento total do dente;
- $POLPA$ = comprimento total da polpa;
- $RAÍZ$ = comprimento total da raiz.

As medições foram efetuadas diretamente no programa informático Adobe Photoshop 2020 através da ferramenta “Régua”, para o método de Kvaal, e “Laço poligonal”, para o método de Cameriere - identificando, no mínimo, 20 pontos do contorno externo do dente, e 10 pontos do contorno da câmara pulpar, de modo a determinar o número de pixéis e assim a área total do dente e da câmara pulpar, respetivamente, de acordo com o método de Cameriere⁽⁷⁾, -

com os devidos ajustes de contraste, brilho e valores de cinzento, sendo posteriormente guardadas em formato PSD.

Posteriormente, calcularam-se os seguintes rácios de Kvaal.⁽²⁾:

- $A = Pa/Ra$;
- $B = Pb/Rb$;
- $C = Pc/Rc$;
- $P = POLPA/RAÍZ$;
- $T = DENTE/RAÍZ$;
- $R = POLPA/DENTE$;
- $M = (P+R+A+B+C) /5$;
- $W = (B+C) /2$;
- $L = (P+R) /2$;
- $W-L$;

Para calcular a estimativa de idade, foram aplicados aos grupos de dentes 33/43, 13/23, 13/43 e 23/33, respetivamente as fórmulas de regressão definidas por Kvaal *et al.* e de Cameriere (Tabela 1).

Tabela 1 – Fórmulas de regressão de Kvaal e Cameriere para cálculo da estimativa de idade em caninos. $x_1=P/T$ caninos superiores; $x_2=P/T$ caninos inferiores.

Autores	Grupo de dentes	Fórmulas de Regressão
Kvaal <i>et al.</i> ⁽²⁾	33/43	Idade= $158,8 - 255,7 \times M$
Cameriere <i>et al.</i> ⁽⁷⁾	13/23	Idade= $99,937 - 532,775 \times x_2$
	33/43	Idade= $89,456 - 461,873 \times x_1$
	13/43	Idade= $114,624 - 431,183 \times x_1 - 456,692 \times x_2 + 1798,377 \times x_1 \times x_2$
	22/33	

3.4. Metodologia de validação de dados

O processo de análise consistiu na medição de um efeito, proporção polpa/dente, atribuível a uma causa, diferença de idades, de acordo com a relação causa-efeito postulada nas hipóteses experimentais em teste.

Vários são os fatores que podem alterar esta relação causa-efeito, como vícios no processo de recolha de dados – que resultam na introdução de erros sistemáticos ou aleatórios – e a existência de fatores que diminuem, potenciam ou anulam o efeito real.

A variabilidade intra-observador consiste na reprodutibilidade de dados devido à modificação involuntária de aplicação dos critérios ao longo do tempo que resulta na introdução de erros sistemáticos e/ou aleatórios. Isto significa que a mesma distância pode ser medida de

forma distinta em momentos diferentes. Para evitar a introdução de erros sistemáticos procurou-se que os critérios metodológicos fossem definidos de forma inequívoca.

Uma vez que os dados dos processos clínicos foram recolhidos apenas por um observador a variabilidade inter-observador foi evitada. No entanto, para avaliar o grau de variabilidade intra-observador ao longo do tempo procedeu-se a dois momentos de validação.

3.4.1. Concordância intra-observador

Para testar a reprodutibilidade intra-observador, uma amostra aleatória de 20 OPG – 10% da amostra total - foi reexaminada por dois momentos diferentes com intervalos de 3 meses. A reprodutibilidade intra-observador das medições foi estudada através do coeficiente de concordância-correlação.

Os dados da primeira observação foram ocultados do observador durante a repetição das outras duas medições, bem como o género e a idade dos participantes. Posteriormente, os valores obtidos na primeira medição (M1) foram comparados com os da segunda medição (M2) e os valores da terceira medição (M3), comparados com a primeira. Obteve-se, assim, a concordância entre os resultados do observador, sendo esta medida através do coeficiente de correlação intraclass (CCI).

3.5. Análise estatística de dados

Os dados inseridos no *Microsoft Excel*[®] foram exportados para o software de análise estatística de dados *IBM SPSS Statistics 27 (Statistical Package for the Social Sciences)*, no qual foi realizada toda a análise estatística dos dados.

De modo a estudar as hipóteses definidas nos objetivos de estudo, o nível de significância escolhido nos testes realizados foi de 5%. O *p-value* demonstra o menor nível de significância a partir do qual se rejeita a hipótese nula. Assim, quanto menor o *p-value* obtido nos testes realizados, mais forte é a evidência contra a hipótese nula, sendo possível rejeitá-la quando o *p-value* é inferior a 0,05.⁽⁹⁾

Seguida a análise descritiva, foi realizada a análise estatística dos dados. Na validação intra-observador foi utilizado o coeficiente de correlação intraclass (CCI), medida de validação e da concordância de variáveis quantitativas. Segundo Fleiss⁽¹⁰⁾, este coeficiente pode ser interpretado da seguinte forma:

- Até 0,39 – Concordância fraca;
- Entre 0,40 e 0,74 – Concordância satisfatória a boa;
- Acima de 0,75 – Concordância excelente.

O coeficiente de correlação de Pearson foi utilizado para medir a correlação entre a idade cronológica e as variáveis utilizadas por Kvaal e por Cameriere e definir se este era estatisticamente significativo. As variáveis foram posteriormente avaliadas com base no modelo de regressão linear, analisando a existência de variáveis explicativas pelo teste F e o coeficiente de determinação (R^2), verificando se este é suficientemente explicativo.

Por fim, para cada método, foi criada uma regressão linear multivariada através do método *backward*, em que somente as variáveis com $p\text{-value} < 0,10$ foram incluídas. Utilizou-se o modelo que melhor descreveu a relação entre a variável dependente (idade cronológica em anos) e as variáveis independentes incluídas.

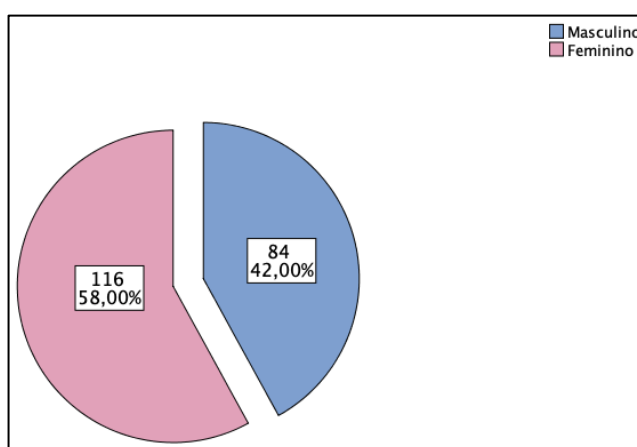
4. RESULTADOS

4.1. Análise descritiva

O presente estudo consistiu em 200 radiografias panorâmicas, dos quais se obteve uma amostra de 800 dentes (N=800), 4 por cada radiografia.

Das 200 radiografias panorâmicas, 116 (58%) são de indivíduos do género feminino e 84 (42%) de indivíduos do género masculino. (Gráfico 1) Apresentam idades compreendidas entre os 21 e os 82 anos, onde a faixa etária dos 20-29 anos é a mais representativa com 49 indivíduos. (Anexo 5)

Gráfico 1 – Distribuição da amostra populacional por género.



4.2. Análise estatística dos dados

4.2.1. Concordância intra-observador

A concordância intra-observador foi avaliada recorrendo ao CCI - uma medida de validação do método utilizado que permite avaliar o grau de concordância dos resultados, variando de 0 a 1 - aplicado a medições observadas em dois tempos.

Na Tabela 2 são visíveis os vários valores de CCI para a validação intra-observador entre o primeiro momento (M1) e o segundo momento (M2) e entre o M1 e o terceiro momento (M3). (Anexo 6)

Os valores de CCI entre o M1 e o M2 variaram entre 0,208 e 0,921, que correspondem às variáveis P/T de Cameriere e Ra de Kvaal, respetivamente.

Os valores de CCI entre o M1 e o M3 variaram entre 0,227 e 0,948, que correspondem às variáveis A e Ra de Kvaal, respetivamente.

Tabela 2 – Valores CCI da Análise Intra-observador.

	M1VM2	M1VM3
DENTE	0,773	0,781
RAÍZ	0,598	0,564
POLPA	0,675	0,687
T	0,414	0,315
P	0,424	0,375
R	0,418	0,503
Pa	0,621	0,457
Ra	0,921	0,948
A	0,421	0,227
Pb	0,674	0,497
Rb	0,900	0,877
B	0,628	0,340
Pc	0,501	0,484
Rc	0,857	0,849
C	0,269	0,293
M	0,461	0,373
W	0,463	0,323
L	0,420	0,431
W-L	0,400	0,311
ÁreaTotal	0,887	0,882
ÁreaPolpa	0,569	0,494
PT	0,208	0,285
Comp.DENTE	0,798	0,891
Comp.POLPA	0,622	0,801

4.2.2. Método de Cameriere

4.2.2.1. Correlação de Pearson e Correlação de Spearman

Foram calculados os valores das correlações existentes entre as variáveis de Cameriere (proporção polpa/dente) e a idade cronológica em cada um dos dentes investigados.⁽⁷⁾ (Tabelas 3 e 4)(Anexos 7 e 8).

Para a correlação de Pearson foram obtidos valores entre -0,117 para o dente 43 e -0,04 para o dente 33. Para a Correlação de Spearman foram obtidos valores de -0,092 para o dente

43 e -0,041 para o dente 13. Deste modo, nenhuma correlação é significativa (valores do *p-value* são sempre superiores a 0,09). Por conseguinte, a estimação da idade com base nestas variáveis não poderá dar origem a estimativas precisas.

Tabela 3 - Correlação de Pearson (*r*) e *p-value* (*p*) para variáveis de Cameriere.

	13		23		33		43	
	r	P	r	p	r	p	r	p
Idade	-0,050	0,484	-0,081	0,254	-0,040	0,574	-0,117	0,099

Tabela 4 - Correlação de Spearman (*r_s*) e *p-value* (*p*) para variáveis de Cameriere.

	13		23		33		43	
	<i>r_s</i>	P	<i>r_s</i>	p	<i>r_s</i>	p	<i>r_s</i>	P
Idade	-0,041	0,563	-0,088	0,217	-0,050	0,485	-0,092	0,197

4.2.2.2 Avaliação dos coeficientes de Cameriere

Foram calculadas as estimativas para a idade dentária com base nas fórmulas deduzidas por Cameriere ⁽⁷⁾(Tabela 1), os erros de estimação e os erros de estimação em termos absolutos. Na Tabela 5 são apresentadas as principais medidas descritivas dos erros de estimação e na Tabela 6 as mesmas medidas para o erro em termos absolutos.

Tabela 5 – Caracterização dos erros de estimação (em meses) através dos coeficientes de Cameriere.

	Dente 13	Dente 23	Dente 33	Dente 43	Dentes 13 e 43	Dentes 23 e 33
Contagem	200	200	200	200	200	200
Mínimo	-1016,78	-1319,08	-1165,51	-1166,35	-828,01	-817,39
Percentil 25	-592,56	-577,33	-707,08	-724,10	-530,98	-515,72
Mediana	-389,16	-407,58	-535,39	-512,83	-337,56	-333,30
Percentil 75	-237,88	-235,01	-356,45	-331,98	-217,88	-216,84
Máximo	256,56	136,00	731,80	41,23	28,74	233,44
Média	-409,46	-415,38	-529,54	-524,49	-365,88	-365,59
Desvio padrão	247,11	254,45	273,88	264,03	190,29	197,83

Tabela 6 – Caracterização dos erros de estimação (em meses) em termos absolutos através dos coeficientes de Cameriere.

	Dente 13	Dente 23	Dente 33	Dente 43	Dentes 13 e 43	Dentes 23 e 33
Contagem	200	200	200	200	200	200
Mínimo	11,19	4,95	24,81	,65	,91	7,35
Percentil 25	240,39	235,01	361,86	331,98	217,88	216,95
Mediana	389,16	407,58	542,13	512,83	337,56	333,30
Percentil 75	592,56	577,33	710,96	724,10	530,98	515,72
Máximo	1016,78	1319,08	1165,51	1166,35	828,01	817,39
Média	417,80	419,51	541,18	525,13	366,33	368,45
Desvio padrão	232,65	247,54	249,96	262,75	189,41	192,44

Saliente-se, desde já, a tendência para significativamente subestimar a idade, em média entre 365 meses (cerca de 30 anos, utilizando os dentes 13 e 43 ou 23 e 33) e 530 meses (cerca de 44 anos, utilizando o dente 33). Deste modo, estes estimadores são enviesados. Em termos absolutos, o erro médio situa-se entre 366 meses (30,5 anos) e 541 meses (45 anos). Por conseguinte, o erro médio é extremamente significativo.

4.2.2.3 Regressão linear de Cameriere

Avaliou-se a adequação das variáveis utilizadas por Cameriere na regressão linear que serve para estimar a idade, mas com os coeficientes estimados através da nossa amostra. Assim, foi verificado qual o coeficiente de determinação (R^2) do modelo que melhor descreve a idade e identificadas as variáveis que devem ser utilizadas, para cada grupo de dentes. A Tabela 7 apresenta um resumo dos valores obtidos, sendo que o R^2 varia entre 0,002 (modelo com o dente 13 e no modelo com o dente 33) e 0,014 (dente 43) e o desvio padrão do erro de estimação (SEE) varia entre 182,75 meses no dente 43 (ou com os dentes 13 e 43) e 183,866 meses no dente 33. (Anexo 9)

Tabela 7 – Coeficiente de determinação (R^2), coeficiente de determinação ajustado (R^2_a) e desvio padrão do erro de estimativa (SEE) para variáveis de Cameriere.

	13	23	33	43	13/43	23/33
R^2 ou R^2_a	0,002	0,007	0,002	0,014	0,009	0,000
SEE (meses)	183,785	183,408	183,866	182,750	182,750	183,550

Com base na regressão linear foram obtidos os seguintes modelos (Anexo 10):

Dente 13: $\text{Idade} = 568,591 - 289,750 \cdot (\text{Área Polpa}_{13} / \text{Área Dente}_{13})$

Dente 23: $\text{Idade} = 593,478 - 430,078 \cdot (\text{Área Polpa}_{23} / \text{Área Dente}_{23})$

Dente 33: $\text{Idade} = 560,315 - 222,648 \cdot (\text{Área Polpa}_{33} / \text{Área Dente}_{33})$

Dente 43: $\text{Idade} = 639,974 - 646,019 \cdot (\text{Área Polpa}_{43} / \text{Área Dente}_{43})$

Nestas regressões, o coeficiente associado à proporção área polpa/área dente são todos não significativos (valores *p-value* variam entre 0,099 no dente 43 e 0,574 no dente 33). Deste modo, esta variável não contribui de forma significativa para a estimação da idade.

Dentes 13 e 43: $\text{Idade} = 639,974 - 646,019 \cdot (\text{área polpa}_{43} / \text{área dente}_{43})$

Neste modelo a variável proporção polpa/dente do dente 13 e a variável (área polpa 13/área dente 13)*(área polpa 43/área dente 43) foram retiradas automaticamente por ter sido utilizada a metodologia *backward* (todas as variáveis com *p-value* superior a 0,10 foram retiradas).

Dentes 23 e 33: $\text{Idade} = 518,155$

Neste modelo todas as variáveis foram retiradas automaticamente pela metodologia *backward* por terem no teste t *p-value* superior a 0,10.

Tabela 8 – Caracterização dos erros de estimação e dos erros de estimação em termos absolutos da idade estimada através da regressão linear a partir das variáveis de Cameriere.

	Dente 13	Dente 13 (em termos absolutos)	Dente 23	Dente 23 (em termos absolutos)	Dente 33	Dente 33 (em termos absolutos)	Dente 43	Dente 43 (em termos absolutos)
Contagem	200	200	200	200	200	200	200	200
Mínimo	-271,89	1,18	-266,05	,98	-275,48	,30	-263,72	,40
Percentil 25	-161,37	97,38	-158,85	93,96	-158,84	94,68	-155,73	97,49
Mediana	-28,50	159,52	-35,30	156,54	-32,78	155,12	-35,14	154,95
Percentil 75	157,93	212,90	151,26	211,59	152,64	213,54	154,09	219,23
Máximo	461,95	461,95	474,33	474,33	460,24	460,24	440,80	440,80
Média	,00000	159,03	,00000	158,62	,00000	158,96	,00000	159,02
Desvio padrão	183,32	90,50	182,95	90,46	183,40	90,78	182,29	88,41

Com a utilização da regressão linear as estimativas obtidas através das variáveis de Cameriere já não são enviesadas (média nula) e em termos de erro em termos absolutos a média do erro (cerca de 13 anos) diminuiu significativamente (aumento de precisão das estimativas) quando comparados com as estimativas obtidas utilizando dos coeficientes de Cameriere.⁽⁷⁾ (Tabelas 5, 6 e 8).

4.2.3. Método de Kvaal

4.2.3.1. Correlação de Pearson

Foram determinados os valores das correlações existentes entre as medições/proporções calculadas neste estudo e a idade cronológica dos pacientes (Tabela 9).

Para o dente 13, o valor mais significativo de correlação de Pearson corresponde a - 0,224 para a variável M, com $p\text{-value} = 0,001$. Com um $p\text{-value}=0,950$, a variável T apresenta o valor de correlação de Pearson (-0,004) mais próximo de zero. Em suma, apenas as variáveis A, C, M, L e W têm correlação significativa no dente 13, pois apresentam $p\text{-value} < 0,05$. Todavia, as correlações assumem valores diminutos.

Para o dente 23 obteve-se o valor mais significativo de correlação de Pearson = -0,128 para a variável B, com um $p\text{-value} = 0,07$. Por conseguinte, nenhuma variável está correlacionada de forma significativa com a idade.

Para o dente 33, o valor mais significativo de correlação de Pearson = -0,151 para a variável B com um $p\text{-value} = 0,033$, único inferior ao nível de significância 0,05 (única correlação significativa).

Para o dente 43 obteve-se o valor mais significativo de correlação de Pearson = -0,253 para a variável M, com $p\text{-value} = 0$. Além desta variável, também as variáveis P, B, L e W do dente 43 apresentam correlação estatisticamente significativa, apesar de serem sempre valores de correlação próximos de zero. (Anexo 11)

Tabela 9 - Correlação de Pearson (r) e $p\text{-value}$ (p) para variáveis de Kvaal.

		T	P	R	A	B	C	M	L	W	WL
13	r	-0,004	-0,139	-0,133	-0,140	-0,110	-0,151	-0,224	-0,154	-0,154	-0,013
	p	0,950	0,050	0,060	0,049	0,123	0,033	0,001	0,030	0,029	0,858
23	r	0,034	0,056	0,031	-0,090	-0,128	-0,085	-0,053	-0,125	0,053	-0,122
	p	0,638	0,430	0,660	0,203	0,071	0,230	0,457	0,077	0,455	0,073
33	r	-0,085	-0,130	-0,053	0,029	-0,151	-0,036	-0,124	-0,111	-0,116	0,014
	p	0,232	0,067	0,453	0,688	0,033	0,614	0,081	0,117	0,102	0,849
43	r	-0,080	-0,163	-0,108	-0,120	-0,245	-0,132	-0,253	-0,223	-0,163	-0,033
	p	0,258	0,021	0,127	0,091	0,000	0,062	0,000	0,002	0,021	0,638

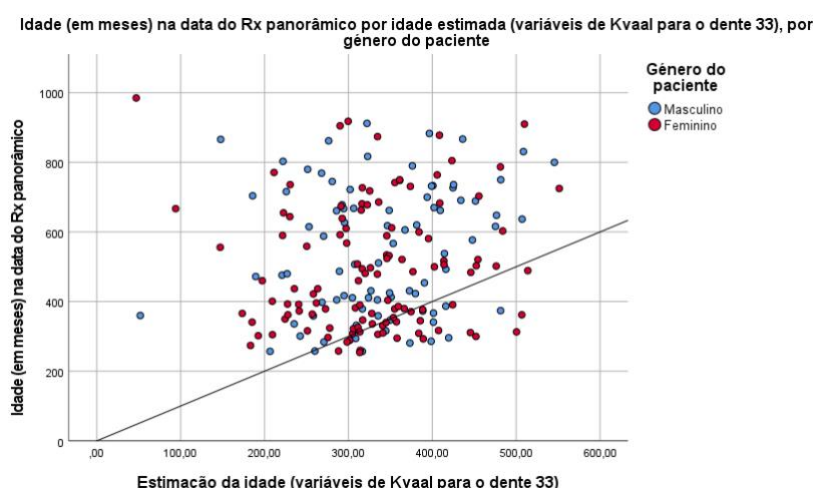
4.2.3.2 Avaliação dos coeficientes de Kvaal

A idade foi estimada com base na fórmula deduzida por Kvaal *et al.* com base nos dentes 33 e 43, uma vez que não foram deduzidas fórmulas para os dentes 13 e 23⁽²⁾ (Fórmula apresentada na Tabela 1). Posteriormente foram calculados os erros de estimação e os erros de estimação em termos absolutos. Na Tabela 10 são apresentadas as principais medidas descritivas dos erros de estimação e dos erros de estimação em termos absolutos.

Tabela 10 – Caraterização dos erros de estimação e dos erros de estimação em termos absolutos da idade estimada através dos coeficientes de Kvaal (em meses).

	Dente 33	Dente 33 (em termos absolutos)	Dente 43	Dente 43 (em termos absolutos)
Contagem	200	200	200	200
Mínimo	-937,94	,31	-818,66	1,87
Percentil 25	-319,90	62,70	-334,42	82,82
Mediana	-156,39	158,98	-156,29	158,33
Percentil 75	-28,20	319,90	-66,76	334,42
Máximo	187,53	937,94	168,99	818,66
Média	-185,57	205,62	-201,23	217,07
Desvio padrão	193,58	172,02	186,35	167,53

Gráfico 2 - Idade (em meses) na data do Rx panorâmico por idade estimada (variáveis de Kvaal para o dente 33), por género do indivíduo.



Saliente-se que, em média, as estimativas obtidas subestimam a idade cronológica em cerca de 185 a 201 meses (entre 15 e 17 anos), sendo o erro médio, em termos absolutos, de cerca de 17 a 18 anos (Tabela 10) (gráfico 2).

4.2.3.3 Regressão linear de Kvaal

Foi aplicada à nossa amostra a regressão para estimar a idade em meses a partir das variáveis M, W-L e G (modelo 1 – M1) utilizadas por Kvaal através da metodologia *backward* onde o programa informático de análise estatística SPSS retira automaticamente as variáveis que não contribuem para a estimativa de idade e, como tal, tenham *p-value* inferior a 0,10 no teste t (variáveis que não têm informação suficiente para melhorar a precisão das estimativas da idade). (Anexos 12 e 13, I)

Foi, também, aplicada à nossa amostra a regressão para estimar a idade em meses a partir das variáveis T, P, R, A, B, C e G (modelo 2 – M2) utilizadas por Kvaal através da metodologia *backward* onde o programa informático de análise estatística SPSS retirou automaticamente as variáveis que não contribuem para a estimativa de idade, com *p-value* inferior a 0,10 no teste t. (Anexos 12 e 13, II).

Assim sendo, foram obtidos os seguintes resultados:

- Dente 13

M1: $R^2 = 0,061$ e $SEE = 177,837$

Idade estimada = $1111,842 - 52,934 * G - 1067,865 * M$

M2: $R^2 = 0,045$ e $SEE = 179,328$

Idade estimada = $1024,755 - 56,414 * G - 306,341 * P - 516,592 * C$

- Dente 23

M1: $R^2 = 0,027$ e $SEE = 181,067$

Idade estimada = $257,718 - 53,177 * G - 375,165 * (W-L)$

M2: $R^2 = 0,016$ e $SEE = 182,071$

Idade estimada = $549,333 - 53,756 * G$

- Dente 33

M1: $R^2 = 0,016$ e $SEE = 182,071$

Idade estimada = $549,333 - 53,756 * G$

M2: $R^2 = 0,034$ e $SEE = 180,4$

Idade estimada = $667,185 - 53,635 * G - 586,415 * B$

- Dente 43

M1: $R^2 = 0,076$ e $SEE=176,436$

Idade estimada = $1267,671 - 54,069 \cdot G - 1387,063 \cdot M$

M2: $R^2 = 0,094$ e $SEE=174,7$

Idade estimada = $1156,964 - 64,962 \cdot G - 497,661 \cdot R - 1006,891 \cdot B$

Tabela 11 – Caracterização dos erros de estimação e dos erros de estimação em termos absolutos da idade estimada através da regressão linear a partir das variáveis M, W-L e G (modelo 1).

	Dente 13	Dente 13 (em termos absolutos)	Dente 23	Dente 23 (em termos absolutos)	Dente 33	Dente 33 (em termos absolutos)	Dente 43	Dente 43 (em termos absolutos)
Contagem	200	200	200	200	200	200	200	200
Mínimo	-311,16	1,13	-330,57	1,82	-292,33	1,42	-298,91	,32
Percentil 25	-144,19	90,60	-146,35	97,74	-154,08	95,88	-143,41	80,51
Mediana	-36,45	142,76	-29,89	147,62	-15,58	151,00	-31,28	143,41
Percentil 75	142,57	197,84	150,96	198,84	145,92	204,58	143,39	204,41
Máximo	531,87	531,87	559,01	559,01	489,42	489,42	557,63	557,63
Média	,00000	151,26	,00000	155,51	,00000	156,42	,00000	147,56
Desvio padrão	176,94	91,17	180,16	90,28	181,61	91,61	175,55	94,52

Tabela 12 – Caracterização dos erros de estimação e dos erros de estimação em termos absolutos da idade estimada através da regressão linear a partir das variáveis T, P, R, A, B, C e G (modelo 2).

	Dente 13	Dente 13 (em termos absolutos)	Dente 23	Dente 23 (em termos absolutos)	Dente 33	Dente 33 (em termos absolutos)	Dente 43	Dente 43 (em termos absolutos)
Contagem	200	200	200	200	200	200	200	200
Mínimo	-314,19	1,37	-292,33	1,42	-313,70	1,28	-301,18	,45
Percentil 25	-153,56	91,52	-154,08	95,88	-146,02	91,36	-151,20	71,93
Mediana	-27,18	148,67	-15,58	151,00	-25,65	146,02	-21,21	137,33
Percentil 75	137,62	200,62	145,92	204,58	141,10	204,10	128,47	203,78
Máximo	527,70	527,70	489,42	489,42	519,01	519,01	535,95	535,95
Média	,00000	152,37	,00000	156,42	,00000	153,15	,00000	144,80
Desvio padrão	177,97	91,33	181,61	91,61	179,49	92,97	173,42	94,88

Com a utilização da regressão linear as estimativas já não são enviesadas (média nula) e em termos de erro em termos absolutos a média diminuiu significativamente (aumento de precisão das estimativas) quando comparados com a utilização dos coeficientes de Kvaal.⁽²⁾ (Tabelas 11 e 12). Por outro lado, ao serem comparadas as medidas obtidas para M1 com as de M2, apesar dos valores serem sempre próximos, nota-se que para os dentes 13 e 23 o modelo

M1 gerou melhores resultados do que M2 (maior R^2 , menor SEE e menor erro médio em termos absolutos), mas para os dentes 33 e 34 ocorreu o oposto.

4.2.4. Comparação de estimativa de idade por ambos os métodos

Na aplicação do teste estatístico de normalidade de Kolmogorov-Smirnov aos erros de estimação (Anexo 14), conclui-se que os erros não são caracterizados pela distribuição normal (todos os valores de *p-value* são nulos). Deste modo, para comparar os erros de estimação utilizando o método de Cameriere e os erros de estimação utilizando o método de Kvaal utilizou-se testes não paramétricos (teste de Wilcoxon, para amostras emparelhadas) tendo-se concluído que não há diferenças significativas entre os dois métodos (valor de *p-value* do teste Wilcoxon sempre superior a 0,05). (Anexo 15)

Por fim, foi aplicado o teste de Wilcoxon para amostras emparelhadas para comparar as estimativas obtidas com a idade real, quer nas obtidas pela aplicação da regressão linear às variáveis de Cameriere (proporção área da polpa/área do dente) quer nas obtidas pela aplicação da regressão linear às variáveis de Kvaal (M, W-L e G). Nas Tabelas 13 e 14 pode-se verificar que todos os valores de *p-value* são superiores a 0,05 (o mínimo é 0,664) e, por conseguinte, não há diferenças estatisticamente significativas entre a mediana da idade cronológica e a mediana da idade estimada (em nenhum dos casos analisados).

Tabela 13 – Aplicação do teste de Wilcoxon para amostras emparelhadas para comparação das estimativas com a idade cronológica (regressão de Cameriere).

	Regressão de Cameriere Dente 13	Regressão de Cameriere Dente 23	Regressão de Cameriere Dente 33	Regressão de Cameriere Dente 43
Z	-,370	-,360	-,360	-,239
Significância Sig.	,712	,719	,719	,811

Tabela 14 – Aplicação do teste de Wilcoxon para amostras emparelhadas para comparação das estimativas com a idade cronológica (regressão de Kvaal).

	Regressão de Kvaal Dente 13	Regressão de Kvaal Dente 23	Regressão de Kvaal Dente 33	Regressão de Kvaal Dente 43
Z	-,403	-,381	-,434	-,397
Significância Sig.	,687	,703	,664	,692

5. DISCUSSÃO

5.1. Integridade da metodologia experimental

Neste estudo, as medições foram realizadas manualmente por um observador através da ferramenta “régua” para o método de Kvaal, e “laço poligonal” para o método de Cameriere do programa *Adobe Photoshop 2020*. Uma vez que a transição entre dentina e polpa se apresentava muitas vezes como uma zona cinzenta e não uma linha clara, é possível que tenha existido uma interpretação incorreta dos limites de polpa.⁽¹¹⁾ Para além disso, o facto de os valores medidos serem pequenos faz com que diferenças de décimas de milímetros levem a grandes diferenças nos resultados.

5.2. Análise descritiva

Das 200 radiografias panorâmicas analisadas, dos quais se obteve uma amostra de 800 dentes, 4 por cada radiografia 116 (58%) são de indivíduos do género feminino e 84 (42%) de indivíduos do género masculino, com idades compreendidas entre os 21 e os 82 anos. A faixa etária dos 20-29 anos é a mais representativa com 49 indivíduos. O que faz sentido tendo em conta os critérios de inclusão exigirem 4 caninos íntegros, mais difícil de encontrar em faixas etárias superiores.

O método utilizado nesta investigação envolveu OPG para estudar a razão entre a área do dente e da polpa dos caninos. Os caninos foram os dentes seleccionados pelas seguintes vantagens: estão normalmente presentes em pacientes de idade adulta, têm menor probabilidade de sofrer desgaste dentário que os dentes anteriores devido à sua função específica e são os dentes monorradiculares com maior área pulpar, sendo, portanto, os mais fáceis de analisar.

5.3. Análise estatística dos dados

5.3.1. Concordância intra-observador

Uma elevada variabilidade intra-observador consiste na não reprodutibilidade dos dados. A reprodutibilidade é a medição de algo de uma forma consistente, ou seja, a obtenção dos mesmos valores após a aplicação dos mesmos procedimentos, nas mesmas condições de estudo. A reprodutibilidade é necessária para a validade do estudo, uma vez que sem ter reprodutibilidade não adianta avaliar a validade desse mesmo estudo. Assim, numa primeira análise, a medição realizada torna-se inútil caso a mesma variável seja analisada por outro observador ou pelo mesmo observador numa segunda medição que leve a um diferente resultado, assegurando-se que as condições inerentes ao estudo se mantiveram. A variabilidade

intra-observador diz respeito, quando em duas ou mais medições todo o método é igual e efetuado pelo mesmo observador, e a variação se deve a erros cometidos pelo observador. É predominantemente aleatória. Adicionalmente, a reprodutibilidade de um estudo é sensível a determinados fatores. A sensibilidade do observador, condições do meio que rodeiam o objeto a observar e a instrumentalização de apoio (por exemplo, a calibração de cores de um monitor).

Na validação intra-observador M1vM2, os valores de CCI variaram entre 0,208 e 0,92, que corresponde a um nível de concordância, segundo Fleiss, entre fraco e excelente.⁽¹⁰⁾

Na validação intra-observador M1vM3, os valores de CCI variaram entre 0,227 e 0,948, que corresponde a um nível de concordância entre fraco e excelente.⁽¹⁰⁾

Em ambos os momentos de validação os valores de CCI para as variáveis DENTE, Ra, Rb e Rc de Kvaal e ÁreaTotal e Comp.DENTE de Cameriere obtiveram um nível de concordância excelente. Por outro lado, refira-se que as variáveis que resultam de uma medição direta (DENTE, RAIZ, POLPA, Pa, Ra, Pb, Rb, Pc, Rc, ÁreaTotal, ÁreaPolpa, CompTotal e CompPolpa) revelam, na sua maioria, uma concordância excelente, tendo as restantes uma concordância satisfatória a boa. As variáveis que apresentam uma concordância fraca resultam do quociente entre duas variáveis e, como tal, os erros de medição podem ser ampliados.

Com base nos valores de concordância apresentados, verifica-se uma calibração intra-observador baixa, ou seja, baixa reprodutibilidade. Esta calibração é concordante com os valores obtidos por Serras C. (2016)⁽¹²⁾, com valores de CCI entre 0.227 e 0.941, mas não é concordante com a restante literatura existente: Li *et al.*⁽¹³⁾, apresentou CCI entre 0,837 e 0,855, Erbudak *et al.*⁽¹⁴⁾, demonstrou valores mais elevados, entre 0,95 e 0,99. Pires A (2019)⁽¹⁾, apresentou valores de CCI entre 0,918 e 0,997 e Anastácio A. (2016)⁽¹⁵⁾, apresentou valores de CCI entre 0,916 e 0,983. No entanto, tais valores de concordância excelente não significam que os resultados estejam próximos da idade real, pois apesar do observador estar calibrado, pode estar a aplicar metodologias que originem o mesmo viés em ambas as medições.

5.3.2. Método de Cameriere

5.3.2.1. Correlação de Pearson e Correlação de Spearman

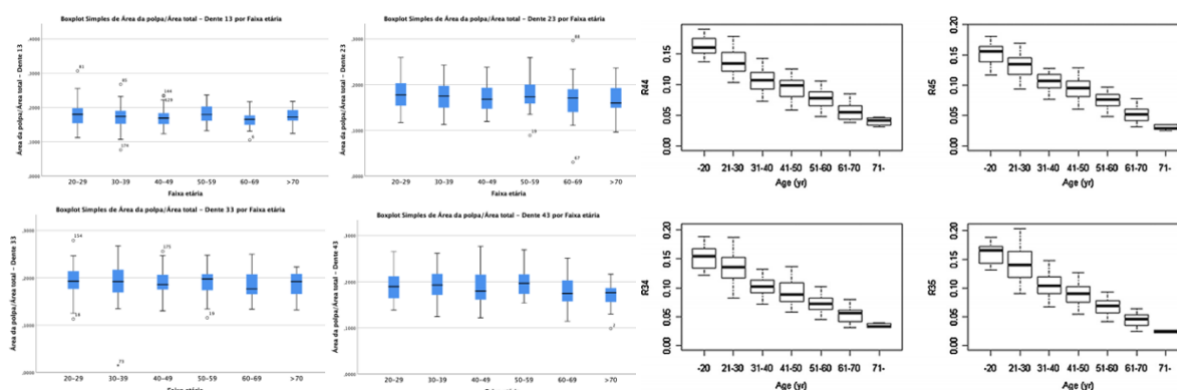
Os valores de correlação entre as variáveis de Cameriere e a idade cronológica foram calculados através da correlação de Pearson e através da correlação de Spearman. Ambos avaliam o grau de correlação, seja esta positiva ou negativa, entre duas variáveis, sendo que a correlação de Pearson avalia relações lineares entre estas e a correlação de Spearman avalia se existe uma relação entre a ordem das observações. Os valores destes coeficientes de correlação

variam entre -1 e 1, quanto mais perto do zero menor é a correlação entre as duas variáveis. Quanto mais perto de 1 ou -1, maior é a relação, o sinal apenas indica se a correlação é positiva ou negativa. Além disso, para uma correlação ser considerada estatisticamente significativa, o seu valor *p-value* tem de ser inferior a 0,05. Assim sendo, o valor de correlação de Pearson mais significativo corresponde ao dente 43 (-0,117), que por sua vez tem o menor *p-value* (0,099), no entanto não é, ainda assim, uma correlação estatisticamente significativa. O valor de correlação de Pearson menos significativo corresponde ao dente ao dente 33 (-0,040) que por sua vez tem o valor mais elevado de *p-value* (0,574).

Para a Correlação de Spearman o valor de correlação mais significativo também corresponde ao dente 43 (-0,092), que por sua vez também demonstra o valor mais reduzido de *p-value* (0,197), não sendo, ainda assim, estatisticamente significativo. O valor de correlação menos significativo corresponde ao dente 13 (-0,041) que apresenta, do mesmo modo, o *p-value* mais elevado (0,563).

Todos os valores de correlação de Pearson e de Spearman revelaram-se baixos e próximos de zero, entre -0,040 e -0,117, o que indica uma fraca correlação entre a idade e as variáveis. Além disso, nenhuma correlação é estatisticamente significativa. Por conseguinte, a estimação da idade com base nestas variáveis não poderá dar origem a estimativas precisas.

Gráfico 3 – Comparação gráficos distribuição da proporção polpa/dente por classes etárias do estudo com gráficos de Cameriere.⁽³⁾



Em concordância com a análise anterior, os gráficos de distribuição proporção polpa/dente por classes etárias deveriam apresentar um comportamento linear de aumento da idade enquanto a proporção diminui, o que não se verifica, não havendo, portanto, uma correlação significativa. Como termo de comparação encontra-se no Gráfico 3 os gráficos do estudo de Cameriere *et al.* (2012)⁽³⁾, à direita, e os gráficos do presente estudo à esquerda.

Os coeficientes de Pearson obtidos variaram entre -0,117 e -0,040, que se encontram em concordância com os valores de correlação obtidos por Anastácio A. (2016)⁽¹⁵⁾, entre -0,196 e -0,065. Ao observar os valores mínimo e máximo dos coeficientes de Pearson descritos na literatura (Tabela 15), é visível uma diferença entre os valores máximos e valor máximo do estudo, sendo este inferior. No entanto verifica-se uma proximidade dos valores mínimos da literatura e o valor mínimo obtido neste estudo.

Tabela 15 – Coeficientes de Pearson descritos na literatura (adaptado de Pires A. 2019.)⁽¹⁾

	Estudos	Significância do valor Coeficiente de Pearson	
		Mínimo	Máximo
Periapicais	Sharma <i>et al.</i> ⁽¹⁶⁾	-0,010	-0,440
	Gopal <i>et al.</i> ⁽¹⁷⁾	-0,008	0,951
Panorâmicas	Erbudak <i>et al.</i> ⁽¹⁴⁾	-0,187	0,360
	Chandramala <i>et al.</i> ⁽¹⁸⁾	-0,070	0,540
	Mittal <i>et al.</i> ⁽¹⁹⁾	0,238	0,680
	Maini <i>et al.</i> ⁽²⁰⁾	-0,010	-0,493
	Roh <i>et al.</i> ⁽²¹⁾	-0,110	-0,700
	Li <i>et al.</i> ⁽¹³⁾	-0,119	-0,518
CBCT	Penaloza <i>et al.</i> ⁽²²⁾	-0,210	-0,650
	Akay <i>et al.</i> ⁽²³⁾	-0,117	-0,551
	Afify <i>et al.</i> ⁽²⁴⁾	-0,829	-0,959
	Haghandifar <i>et al.</i> ⁽²⁵⁾	-0,330	0,764

5.3.2.2. Avaliação dos coeficientes de Cameriere

Com base nas fórmulas deduzidas por Cameriere foram calculadas as idades estimadas. Os valores de erros de estimativa e valores de erros de estimativa em termos absolutos representam quanto, em meses e anos, é que dista entre a idade estimada e a idade cronológica quando se aplicam as fórmulas deduzidas por Cameriere à nossa amostra.

Verificou-se uma tendência para significativamente subestimar a idade, sendo esta em média entre 365 e 530 meses, isto é, entre 30 e 44 anos.

Em termos absolutos, o erro médio situa-se entre os 366 e os 541 meses, ou seja, entre 30,5 e 45 anos. Estes valores são demasiado elevados e revelaram-se não aplicáveis, uma vez que existe uma grande margem de erro no cálculo da estimativa de idade.

5.3.2.3. Regressão linear de Cameriere

Os valores de R^2 e de SEE alcançados após aplicação dos coeficientes obtidos através da nossa amostra para estimar a idade revelaram-se mais precisos comparativamente aos valores obtidos com base nas fórmulas deduzidas por Cameriere. As estimativas já não são enviesadas, e a média do erro em termos absoluto diminuiu significativamente.

O valor dos coeficientes de determinação (R^2) traduz a variância da idade que aquele modelo consegue explicar numa determinada percentagem para a população em estudo. Isto é, os valores de R^2 do estudo variaram entre 0,002 e 0,014, o que indica que traduzem 0,20% a 1,40% da variabilidade da idade para a população em estudo.

Os valores SE permitem avaliar a precisão da regressão linear na estimação da idade dos indivíduos, uma vez que correspondem ao erro de estimação, isto é, a diferença, em meses, entre a idade real e a idade estimada. Os valores de SEE variaram entre 182,750 e 183,866 que corresponde a um erro compreendido entre os 15,22 e 15,32 anos.

Comparativamente aos resultados observados na literatura Anastácio A. (2016)⁽¹⁵⁾, apresentou coeficientes de determinação entre 4,1% e 28%. Serras C. (2016)⁽¹²⁾, apresentou valores entre 1,5% e 24%. Cameriere *et al.* (2012)⁽³⁾, obteve valores de entre 35% e 86%. Cameriere *et al.* em 2007⁽⁷⁾, obteve valores de 92,5% e Cameriere *et al.* em 2004⁽²⁶⁾, obteve valores de 84,9%. No que diz respeito aos dois artigos que aplicaram o método de Cameriere *et al.*, enquanto que Haghandifar *et al.*⁽²⁵⁾, apresentou valores entre 10,9% e 58,3%, Afify *et al.*⁽²⁴⁾, revelou valores com um intervalo entre 68,7% e 91,9%.

Relativamente aos valores de SEE Anastácio A. (2016)⁽¹⁵⁾, apresentou valores entre 4,084 e 5,334 anos. Serras C. (2016)⁽¹²⁾, apresentou valores entre 4,553 e 5,407 anos. Cameriere *et al.* (2012)⁽³⁾, que obteve os valores 5,31 e 7,99 anos. Cameriere *et al.* em 2007⁽⁷⁾, que obteve valores entre os 3,36 e 4,46 anos e Cameriere *et al.* (2004)⁽²⁶⁾, que obteve um valor de 3,7 anos.

5.3.3. Método de Kvaal

5.3.3.1. Correlações de Pearson

Nesta parte experimental foram analisados os coeficientes de correlação de Pearson entre cada variável (T, P, R, A, B, C, M, W, L, W-L) e a idade. (Anexo 11)

Tabela 16 – Coeficientes de correlação do estudo com coeficiente de Kvaal.⁽²⁾

Variáveis	Na nossa amostra				Kvaal. ⁽²⁾
	13	23	33	43	PAR 33/43
T	-0,004	0,034	-0,085	-0,080	-0,120
P	-0,139	0,056	-0,130	-0,163	-0,590
R	-0,133	0,031	-0,053	-0,108	-0,630
A	-0,140	-0,090	0,029	-0,120	-0,680
B	-0,110	-0,128	-0,151	-0,245	-0,560
C	-0,151	-0,085	-0,036	-0,132	-0,530
M	-0,224	-0,053	-0,124	-0,253	-0,750
W	-0,154	-0,125	-0,111	-0,223	-0,610
L	-0,154	0,053	-0,116	-0,163	-0,630
W-L	-0,013	-0,127	0,014	-0,033	0,350

Todos os valores de correlação de Pearson revelaram-se baixos e próximos de zero, entre 0,056 e -0,253, o que indica uma fraca correlação entre a idade e as variáveis.

As variáveis A, C, M, L e W do dente 13, B do dente 33 e P, B, M, L e W do dente 43 apresentam $p\text{-value} < 0,05$, logo a sua correlação é significativa. No entanto, como os valores de correlação de Pearson são baixos comparativamente com os valores observados na literatura (Tabela 16), não constituem variáveis de elevado poder explicativo para a amostra em estudo.

As variáveis M e B apresentaram os valores de correlação mais elevados no estudo, sendo ainda assim baixos comparativamente aos valores de correlação da literatura. E apresentaram ainda os valores mais reduzidos de $p\text{-value}$, sendo estatisticamente significativo para os dentes 13 (variável M), 33 (variável B) e 43 (variáveis M e B). A variável W-L foi a que apresentou menor correlação e valores mais elevados de $p\text{-value}$.

A correlação menos significativa demonstrou-se no dente 13 com valor de -0,0004. A correlação mais significativa de -0,253 no dente 43, compreendido entre os valores de correlação mínimo e máximo apresentador por Kvaal.⁽²⁾ (Tabela 16)

5.3.3.2. Avaliação dos coeficientes de Kvaal

As estimativas obtidas com base na fórmula deduzida por Kvaal, em média, subestimam a idade cronológica em cerca 17 a 18 anos em termos absolutos.

Como Kvaal só estabeleceu fórmulas para pares específicos de dentes (11/21, 12/22, 32/42 e 33/43) apenas foram avaliados os coeficientes de Kvaal para os caninos inferiores.

Estes valores, apesar de serem consideravelmente inferiores aos encontrados quando aplicadas as fórmulas de Cameriere, revelaram-se elevados e não aplicáveis, uma vez que existe uma grande margem de erro no cálculo da estimativa de idade.

5.3.3.3. Regressão linear de Kvaal

Após aplicação dos modelos de regressão linear M1 e M2 à nossa amostra obtiveram-se os valores de R^2 e SEE que nos indicam a precisão das mesmas na estimativa de idade. Estes valores confirmaram que assim as estimativas já não se encontram enviesadas e os valores do erro médio em termos absolutos diminuíram significativamente comparativamente aos valores obtidos com base na fórmula deduzida por Kvaal. ⁽²⁾

Os valores de R^2 do estudo variaram entre 0,016 e 0,094, o que indica que traduzem 1,6% a 9,4% da variabilidade da idade para a população em estudo.

Os valores de SEE variaram entre 174,70 e 182,071 que corresponde a um erro compreendido entre os 14,56 e os 15,17 anos.

A literatura existente apresenta valores de R^2 superiores. Paewisnky *et al.*, na sua fórmula adaptada de Kvaal *et al.*, obteve um valor de R^2 correspondente a 83,9%.⁽¹¹⁾ Em 2012, Erbudak *et al.* e Chandramala *et al.* obtiveram valores de 3,5% a 34,5% e 1,4% a 38,5%, respetivamente.^(14,18) Roh *et al.* obteve para radiografias panorâmicas, um intervalo entre 14% e 49% para os coeficientes de determinação.⁽²¹⁾ Kvaal *et al.*⁽²⁾, obteve valores entre 56% e 76%. Sharma *et al.* e Li *et al.* apresentaram R^2 entre 1,1% e 19,8% e entre 1% e 23%, respetivamente.^(13,16) Pires A. (2019)⁽¹⁾, apresentou coeficientes de determinação entre 3,1% e 39,4%. Caldas R. (2011)⁽⁸⁾, apresentou valores de 8%. Penaloza *et al.* aplicou o método de Kvaal *et al.*, obtendo valores de R^2 entre 1% e 56%.⁽²²⁾ É possível constatar que o limite inferior encontrado na literatura se encontra abaixo dos valores encontrados no nosso estudo, contudo, o valor mais elevado de R^2 é claramente superior ao nosso.

Relativamente aos valores de SEE, Kvaal *et al.* apresentou diferenças na estimativa de idade e a idade real entre 8,6 e 11,5 anos.⁽²⁾ Penaloza *et al.* apresentou valores entre 10,58 e 15,4 anos.⁽²²⁾ Paewisnky *et al.* obteve um erro de estimativa de 6,68 anos.⁽¹¹⁾ Roh *et al.* apresentou valores entre 10,4 e 14,2.⁽²¹⁾ Pode concluir-se que os valores de erro de estimação são semelhantes aos nossos valores após aplicação dos novos modelos de regressão linear.

5.3.4. Comparação de estimativa de idade por ambos os métodos

Apesar de Gopal *et al.*⁽¹⁷⁾ após comparar o método de Kvaal com o de Cameriere *et al.*⁽⁵⁾, concluir que o segundo apresenta melhores resultados da estimativa de idade, os resultados do teste de Wilcoxon para o nosso estudo concluíram que não se verificaram diferenças significativas entre os dois métodos.

Apesar dos critérios terem sido seguidos sistematicamente de forma a minimizar os vieses do estudo, tal possibilidade não é descartada, podendo a distorção radiográfica, qualidade da imagem e variabilidade intra-observador elevada, justificar os valores que estejam discordantes da literatura apresentados nos resultados.

6. CONCLUSÕES

6.1. Conclusões relativas aos objetivos principais

Com base nos resultados obtidos é possível concluir relativamente às hipóteses experimentais formuladas que se verificaram diferenças estatisticamente significativas entre a idade cronológica e a idade dentária estimada pelo ratio polpa/dente com aplicação do método de Cameriere e do método de Kvaal aos caninos quando são utilizados os coeficientes deduzidos pelos referidos autores. No entanto, não se verificaram diferenças estatisticamente significativas entre a idade cronológica e a idade dentária estimada por estes métodos quando os coeficientes utilizados foram estimados com base na nossa amostra. Além disso, não foram encontradas diferenças estatisticamente significativas entre os erros de estimação obtidos pelos dois métodos.

6.2. Conclusões relativas aos objetivos secundários

No que diz respeito aos objetivos secundários é possível concluir que foram obtidas diferenças estatisticamente significativas entre os coeficientes de correlação das variáveis explicativas definidas por Cameriere e os coeficientes de correlação das mesmas variáveis calculados neste estudo, assim como se verificaram diferenças estatisticamente significativas entre os coeficientes de correlação das variáveis explicativas definidas por Kvaal e os coeficientes de correlação das mesmas variáveis calculados neste estudo.

6.3. Conclusões relativas ao objetivo final

No que diz respeito ao objetivo final foram criados modelos de regressão linear para um cálculo da estimativa de idade mais fidedigno, através da análise em OPG das proporções da área dente/polpa para os métodos de Cameriere e Kvaal. Contudo, apesar de significativamente mais explicativo, revelou ainda não ter aplicação prática na população estudada.

6.4. Conclusões gerais

Os resultados deste estudo apoiam a inviabilidade quanto à aplicação dos métodos morfológicos quantitativos de proporção polpa/dente nos dentes caninos por Cameriere e por Kvaal na estimativa da idade numa população adulta portuguesa. Os resultados não apresentam evidência científica que justifiquem a estimativa da idade de um adulto na área forense.

Desta forma, é importante o desenvolvimento de outros indicadores biológicos dentários que tenham correlação com a idade cronológica em adultos.

REFERÊNCIAS BIBLIOGRÁFICAS

1. Pires AC. Estimativa da Idade pela Proporção da Área Polpa/Dente em Tomografia Computorizada de Feixe Cónico (CBCT): Aplicação Médico-Legal. 2019; Available from: <http://hdl.handle.net/10451/41458>
2. Kvaal SI, Kolltveit KM, Thomsen IO ST. Age estimation of adults from dental radiographs. *Forensic Sci Int.* 1995;74(3):175–85.
3. Cameriere R, De Luca S, Alemán I, Ferrante L, Cingolani M. Age estimation by pulp/tooth ratio in lower premolars by orthopantomography. *Forensic Sci Int.* 2012;214(1–3):105–12.
4. Pereira CP. *Medicina Dentária Forense*. Lidel, editor. 2012.
5. Cameriere R, Santoro V, Roca R, Lozito P, Introna F, Cingolani M, et al. Assessment of legal adult age of 18 by measurement of open apices of the third molars: Study on the Albanian sample. *Forensic Sci Int.* 2014;245:205.e1-205.e5.
6. Brkic H, Milicevic M, Petroveckii M. Age estimation methods using anthropological parameters on human teeth-(A0736). *Forensic Sci Int.* 2006;162(1–3):13–6.
7. Cameriere R, Ferrante L, Belcastro MG, Bonfiglioli B, Rastelli E, Cingolani M. Age estimation by pulp/tooth ratio in canines by peri-apical X-rays. *J Forensic Sci.* 2007;52(1):166–70.
8. CP P, R C, D P. Legal Medical Age Estimation in Portuguese Adult Cadavers: Evaluation of the Accuracy of Forensic Dental Invasive and Non-Invasive Methods. *J Forensic Sci Criminol.* 2013;1(2):1–6.
9. Marôco J. *Análise Estatística com o SPSS Statistics*. 6th ed. Pêro Pinheiro, editor. ReportNumber; 2014.
10. J F. *The Design and Analysis of Clinical Experiments*. New York John Wiley Sons. 1986;
11. Paewinsky E, Pfeiffer H, Brinkmann B. Quantification of secondary dentine formation from orthopantomograms - A contribution to forensic age estimation methods in adults. *Int J Legal Med.* 2005;119(1):27–30.
12. Serras CM. Estimativa médico-legal da idade pela proporção polpa/dente numa população portuguesa: validação do método de Cameriere em incisivos centrais em pré-molares superiores [Internet]. 2016. Available from: <http://hdl.handle.net/10451/26119>
13. Li M jia, Chu G, Han M qi, Chen T, Zhou H, Guo Y cheng. Application of the Kvaal

- method for age estimation using digital panoramic radiography of Chinese individuals. *Forensic Sci Int* [Internet]. 2019;301:76–81. Available from: <https://doi.org/10.1016/j.forsciint.2019.05.015>
14. Erbudak H özge, Özbek M, Uysal S, Karabulut E. Application of Kvaal et al.'s age estimation method to panoramic radiographs from Turkish individuals. *Forensic Sci Int*. 2012;219(1–3):141–6.
 15. Anastácio ACR. Estimativa Médico-Legal da Idade pela Proporção Polpa/Dente numa População Portuguesa: Validação do Método de Cameriere em Pré-Molares Superiores. 2016;1–26. Available from: <http://hdl.handle.net/10451/26091>
 16. Ridhima Sharma AS. Radiographic evaluation of dental age of adults using Kvaal's method. *J Forensic Dent Sci*. 2010;2(1):22–6.
 17. S. Venu Gopal KK, Chaudhari CP, Anupama P, Elampavai E. Determination of the Antibacterial Activity of Atorvastatin against Periodontal Pathogens,. *J Interdiscip Dent*. 2017;7:97–100.
 18. Chandramala R, Sharma R, Khan M SA. Application of Kvaal's Technique of Age Estimation on Digital Panoramic Radiographs. *Dentistry*. 2012;02(06):6–10.
 19. Samta Mittal, Suma Gundareddy Nagendrareddy, Manisha Lakhanpal Sharma, Poornapragna Agnihotri, Sunil Chaudhary MD. Age estimation based on Kvaal's technique using digital panoramic radiographs. *J Forensic Dent Sci*. 2016;8(2):115.
 20. Maini V, Kohli K, Aggarwal A AO. Forensic Age Estimation on Digital Panoramic Radiographics by Application of KVAALS Technique Central incisor , Maxillary Lateral incisor , Maxillary Second bicuspid Mandibular Lateral incisor , Mandibular Canine and Mandibular First bicuspid. *J Punjab Acad Forensic Med Toxicol*. 2017;17(1).
 21. Roh B yoon, Lee WJ, Ryu JW, Ahn JM, Yoon CL, Lee SS. The application of the Kvaal method to estimate the age of live Korean subjects using digital panoramic radiographs. *Int J Legal Med*. 2017;132(4):1161–6.
 22. Marroquin Penaloza TY, Karkhanis S, Kvaal SI, Nurul F, Kanagasingam S, Franklin D, et al. Application of the Kvaal method for adult dental age estimation using Cone Beam Computed Tomography (CBCT). *J Forensic Leg Med* [Internet]. 2016;44:178–82. Available from: <http://dx.doi.org/10.1016/j.jflm.2016.10.013>
 23. Akay G, Gungor K, Gurcan S. The applicability of Kvaal methods and pulp/tooth volume ratio for age estimation of the Turkish adult population on cone beam computed tomography images. *Aust J Forensic Sci* [Internet]. 2017;51(3):251–65. Available from: <http://doi.org/10.1080/00450618.2017.1356872>

24. Afify MM, Salem WS MN. Age Estimation from Pulp / Tooth Area Ratio of Canines using Cone-Beam Computed Tomography Image Analysis : Study of an Egyptian Sample. J Forensic Res. 2019;10(1):1–7.
25. Haghanifar S, Ghobadi F, Vahdani N, Bijani A. Age estimation by pulp/tooth area ratio in anterior teeth using cone-beam computed tomography: Comparison of four teeth. J Appl Oral Sci. 2019;27:1–8.
26. Cameriere R, Ferrante L, Cingolani M. Variations in Pulp/Tooth Area Ratio as an Indicator of Age: a Preliminary Study. J Forensic Sci. 2004;49(2):1–3.

ANEXOS

Anexo 1 – Cartas de pedido de autorização

I – Carta para a Direção Clínica da FMDUL

Exmo. Sr. Diretor Clínico
da Faculdade de Medicina Dentária
da Universidade de Lisboa
Professor Doutor João Aquino Marques

Lisboa, 10 de setembro de 2018

Venho por este meio solicitar autorização para realizar um estudo intitulado *“Estimativa Médico-Legal da Idade pela Proporção Polpa/Dente numa População Portuguesa: Comparação entre o Método de Cameriere e o Método de Kvaal em Caninos”*, sob a orientação da Professora Doutora Cristiana Palmela Pereira e do Professor Doutor Rui Filipe Vargas de Sousa Santos.

O referido estudo comprará a exatidão do método de *Cameriere* em relação ao método de *Kvaal* na estimativa médico-legal da idade de uma amostra da população portuguesa, utilizando os caninos em radiografias panorâmicas.

O estudo será realizado durante os próximos meses do ano letivo de 2018/2019 com recurso a radiografias panorâmicas de pacientes submetidos a tratamento na Clínica de Pré e Pós-Graduação da Faculdade de Medicina Dentária da Universidade de Lisboa.

Para a realização deste estudo, os dados recolhidos dos respetivos processos clínicos serão: o número de processo, idade, género e data de realização da radiografia panorâmica. Sendo que, para este efeito, não serão recolhidos quaisquer outros dados identificativos dos mesmos pacientes.

Em anexo envia-se o protocolo do estudo.

Pede deferimento.

Com os melhores cumprimentos,



II – Carta para a Comissão de Ética para a Saúde da FMDUL

Exmo. Sr. Presidente da Comissão de Ética para a Saúde

da Faculdade de Medicina Dentária

da Universidade de Lisboa

Professor Doutor João Aquino Marques

Lisboa, 10 de setembro de 2018

Venho por este meio solicitar autorização para realizar um estudo intitulado ***“Estimativa Médico-Legal da Idade pela Proporção Polpa/Dente numa População Portuguesa: Comparação entre o Método de Cameriere e o Método de Kvaal em Caninos”***, sob a orientação da Professora Doutora Cristiana Palmela Pereira e do Professor Doutor Rui Filipe Vargas de Sousa Santos.

O referido estudo comprará a exatidão do método de *Cameriere* em relação ao método de *Kvaal* na estimativa médico-legal da idade de uma amostra da população portuguesa, utilizando os caninos em radiografias panorâmicas.

O estudo será realizado durante os próximos meses do ano letivo de 2018/2019 com recurso a radiografias panorâmicas de pacientes submetidos a tratamento na Clínica de Pré e Pós-Graduação da Faculdade de Medicina Dentária da Universidade de Lisboa.

Para a realização deste estudo, os dados recolhidos dos respetivos processos clínicos serão: o número de processo, idade, género e data de realização da radiografia panorâmica. Sendo que, para este efeito, não serão recolhidos quaisquer outros dados identificativos dos mesmos pacientes.

Em anexo envia-se o protocolo do estudo.

Pede deferimento.

Com os melhores cumprimentos,



III - Carta para o Conselho Científico da FMDUL

Exmo. Sr. Presidente do Conselho Científico

da Faculdade de Medicina Dentária

da Universidade de Lisboa

Professor Doutor João Caramês

Lisboa, 10 de Setembro de 2018

Venho por este meio solicitar autorização para realizar um estudo intitulado ***“Estimativa Médico-Legal da Idade pela Proporção Polpa/Dente numa População Portuguesa: Comparação entre o Método de Cameriere e o Método de Kvaal em Caninos”***, sob a orientação da Professora Doutora Cristiana Palmela Pereira e do Professor Doutor Rui Filipe Vargas de Sousa Santos.

O referido estudo comparará a exatidão do método de *Cameriere* em relação ao método de *Kvaal* na estimativa médico-legal da idade de uma amostra da população portuguesa, utilizando os caninos em radiografias panorâmicas.

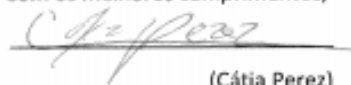
O estudo será realizado durante os próximos meses do ano letivo de 2018/2019 com recurso a radiografias panorâmicas de pacientes submetidos a tratamento na Clínica de Pré e Pós-Graduação da Faculdade de Medicina Dentária da Universidade de Lisboa.

Para a realização deste estudo, os dados recolhidos dos respetivos processos clínicos serão: o número de processo, idade, género e data de realização da radiografia panorâmica. Sendo que, para este efeito, não serão recolhidos quaisquer outros dados identificativos dos mesmos pacientes.

Em anexo envia-se o protocolo do estudo.

Pede deferimento.

Com os melhores cumprimentos,



(Cátia Perez)

Anexo 2 – Parecer da Comissão de Ética para a Saúde da FMDUL



FACULDADE DE MEDICINA DENTÁRIA

Comissão de Ética para a Saúde (CES-FMDUL)

PARECER

A Comissão de Ética para a Saúde da Faculdade de Medicina Dentária da Universidade de Lisboa (CES-FMDUL), apreciou o pedido de parecer para a realização de um estudo intitulado, *“Estimativa Médico-Legal da Idade pela Proporção Polpa/Dente numa População Portuguesa: Comparação entre o Método de Cameriere e o Método de Kvaal em Caninos”* submetido pelo estudante Cátia Perez, tendo por orientadores os Professores Doutores Cristiana Palmela Pereira e Rui Filipe Vargas de Sousa Santos e destinado ao trabalho final do curso de Mestrado Integrado em Medicina Dentária.

A CES-FMDUL deliberou e decidiu emitir **parecer favorável**.

Lisboa, 3 de dezembro de 2018.

O presidente da CES-FMDUL

(Professor Catedrático João Aquino)

Anexo 3 – Dados do estudo: Abreviaturas e códigos de registo

- $A = Pa/Ra$;
- $B = Pb/Rb$;
- $C = Pc/Rc$;
- Comp.DENTE = comprimento do dente em milímetros
- Comp.POLPA = comprimento da polpa em milímetros
- DENTE = comprimento total do dente;
- $L = (P+R) /2$;
- $M = (P+R+A+B+C) /5$;
- M1 – primeira medição
- M2 – segunda medição
- M3 – terceira medição
- $P = POLPA/RAÍZ$;
- Pa – largura da polpa ao nível da JAC;
- Pb – largura da polpa na distância média entre A e C;
- Pc – largura da polpa entre a JAC e o ápex da raiz;
- POLPA = comprimento total da polpa;
- $R = POLPA/DENTE$;
- Ra - largura do dente ao nível da JAC;
- RAÍZ = comprimento total da raiz.
- Rc - largura do dente entre a JAC e o ápex da raiz;
- Rb - largura do dente na distância média entre A e C;
- $T = DENTE/RAÍZ$;
- T = área total do dente em pixéis
- P = área total da polpa em pixéis
- $W = (B+C) /2$;
- W-L;
- $x_1 = P/T$ caninos superiores;
- $x_2 = P/T$ caninos inferiores.

Estimativa Médico-Legal da Idade pela Proporção Polpa/Dente numa População Portuguesa: Comparação entre o Método de Cameriere e o Método de Kvaal em Caninos

Anexo 4 – Editor de SPSS

N	Idade_mes	Idadeqd	OPG	Género	Id_Dente	DENTE	RAIZ	POLPA	T	P	R	Pa	Ra	A	Pb	Rb	B	Pc	Re	C	M	W	L	WL
1	257	21	0	13	364,54	235,51	251,47	1,5479	1,0678	0,6898	20,39	79,56	0,2563	21,94	76,46	0,2869	15,41	62,95	0,2448	0,5091	0,2659	0,8788	-0,6129	
2	910	75	1	13	352,60	223,51	275,89	1,5776	1,2344	0,7824	13,59	68,32	0,1989	15,08	75,54	0,1996	9,52	70,56	0,1349	0,5101	0,1673	1,0084	-0,8411	
3	289	24	1	13	290,92	186,48	227,52	1,5601	1,2201	0,7821	17,67	65,54	0,2696	19,52	64,71	0,3017	11,57	62,78	0,1843	0,5515	0,2430	1,0011	-0,7581	
4	302	25	1	13	306,21	201,35	246,54	1,5208	1,2244	0,8051	16,49	65,48	0,2518	15,95	59,46	0,2682	12,60	51,51	0,2446	0,5589	0,2564	1,0148	-0,7584	
5	316	26	1	13	320,32	212,54	257,45	1,5071	1,2113	0,8037	17,74	75,97	0,2335	19,52	67,54	0,2890	16,54	60,76	0,2722	0,5620	0,2806	1,0075	-0,7269	
6	790	65	0	13	231,57	151,56	142,40	1,5279	0,9396	0,6149	0,00	64,53	0,0000	7,55	42,49	0,1777	6,52	31,46	0,2072	0,3879	0,1925	0,7772	-0,5848	
7	500	41	1	13	333,68	255,66	270,38	1,3052	1,0576	0,8103	15,86	67,96	0,2334	9,63	53,53	0,1799	5,71	45,53	0,1254	0,4813	0,1527	0,9339	-0,7813	
8	281	23	0	13	346,78	193,26	286,19	1,7944	1,4809	0,8253	27,41	99,17	0,2764	20,55	80,49	0,2553	13,57	78,52	0,1728	0,6021	0,2141	1,1531	-0,9390	
9	413	34	0	13	256,49	229,52	290,47	1,1175	1,2656	1,1325	13,74	92,78	0,1481	14,44	92,72	0,1557	22,48	74,52	0,3017	0,6007	0,2287	1,1990	-0,9703	
10	493	41	0	13	342,53	241,41	270,92	1,4189	1,1222	0,7909	18,54	98,64	0,1880	21,22	90,46	0,2346	11,03	73,79	0,1495	0,4970	0,1920	0,9566	-0,7646	
11	600	50	1	13	333,27	219,03	236,46	1,5216	1,0796	0,7095	15,85	75,54	0,2098	14,76	67,50	0,2187	15,35	63,68	0,2410	0,4917	0,2299	0,8945	-0,6647	
12	422	35	1	13	277,09	178,50	200,46	1,5523	1,1230	0,7234	13,51	75,45	0,1791	18,47	64,76	0,2852	11,50	60,58	0,1898	0,5001	0,2375	0,9232	-0,6857	
13	362	30	1	13	283,52	175,45	211,83	1,6160	1,2074	0,7471	8,52	64,51	0,1321	7,53	61,90	0,1216	8,49	54,45	0,1559	0,4728	0,1388	0,9772	-0,8385	
14	883	73	0	13	251,53	158,47	178,27	1,5872	1,1249	0,7087	9,48	70,52	0,1344	10,51	58,49	0,1797	9,88	54,49	0,1813	0,4658	0,1805	0,9168	-0,7363	
15	612	51	1	13	330,45	217,39	243,53	1,5201	1,1202	0,7370	15,27	81,52	0,1873	14,53	67,51	0,2152	12,51	52,58	0,2379	0,4995	0,2266	0,9286	-0,7020	
16	296	24	0	13	329,86	207,53	229,81	1,5895	1,1074	0,6967	19,54	79,98	0,2443	14,54	72,50	0,2006	12,75	58,54	0,2178	0,4933	0,2092	0,9020	-0,6928	
17	425	35	0	13	364,49	222,16	279,55	1,6407	1,2583	0,7670	24,02	89,52	0,2683	20,56	97,59	0,2107	14,88	69,56	0,2139	0,5436	0,2123	1,0126	-0,8003	
18	297	24	1	13	310,34	222,56	243,22	1,3944	1,0928	0,7837	17,52	91,66	0,1911	13,50	75,67	0,1784	12,46	66,06	0,1886	0,4869	0,1835	0,9383	-0,7548	
19	603	50	1	13	293,91	189,54	229,43	1,5506	1,2105	0,7806	14,46	79,46	0,1820	13,55	72,66	0,1865	10,47	56,68	0,1847	0,5089	0,1856	0,9955	-0,8099	
20	648	54	0	13	379,13	266,72	311,45	1,4215	1,1677	0,8215	16,49	96,50	0,1709	15,54	99,59	0,1560	19,53	82,54	0,2366	0,5105	0,1963	0,9946	-0,7983	
21	733	61	0	13	371,89	251,93	303,45	1,4762	1,2045	0,8160	13,52	83,58	0,1618	10,51	78,51	0,1339	9,55	64,01	0,1492	0,4931	0,1415	1,0102	-0,8687	
22	374	31	0	13	377,57	253,47	300,22	1,4896	1,1844	0,7951	15,68	80,71	0,1943	11,54	61,53	0,1876	7,52	62,47	0,1204	0,4964	0,1540	0,9898	-0,8358	
23	367	30	0	13	376,44	264,55	300,50	1,4229	1,1359	0,7983	14,70	83,24	0,1766	16,26	66,72	0,2437	11,68	55,28	0,2113	0,5131	0,2275	0,9671	-0,7396	
24	391	32	1	13	369,40	282,58	321,46	1,3072	1,1376	0,8702	12,41	81,58	0,1521	13,51	72,50	0,1863	8,57	65,99	0,1299	0,4952	0,1581	1,0039	-0,8458	
25	725	60	1	13	327,06	211,47	248,47	1,5466	1,1750	0,7597	14,17	66,53	0,2130	11,53	55,50	0,2077	7,86	59,28	0,1326	0,4976	0,1702	0,9673	-0,7972	
26	662	55	0	13	386,27	275,18	313,48	1,4037	1,1392	0,8116	16,52	77,39	0,2135	16,53	80,57	0,2052	12,50	59,52	0,2100	0,5159	0,2076	0,9754	-0,7678	
27	742	61	1	13	270,15	164,29	200,70	1,6443	1,2216	0,7429	14,67	60,54	0,2423	11,31	55,59	0,2035	9,52	51,36	0,1854	0,5191	0,1944	0,9823	-0,7879	
28	260	21	1	13	316,13	218,48	254,67	1,4470	1,1656	0,8056	19,66	77,08	0,2551	13,71	66,58	0,2059	13,01	46,07	0,2824	0,5429	0,2442	0,9856	-0,7415	
29	423	35	0	13	345,18	214,49	279,45	1,6093	1,3029	0,8096	18,53	81,92	0,2262	17,35	66,56	0,2607	13,76	73,41	0,1874	0,5573	0,2241	1,0562	-0,8322	
30	373	31	0	13	348,56	238,40	250,31	1,4621	1,0500	0,7181	0,00	70,55	0,0000	14,51	58,67	0,2473	12,00	46,03	0,2607	0,4552	0,2540	0,8840	-0,6300	
31	497	41	1	13	272,43	177,71	200,50	1,5330	1,1282	0,7360	11,52	66,04	0,1744	11,76	57,55	0,2043	11,43	48,00	0,2381	0,4962	0,2212	0,9321	-0,7109	
32	380	31	1	13	329,07	211,39	258,48	1,5567	1,2228	0,7855	17,52	82,43	0,2125	16,56	73,62	0,2249	11,57	73,55	0,1573	0,5206	0,1911	1,0041	-0,8130	
33	293	24	1	13	368,56	256,33	286,28	1,4378	1,1168	0,7768	14,52	71,66	0,2026	13,40	67,53	0,1984	10,79	63,87	0,1689	0,4927	0,1837	0,9468	-0,7631	
34	331	27	1	13	347,17	234,51	281,29	1,4804	1,1995	0,8102	15,98	75,53	0,2116	13,73	79,54	0,1726	10,92	62,57	0,1745	0,5137	0,1736	1,0049	-0,8313	
35	731	60	1	13	374,34	273,46	311,59	1,3689	1,1394	0,8324	15,78	72,53	0,2176	11,52	65,51	0,1759	9,60	57,04	0,1683	0,5067	0,1721	0,9859	-0,8138	
36	736	61	1	13	319,55	211,13	242,63	1,5135	1,1492	0,7593	15,48	74,65	0,2074	10,91	68,08	0,1603	9,54	62,89	0,1517	0,4856	0,1560	0,9542	-0,7983	
37	588	49	0	13	338,53	221,63	270,12	1,5275	1,2188	0,7979	24,60	97,66	0,2519	18,95	92,10	0,2058	10,06	76,84	0,1309	0,5211	0,1683	1,0084	-0,8400	
38	589	49	1	13	272,63	182,28	228,96	1,4957	1,2561	0,8398	24,87	80,08	0,3106	14,29	72,52	0,1970	9,59	58,38	0,1643	0,5536	0,1807	1,0080	-0,8673	
39	347	28	0	13	314,07	204,58	246,26	1,5352	1,2037	0,7841	18,53	99,48	0,1863	19,50	84,11	0,2318	14,56	77,43	0,1880	0,5188	0,2099	0,9939	-0,7840	
40	284	23	0	13	332,32	242,64	281,52	1,3696	1,1602	0,8471	17,16	74,42	0,2306	13,60	67,70	0,2009	11,65	67,57	0,1724	0,5223	0,1867	1,0037	-0,8170	
41	306	25	1	13	329,67	216,55	266,42	1,5224	1,2303	0,8081	14,17	68,55	0,2067	12,58	50,62	0,2485	7,46	38,23	0,1951	0,5378	0,2218	1,0192	-0,7974	
42	507	42	0	13	343,65	226,62	275,25	1,5164	1,2146	0,8010	15,47	77,52	0,1996	13,52	64,84	0,2085	9,51	51,54	0,1845	0,5216	0,1965	1,0078	-0,8113	
43	274	22	1	13	332,32	233,98	279,46	1,4203	1,1944	0,8409	17,15	74,63	0,2298	13,54	69,56	0,1947	14,56	54,54	0,2670	0,5453	0,2308	1,0177	-0,7868	
44	489	40	1	13	305,04	191,47	226,42	1,5931	1,1825	0,7423	16,30	77,53	0,2102	11,53	71,97	0,1602	12,53	64,54	0,1941	0,4979	0,1772	0,9624	-0,7852	
45	494	41	1	13	344,26	241,07	287,63	1,4280	1,1931	0,8355	16,52	77,47	0,2132	9,62	71,64	0,1343	12,87	57,54	0,2237	0,5200	0,1790	1,0143	-0,8353	
46	502	41	1	13	312,58	214,31	262,41	1,4585	1,2244	0,8395	15,88	72,33	0,2195	10,50	67,53	0,1555	9,55	60,86	0,1569	0,5192	0,1622	1,0320	-0,8758	
47	521	44	1	13	333,45	219,28	261,30	1,5207	1,1916	0,7836	11,53	59,45	0,1939	10,59	55,10	0,1922	8,55	43,64	0,1959	0,5115	0,1941	0,9876	-0,7936	
48	780	65	0	13	333,39	214,33	282,57	1,5555	1,1884	0,8476	10,83	59,48	0,1821	8,65	49,52	0,1747	9,50	49,55	0,1917	0,5429	0,1832	1,0830	-0,8998	
49	581	48	1	13	330,73	218,40	257,56	1,5143	1,1793	0,7788	17,48	77,61	0,2252	13,75	78,50	0,1752	9,56	64,43	0,1484	0,5014	0,1618	0,9790	-0,8173	
50	538	44	0	13	363,39	242,19	277,44	1,5004	1,1455	0,7635	24,69	104,53	0,2362	19,47	90,85	0,2143	10,88	80,49	0,1352	0,4				

Estimativa Médico-Legal da Idade pela Proporção Polpa/Dente numa População Portuguesa: Comparação entre o Método de Cameriere e o Método de Kvaal em Caninos

68	727	60	0	13	304,75	224,13	245,49	1,3597	1,0953	0,8055	14,41	54,29	0,2654	9,01	43,47	0,2073	7,06	32,69	0,2160	0,5179	0,2116	0,9504	-0,7388
69	311	25	1	13	327,47	225,71	270,20	1,4508	1,1971	0,8251	14,56	84,32	0,1727	19,58	71,71	0,2730	15,51	64,55	0,2403	0,5416	0,2567	1,0111	-0,7545
70	317	26	1	13	330,38	218,56	265,61	1,5116	1,2153	0,8040	15,83	82,45	0,1920	14,60	70,56	0,2069	11,51	65,41	0,1760	0,5188	0,1914	1,0096	-0,8182
71	472	39	0	13	361,53	256,30	289,96	1,4106	1,1313	0,8020	18,53	78,20	0,2370	11,54	66,49	0,1736	12,47	65,56	0,1902	0,5068	0,1819	0,9667	-0,7848
72	350	29	1	13	350,44	239,26	276,36	1,4647	1,1551	0,7886	17,45	74,36	0,2347	14,47	59,12	0,2448	13,20	61,52	0,2146	0,5275	0,2297	0,9718	-0,7422
73	371	30	1	13	268,72	166,41	191,33	1,6148	1,1498	0,7120	15,60	76,14	0,2049	15,20	71,60	0,2123	14,27	59,54	0,2397	0,5037	0,2260	0,9309	-0,7049
74	718	59	1	13	269,54	187,52	207,89	1,4374	1,1086	0,7713	6,42	51,55	0,1245	11,64	42,44	0,2743	7,45	43,74	0,1703	0,4898	0,2223	0,9400	-0,7177
75	637	53	0	13	347,86	235,33	274,17	1,4782	1,1650	0,7882	11,48	70,43	0,1630	8,50	47,27	0,1798	9,51	46,68	0,2037	0,5000	0,1918	0,9766	-0,7848
76	392	32	1	13	357,41	234,12	295,97	1,5266	1,2642	0,8281	23,78	88,49	0,2687	20,41	74,52	0,2739	16,34	61,45	0,2659	0,5802	0,2699	1,0461	-0,7762
77	401	33	1	13	364,26	231,35	252,72	1,5745	1,0924	0,6938	22,90	90,17	0,2540	12,56	74,99	0,1675	16,28	62,87	0,2589	0,4933	0,2132	0,8931	-0,6799
78	681	56	1	13	304,47	192,95	235,47	1,5780	1,2204	0,7734	22,67	98,42	0,2303	16,90	79,96	0,2114	15,23	70,66	0,2155	0,5302	0,2134	0,9969	-0,7834
79	534	44	1	13	323,74	229,02	267,57	1,4136	1,1683	0,8265	13,52	70,97	0,1905	13,05	63,30	0,2062	11,54	60,48	0,1908	0,5165	0,1985	0,9974	-0,7989
80	805	67	1	13	305,50	208,47	234,38	1,4654	1,1243	0,7672	13,64	71,30	0,1913	10,48	60,48	0,1733	10,30	46,56	0,2212	0,4955	0,1973	0,9457	-0,7485
81	359	29	0	13	347,16	232,53	268,50	1,4930	1,1547	0,7734	20,56	81,13	0,2534	16,60	70,05	0,2370	12,53	65,18	0,1922	0,5221	0,2146	0,9641	-0,7494
82	454	37	0	13	410,77	290,20	332,53	1,4155	1,1459	0,8095	18,27	97,41	0,1876	17,52	85,42	0,2051	16,24	96,13	0,1689	0,5034	0,1870	0,9777	-0,7907
83	521	43	1	13	305,08	210,41	244,52	1,4499	1,1621	0,8015	21,68	81,46	0,2661	17,38	60,25	0,2885	12,63	63,87	0,1977	0,5432	0,2131	0,9818	-0,7387
84	486	40	1	13	270,73	194,52	229,48	1,3918	1,1797	0,8476	12,20	73,44	0,1661	8,10	55,87	0,1450	7,46	45,44	0,1642	0,5005	0,1546	1,0137	-0,8591
85	479	39	1	13	300,52	208,53	237,12	1,4411	1,1371	0,7890	11,47	70,12	0,1636	14,40	57,86	0,2489	12,40	57,84	0,2144	0,5106	0,2316	0,9631	-0,7314
86	508	42	1	13	306,55	214,87	247,33	1,4267	1,1511	0,8068	11,91	70,00	0,1701	9,53	53,49	0,1782	7,52	46,46	0,1619	0,4936	0,1700	0,9789	-0,8089
87	517	43	1	13	292,60	200,01	231,38	1,4629	1,1891	0,7908	11,57	59,69	0,1853	12,46	44,10	0,2154	8,95	40,48	0,2211	0,5139	0,2183	0,9818	-0,7555
88	750	62	1	13	305,54	187,48	234,84	1,6297	1,2526	0,7686	17,60	63,85	0,2756	13,84	56,50	0,2450	11,68	51,50	0,2268	0,5537	0,2359	1,0106	-0,7747
89	771	64	1	13	330,53	206,74	254,50	1,5988	1,2310	0,7700	17,49	77,18	0,2266	14,70	67,46	0,2179	8,51	47,52	0,1791	0,5249	0,1985	1,0005	-0,8020
90	568	47	1	13	271,51	177,57	202,16	1,5290	1,1385	0,7446	18,39	75,53	0,2435	17,48	69,59	0,2512	9,63	64,41	0,1495	0,5054	0,2003	0,9415	-0,7412
91	703	58	1	13	320,16	204,44	239,49	1,5660	1,1714	0,7480	11,57	83,88	0,1379	12,46	64,58	0,1929	10,45	57,53	0,1816	0,4864	0,2003	0,9597	-0,7724
92	345	28	1	13	337,88	221,34	280,42	1,5265	1,2669	0,8299	24,24	95,38	0,2541	18,49	85,51	0,2162	11,51	74,71	0,1541	0,5443	0,1851	1,0484	-0,8633
93	316	26	0	13	319,50	209,51	227,58	1,5250	1,0862	0,7123	13,22	69,22	0,1910	10,98	54,93	0,1999	11,20	46,84	0,2391	0,4857	0,2195	0,8993	-0,6798
94	615	51	0	13	359,00	265,05	284,19	1,3545	1,0722	0,7916	9,53	66,49	0,1433	12,18	64,09	0,1900	12,62	52,50	0,2404	0,4875	0,2152	0,9319	-0,7167
95	678	56	0	13	270,59	185,43	220,50	1,4593	1,1891	0,8149	24,55	60,65	0,4048	12,44	55,21	0,2253	9,67	48,48	0,1995	0,5667	0,2124	1,0020	-0,7896
96	610	50	1	13	350,53	241,46	297,25	1,4517	1,2311	0,8480	17,51	90,08	0,1944	16,68	76,37	0,2184	18,40	66,45	0,2769	0,5537	0,2477	1,0395	-0,7919
97	359	29	0	13	322,65	200,89	263,12	1,6061	1,3098	0,8155	16,48	80,44	0,2049	16,42	72,76	0,2257	12,77	68,56	0,1863	0,5484	0,2060	1,0626	-0,8567
98	308	25	1	13	346,28	247,37	282,51	1,3998	1,1421	0,8158	14,52	69,14	0,2100	15,35	65,48	0,2344	11,93	46,52	0,2564	0,5318	0,2454	0,9789	-0,7335
99	667	55	0	13	412,49	272,90	319,46	1,5115	1,1706	0,7745	18,57	92,53	0,2007	16,18	78,46	0,2062	15,09	72,49	0,2082	0,5120	0,2072	0,9725	-0,7653
100	700	58	0	13	364,44	241,97	295,66	1,5061	1,2219	0,8113	20,52	79,66	0,2576	13,45	75,61	0,1779	12,84	72,46	0,1772	0,5292	0,1775	1,0166	-0,8390
101	750	62	0	13	319,62	211,39	230,39	1,5120	1,0899	0,7208	13,26	60,94	0,2176	11,53	58,36	0,1976	9,01	46,54	0,1936	0,4839	0,1956	0,9054	-0,7098
102	506	42	1	13	293,40	184,15	233,42	1,5933	1,2676	0,7956	19,52	95,03	0,2054	20,95	74,70	0,2805	18,50	61,81	0,2993	0,5697	0,2899	1,0316	-0,7417
103	674	56	1	13	291,97	199,48	218,41	1,4637	1,0949	0,7481	15,82	63,29	0,2500	11,53	59,10	0,1951	9,37	51,36	0,1824	0,4941	0,1888	0,9215	-0,7327
104	567	47	0	13	464,00	326,51	346,14	1,4211	1,0601	0,7460	27,41	102,35	0,2678	17,45	97,43	0,1791	18,48	72,53	0,2548	0,5016	0,2169	0,9031	-0,6861
105	618	51	0	13	360,60	216,45	251,58	1,6660	1,1623	0,6977	31,43	116,55	0,2697	24,47	105,60	0,2317	29,01	88,34	0,3284	0,5380	0,2801	0,9300	-0,6499
106	460	38	1	13	304,40	197,43	240,74	1,5418	1,2194	0,7909	20,45	75,74	0,2700	16,83	64,97	0,2590	15,52	57,43	0,2702	0,5619	0,2646	1,0051	-0,7405
107	366	30	1	13	313,28	197,66	241,47	1,5849	1,2216	0,7708	18,48	89,97	0,2054	20,10	68,78	0,2922	16,55	58,77	0,2816	0,5543	0,2869	0,9962	-0,7093
108	332	27	0	13	300,86	195,50	254,22	1,5389	1,3004	0,8450	27,47	87,73	0,3131	15,56	78,04	0,1994	19,68	68,05	0,2892	0,5894	0,2443	1,0727	-0,8284
109	745	62	0	13	290,83	181,59	252,46	1,6016	1,3903	0,8681	18,27	69,75	0,2619	15,49	60,87	0,2545	14,44	52,64	0,2743	0,6098	0,2644	1,1292	-0,8648
110	431	35	0	13	311,31	205,38	236,62	1,5158	1,1521	0,7601	14,56	69,43	0,2097	10,56	63,79	0,1655	9,69	47,37	0,2046	0,4984	0,1851	0,9561	-0,7710
111	322	26	1	13	327,08	230,32	252,64	1,4201	1,0969	0,7724	16,64	87,92	0,1893	16,67	67,50	0,2470	13,52	57,42	0,2355	0,5082	0,2412	0,9347	-0,6934
112	326	27	1	13	304,44	209,87	224,42	1,4506	1,0693	0,7372	16,36	79,86	0,2049	19,08	73,90	0,2582	14,17	60,55	0,2340	0,5007	0,2461	0,9032	-0,6571
113	379	32	1	13	338,57	236,82	263,53	1,4297	1,1128	0,7784	15,66	63,63	0,2461	10,51	6,47	1,6244	11,08	50,65	0,2188	0,7961	0,9216	0,9456	-0,0240
114	556	46	1	13	336,54	223,20	273,51	1,5078	1,2254	0,8127	15,62	77,23	0,2023	14,58	71,53	0,2038	11,49	51,27	0,2241	0,5337	0,2140	1,0191	-0,8051
115	411	34	0	13	352,45	236,46	270,27	1,4905	1,1430	0,7668	15,77	81,93	0,1925	15,39	66,71	0,2307	13,66	62,78	0,2176	0,5101	0,2241	0,9549	-0,7308
116	817	68	0	13	326,44	218,16	234,15	1,4963	1,0733	0,7173	15,00	60,38	0,2484	16,76	50,42	0,3324	12,47	45,03	0,2769	0,5297	0,3047	0,8953	-0,5906
117	639	53	1	13	324,65	230,73	278,62	1,4071	1,2076	0,8582	16,58	85,67	0,1935	21,52	84,30	0,2553	22,63	75,51	0,2997	0,5629	0,2775	1,0329	-0,7554
118	532	44	1	13	305,99	186,63	238,55	1,6396	1,2782	0,7796	18,50	91,51											

Estimativa Médico-Legal da Idade pela Proporção Polpa/Dente numa População Portuguesa: Comparação entre o Método de Cameriere e o Método de Kvaal em Caninos

136	341	28	1	13	367,03	234,22	302,43	1,5670	1,2912	0,8240	25,59	94,66	0,2703	15,68	80,49	0,1948	12,50	51,54	0,2425	0,5646	0,2187	1,0576	-0,8389
137	324	27	1	13	374,31	251,70	301,65	1,4871	1,1985	0,8059	14,53	91,26	0,1592	12,56	79,48	0,1580	4,55	62,47	0,0728	0,4789	0,1154	1,0022	-0,8867
138	803	66	0	13	352,75	246,33	298,93	1,4320	1,2135	0,8474	16,27	78,35	0,2077	16,46	63,46	0,2594	11,32	52,50	0,2156	0,5487	0,2375	1,0305	-0,7930
139	336	28	1	13	344,51	233,44	293,52	1,4758	1,2574	0,8520	17,91	75,88	0,2360	16,54	74,21	0,2229	12,63	67,60	0,1868	0,5510	0,2049	1,0547	-0,8498
140	258	21	1	13	370,50	257,04	315,21	1,4414	1,2263	0,8508	20,51	89,51	0,2291	18,42	69,09	0,2666	16,46	63,42	0,2595	0,5665	0,2631	1,0385	-0,7755
141	722	60	0	13	361,13	235,14	279,38	1,5358	1,1881	0,7736	15,50	86,31	0,1796	13,51	72,44	0,1865	11,57	52,47	0,2205	0,5097	0,2035	0,9809	-0,7774
142	764	63	1	13	304,44	226,45	240,45	1,3444	1,0618	0,7898	12,64	63,14	0,2002	7,68	63,08	0,1218	9,40	45,66	0,2059	0,4759	0,1638	0,9258	-0,7620
143	411	34	0	13	293,48	205,23	248,34	1,4300	1,2101	0,8462	11,41	60,56	0,1884	12,72	51,43	0,2473	6,51	45,48	0,1431	0,5270	0,1952	1,0281	-0,8329
144	577	48	0	13	327,41	195,80	247,23	1,6722	1,2627	0,7551	29,97	85,57	0,3502	20,49	77,54	0,2643	23,97	68,45	0,3502	0,5965	0,3072	1,0089	-0,7017
145	305	25	1	13	278,09	172,46	239,97	1,6125	1,3915	0,8629	21,99	79,41	0,2769	19,23	69,62	0,2762	18,36	54,52	0,3368	0,6289	0,3065	1,1272	-0,8207
146	373	31	1	13	340,89	240,38	268,54	1,4181	1,1171	0,7878	17,48	69,58	0,2512	17,50	63,51	0,2755	12,54	61,62	0,2035	0,5270	0,2395	0,9525	-0,7129
147	295	24	1	13	325,34	211,16	272,99	1,5407	1,2928	0,8391	24,30	80,71	0,3011	20,62	75,42	0,2734	12,55	60,38	0,2079	0,5828	0,2406	1,0660	-0,8253
148	405	33	0	13	417,71	289,48	341,50	1,4430	1,1797	0,8176	20,57	92,44	0,2225	19,84	84,55	0,2347	14,71	76,28	0,1928	0,5295	0,2137	0,9986	-0,7849
149	342	28	1	13	297,43	201,47	240,21	1,4763	1,1923	0,8076	14,26	67,24	0,2121	13,50	63,62	0,2122	10,50	51,36	0,2044	0,5257	0,2083	1,0000	-0,7916
150	364	30	1	13	354,58	234,30	300,00	1,5134	1,2804	0,8461	13,37	83,42	0,1603	16,76	75,84	0,2210	21,59	70,31	0,3071	0,5630	0,2640	1,0632	-0,7992
151	704	58	0	13	305,55	185,56	243,06	1,6466	1,3099	0,7955	17,52	83,53	0,2097	17,18	83,49	0,2058	16,51	66,53	0,2482	0,5538	0,2270	1,0527	-0,8257
152	716	59	0	13	313,58	199,40	257,97	1,5726	1,2937	0,8227	25,51	96,38	0,2647	18,59	79,11	0,2350	16,57	63,72	0,2600	0,5752	0,2475	1,0582	-0,8107
153	678	56	1	13	325,47	200,02	248,71	1,6272	1,2434	0,7642	17,55	63,57	0,2761	12,48	55,53	0,2247	12,70	50,56	0,2512	0,5519	0,2380	1,0038	-0,7658
154	301	25	0	13	399,17	258,30	339,74	1,5454	1,3153	0,8511	35,47	106,76	0,3322	32,80	104,64	0,3135	31,59	88,49	0,3570	0,6338	0,3352	1,0832	-0,7480
155	360	30	0	13	375,48	255,46	306,42	1,4698	1,1995	0,8161	21,77	88,53	0,2459	14,68	64,69	0,2269	15,50	53,49	0,2898	0,5556	0,2584	1,0078	-0,7494
156	668	55	0	13	347,52	231,98	277,88	1,4981	1,1979	0,7996	21,47	90,39	0,2375	15,76	75,56	0,2086	14,42	64,93	0,2221	0,5331	0,2153	0,9987	-0,7834
157	736	61	0	13	344,49	234,10	280,12	1,4716	1,1966	0,8131	14,64	72,45	0,2021	14,51	63,50	0,2285	10,94	64,53	0,1695	0,5220	0,1990	1,0049	-0,8058
158	347	28	1	13	307,28	208,48	256,51	1,4739	1,2304	0,8348	23,09	75,55	0,3056	13,71	65,58	0,2091	14,56	64,07	0,2273	0,5614	0,2182	1,0326	-0,8144
159	404	33	1	13	347,89	239,08	290,43	1,4551	1,2148	0,8348	12,54	72,27	0,1735	12,67	69,39	0,1826	11,35	52,34	0,2169	0,5245	0,1997	1,0248	-0,8251
160	481	40	1	13	329,28	213,32	268,07	1,5436	1,2567	0,8141	14,54	73,20	0,1986	11,16	65,35	0,1708	10,82	56,56	0,1913	0,5263	0,1810	1,0354	-0,8543
161	377	31	1	13	278,46	168,98	222,04	1,6479	1,3140	0,7974	17,91	72,67	0,2465	15,05	62,52	0,2407	8,46	63,72	0,1328	0,5463	0,1867	1,0557	-0,8689
162	862	71	0	13	349,17	233,31	275,32	1,4966	1,1801	0,7885	22,86	81,70	0,2798	23,71	75,99	0,3120	16,66	71,81	0,2320	0,5585	0,2720	0,9843	-0,7123
163	866	72	0	13	319,84	215,60	263,92	1,4835	1,2241	0,8252	14,61	71,76	0,2036	14,63	70,72	0,2069	15,03	60,01	0,2505	0,5420	0,2287	1,0246	-0,7960
164	460	38	1	13	353,54	243,04	301,80	1,4547	1,2418	0,8537	22,15	99,38	0,2229	25,60	102,96	0,2486	20,71	95,65	0,2165	0,5567	0,2326	1,0477	-0,8151
165	254	21	1	13	379,35	237,27	289,89	1,5988	1,2218	0,7642	27,68	96,82	0,2859	24,20	93,04	0,2601	20,28	61,47	0,3299	0,5724	0,2950	0,9930	-0,6980
166	309	25	1	13	329,35	225,45	262,42	1,4609	1,1640	0,7968	17,77	71,01	0,2502	15,48	70,51	0,2195	12,44	64,09	0,1941	0,5249	0,2068	0,9804	-0,7736
167	484	40	1	13	331,19	203,45	269,93	1,6279	1,3268	0,8150	18,47	81,44	0,2268	13,50	80,29	0,1681	12,49	66,75	0,1871	0,5448	0,1776	1,0709	-0,8933
168	503	41	1	13	347,73	224,77	284,11	1,5470	1,2640	0,8170	22,36	88,06	0,2539	16,42	78,01	0,2105	17,49	68,97	0,2536	0,5598	0,2320	1,0405	-0,8085
169	366	30	1	13	322,05	216,84	263,26	1,4852	1,2141	0,8175	20,24	90,48	0,2237	16,04	77,99	0,2057	13,50	69,64	0,1939	0,5309	0,1998	1,0158	-0,8160
170	396	33	1	13	316,28	201,42	252,56	1,5703	1,2539	0,7985	17,91	74,11	0,2417	16,87	68,04	0,2479	13,95	65,59	0,2127	0,5509	0,2303	1,0262	-0,7959
171	667	55	1	13	330,04	218,09	291,72	1,5133	1,3376	0,8839	26,74	83,52	0,3202	23,50	76,55	0,3070	13,51	62,67	0,2156	0,6128	0,2613	1,1108	-0,8495
172	340	28	1	13	362,52	222,82	274,73	1,6270	1,2330	0,7578	23,34	80,29	0,2907	21,52	89,47	0,2405	24,21	73,51	0,3293	0,5703	0,2849	0,9954	-0,7105
173	511	42	0	13	311,29	192,51	238,20	1,6170	1,2373	0,7652	15,90	87,62	0,1815	15,10	77,70	0,1943	13,73	56,55	0,2428	0,5242	0,2186	1,0013	-0,7827
174	393	32	1	13	363,36	238,35	282,32	1,5245	1,1845	0,7770	17,66	72,54	0,2435	14,32	60,80	0,2355	11,53	50,49	0,2284	0,5338	0,2319	0,9807	-0,7488
175	590	49	1	13	374,59	267,63	310,03	1,3997	1,1584	0,8277	20,45	78,95	0,2590	14,44	66,65	0,2167	13,61	54,28	0,2507	0,5425	0,2337	0,9930	-0,7593
176	661	55	0	13	363,07	241,56	299,41	1,5030	1,2395	0,8247	20,17	98,55	0,2047	18,67	89,42	0,2088	13,14	75,50	0,1740	0,5303	0,1914	1,0321	-0,8407
177	912	76	0	13	366,56	255,44	324,42	1,4350	1,2700	0,8850	19,05	77,69	0,2452	11,80	68,58	0,1721	14,59	62,72	0,2326	0,5610	0,2023	1,0775	-0,8752
178	437	36	1	13	304,21	175,19	218,49	1,7365	1,2472	0,7182	26,32	92,19	0,2855	23,46	91,25	0,2571	13,53	68,97	0,1962	0,5408	0,2266	0,9827	-0,7561
179	985	82	1	13	248,26	153,79	193,41	1,6143	1,2576	0,7791	12,45	45,50	0,2736	10,53	37,26	0,2826	9,61	39,47	0,2435	0,5673	0,2630	1,0183	-0,7553
180	313	26	1	13	331,83	224,15	277,32	1,4804	1,2372	0,8357	19,68	83,64	0,2353	17,24	70,51	0,2445	14,50	60,96	0,2379	0,5581	0,2412	1,0365	-0,7953
181	405	33	0	13	358,91	234,47	307,28	1,5307	1,3105	0,8561	15,01	75,58	0,1986	15,87	67,57	0,2349	12,52	52,21	0,2398	0,5680	0,2373	1,0833	-0,8460
182	683	56	1	13	297,61	199,39	214,13	1,4926	1,0739	0,7195	14,73	76,41	0,1928	9,66	65,21	0,1481	6,59	49,55	0,1330	0,4535	0,1406	0,8967	-0,7561
183	284	23	1	13	311,67	211,63	260,13	1,4727	1,2292	0,8346	15,51	77,39	0,2004	15,21	69,51	0,2188	16,36	56,06	0,2918	0,5550	0,2553	1,0319	-0,7766
184	476	39	0	13	371,52	233,54	295,46	1,5908	1,2651	0,7953	22,26	106,77	0,2085	21,75	105,74	0,2057	21,53	96,73	0,2226	0,5394	0,2141	1,0302	-0,8161
185	480	40	0	13	361,45	227,99	284,40	1,5854	1,2474	0,7868	25,61	95,58	0,2679	21,52	94,15	0,2286	21,13	91,28	0,2315	0,5525	0,2300	1,0171	-0,7871
186	300	25	1	13	364,45	257,40	295,48	1,4159</															

Estimativa Médico-Legal da Idade pela Proporção Polpa/Dente numa População Portuguesa: Comparação entre o Método de Cameriere e o Método de Kvaal em Caninos

4	302	25	1	23	344,12	233,49	254,99	1,4738	1,0921	0,7410	11,52	61,75	0,1866	11,18	62,31	0,1794	12,61	56,58	0,2229	0,4844	0,2011	0,9165	-0,7154
5	316	26	1	23	323,37	230,48	267,50	1,4030	1,1606	0,8272	9,58	74,44	0,1287	15,53	56,12	0,2767	11,55	54,34	0,2126	0,5212	0,2446	0,9939	-0,7493
6	790	65	0	23	323,53	234,41	229,25	1,3802	0,9780	0,7086	0,00	71,54	0,0000	10,69	64,51	0,1657	9,51	56,08	0,1696	0,4044	0,1676	0,8433	-0,6756
7	500	41	1	23	333,03	243,57	266,50	1,3673	1,0941	0,8002	11,57	59,51	0,1944	13,61	56,53	0,2408	9,61	52,77	0,1821	0,5023	0,2114	0,9472	-0,7358
8	281	23	0	23	353,64	238,64	275,23	1,4819	1,1533	0,7783	19,52	80,52	0,2424	22,02	75,64	0,2911	12,51	67,54	0,1852	0,5301	0,2382	0,9658	-0,7276
9	413	34	0	23	344,53	213,97	254,19	1,6102	1,1880	0,7378	35,35	97,66	0,3620	19,41	95,96	0,2023	16,55	90,75	0,1824	0,5345	0,1923	0,9629	-0,7706
10	493	41	0	23	330,32	242,18	253,49	1,3639	1,0467	0,7674	6,57	76,62	0,0857	16,47	75,54	0,2180	9,50	79,53	0,1195	0,4475	0,1687	0,9071	-0,7383
11	600	50	1	23	339,55	224,57	253,41	1,5120	1,1284	0,7463	16,51	78,69	0,2098	11,96	65,13	0,1836	8,53	62,14	0,1373	0,4811	0,1605	0,9374	-0,7769
12	422	35	1	23	309,56	208,40	251,55	1,4854	1,2071	0,8126	15,52	79,58	0,1950	15,60	62,53	0,2495	9,54	63,53	0,1502	0,5229	0,1998	1,0098	-0,8100
13	362	30	1	23	267,35	165,08	201,47	1,6195	1,2204	0,7536	11,51	61,00	0,1887	10,56	51,68	0,2043	11,51	47,59	0,2419	0,5218	0,2231	0,9870	-0,7639
14	883	73	0	23	300,85	205,04	230,17	1,4673	1,1226	0,7651	11,54	63,58	0,1815	11,57	51,58	0,2243	8,54	53,88	0,1585	0,4904	0,1914	0,9438	-0,7524
15	612	51	1	23	358,93	237,67	272,59	1,5102	1,1469	0,7595	12,51	75,51	0,1657	14,68	62,53	0,2348	11,20	60,57	0,1849	0,4983	0,2098	0,9532	-0,7434
16	296	24	0	23	345,50	230,34	237,54	1,5000	1,0313	0,6875	14,60	86,27	0,1692	19,67	80,98	0,2429	11,52	78,63	0,1465	0,4555	0,1947	0,8594	-0,6647
17	425	35	0	23	342,48	201,10	256,64	1,7030	1,2762	0,7494	19,31	103,29	0,1869	23,53	94,88	0,2480	14,54	74,03	0,1964	0,5314	0,2222	1,0128	-0,7906
18	297	24	1	23	320,50	221,59	259,12	1,4464	1,1694	0,8085	14,53	73,93	0,1965	12,52	64,56	0,1939	13,49	56,88	0,2372	0,5211	0,2155	0,9889	-0,7734
19	603	50	1	23	290,41	196,26	231,55	1,4797	1,1798	0,7973	10,63	73,14	0,1453	10,73	69,45	0,1545	8,49	55,52	0,1529	0,4860	0,1537	0,9886	-0,8349
20	648	54	0	23	355,48	255,35	286,49	1,3921	1,1220	0,8059	11,47	86,08	0,1332	13,52	66,56	0,2031	6,56	62,67	0,1047	0,4738	0,1539	0,9639	-0,8100
21	733	61	0	23	340,78	239,38	279,10	1,4236	1,1659	0,8190	15,61	102,47	0,1523	13,14	91,00	0,1444	10,55	86,20	0,1224	0,4808	0,1334	0,9925	-0,8591
22	374	31	0	23	329,49	201,60	242,17	1,6344	1,2012	0,7350	12,52	72,81	0,1720	9,52	57,51	0,1655	8,52	49,68	0,1715	0,4890	0,1685	0,9681	-0,7996
23	367	30	0	23	359,00	244,97	300,46	1,4655	1,2265	0,8369	12,47	88,44	0,1410	10,57	68,55	0,1542	8,59	61,08	0,1406	0,4999	0,1474	1,0317	-0,8843
24	391	32	1	23	308,86	192,89	223,00	1,6012	1,1561	0,7220	14,80	70,83	0,2090	11,56	65,70	0,1760	8,85	54,01	0,1639	0,4854	0,1699	0,9391	-0,7691
25	725	60	1	23	243,51	152,92	164,07	1,5924	1,0729	0,6738	13,00	61,49	0,2114	6,51	50,79	0,1282	6,53	53,51	0,1220	0,4417	0,1251	0,8733	-0,7482
26	662	55	0	23	359,95	251,39	290,21	1,4318	1,1544	0,8063	10,73	81,55	0,1316	13,30	78,94	0,1685	10,47	61,70	0,1697	0,4861	0,1691	0,9803	-0,8112
27	742	61	1	23	235,04	133,81	178,77	1,7565	1,3360	0,7606	10,80	67,56	0,1599	9,03	49,63	0,1819	6,51	43,73	0,1489	0,5175	0,1654	1,0483	-0,8829
28	260	21	1	23	325,79	226,38	265,96	1,4391	1,1748	0,8164	15,56	79,99	0,1945	14,64	57,34	0,2553	11,53	53,97	0,2136	0,5309	0,2345	0,9956	-0,7611
29	423	35	0	23	323,21	194,47	252,61	1,6620	1,2990	0,7816	16,53	62,77	0,2633	12,55	60,69	0,2068	12,53	59,46	0,2107	0,5523	0,2088	1,0403	-0,8315
30	373	31	0	23	343,39	248,35	265,53	1,3827	1,0692	0,7733	12,42	71,52	0,1737	13,76	60,18	0,2286	7,85	46,66	0,1682	0,4826	0,1984	0,9212	-0,7228
31	497	41	1	23	278,37	182,32	199,49	1,5268	1,0942	0,7166	10,60	62,65	0,1692	12,95	51,51	0,2514	9,54	41,47	0,2300	0,4923	0,2407	0,9054	-0,6647
32	380	31	1	23	315,51	202,24	251,77	1,5601	1,2449	0,7980	16,65	69,70	0,2389	13,55	60,49	0,2240	9,52	58,04	0,1640	0,5340	0,1940	1,0214	-0,8274
33	293	24	1	23	288,95	182,84	231,46	1,5803	1,2659	0,8010	13,81	68,52	0,2015	14,90	60,56	0,2460	13,69	50,51	0,2710	0,5571	0,2585	1,0335	-0,7749
34	331	27	1	23	340,49	222,40	277,50	1,5310	1,2478	0,8150	16,85	77,50	0,2174	11,50	73,51	0,1564	10,47	59,70	0,1754	0,5224	0,1659	1,0314	-0,8655
35	731	60	1	23	305,56	193,52	237,46	1,5790	1,2271	0,7771	9,55	61,99	0,1541	11,44	52,84	0,2165	10,78	45,94	0,2347	0,5219	0,2256	1,0021	-0,7765
36	736	61	1	23	275,55	175,55	228,50	1,5696	1,3016	0,8293	15,06	79,25	0,1900	12,51	65,61	0,1907	9,64	58,52	0,1647	0,5353	0,1777	1,0654	-0,8877
37	588	49	0	23	244,29	145,14	179,47	1,6831	1,2365	0,7347	16,53	90,68	0,1823	12,62	76,34	0,1653	12,57	80,63	0,1559	0,4949	0,1606	0,9856	-0,8250
38	589	49	1	23	234,05	139,55	196,83	1,6772	1,4105	0,8410	11,75	66,55	0,1766	11,74	45,52	0,2579	11,45	45,27	0,2529	0,5878	0,2554	1,1257	-0,8703
39	347	28	0	23	302,97	198,52	239,40	1,5261	1,2059	0,7902	12,57	73,91	0,1701	17,35	70,62	0,2457	13,48	63,53	0,2122	0,5248	0,2289	0,9981	-0,7691
40	284	23	0	23	321,09	217,82	267,03	1,4741	1,2259	0,8316	15,54	76,15	0,2041	19,87	75,49	0,2632	14,51	64,51	0,2249	0,5500	0,2441	1,0288	-0,7847
41	306	25	1	23	360,18	266,46	294,30	1,3517	1,1045	0,8171	17,49	73,56	0,2378	10,74	55,86	0,1923	11,66	60,73	0,1920	0,5087	0,1921	0,9608	-0,7687
42	507	42	0	23	314,47	212,49	248,48	1,4799	1,1694	0,7902	10,54	73,30	0,1438	13,57	63,51	0,2137	9,55	49,21	0,1941	0,5022	0,2039	0,9798	-0,7759
43	274	22	1	23	338,37	246,49	280,44	1,3728	1,1377	0,8288	13,75	76,17	0,1805	15,68	57,94	0,2706	14,63	51,52	0,2840	0,5403	0,2773	0,9833	-0,7060
44	489	40	1	23	348,46	240,11	307,55	1,4513	1,2809	0,8826	15,65	73,27	0,2136	12,16	63,52	0,1914	6,54	48,31	0,1354	0,5408	0,1634	1,0817	-0,9183
45	494	41	1	23	338,50	229,19	274,38	1,4769	1,1972	0,8106	15,36	69,61	0,2207	7,70	60,54	0,1272	6,71	45,49	0,1475	0,5006	0,1373	1,0039	-0,8665
46	502	41	1	23	311,96	198,48	256,42	1,5717	1,2919	0,8220	9,55	68,57	0,1393	10,54	58,17	0,1812	9,66	43,51	0,2220	0,5313	0,2016	1,0569	-0,8553
47	521	44	1	23	332,28	231,18	275,37	1,4373	1,1911	0,8287	12,82	68,84	0,1862	9,42	58,58	0,1608	8,50	43,64	0,1948	0,5123	0,1778	1,0099	-0,8321
48	780	65	0	23	326,07	218,45	254,50	1,4927	1,1650	0,7805	16,69	69,90	0,2388	13,48	61,55	0,2190	7,78	35,96	0,2164	0,5239	0,2177	0,9728	-0,7551
49	581	48	1	23	324,27	217,20	266,44	1,4930	1,2267	0,8217	14,48	78,20	0,1852	9,53	68,12	0,1399	6,76	55,30	0,1222	0,4991	0,1311	1,0242	-0,8931
50	538	44	0	23	325,38	229,40	244,39	1,4184	1,0653	0,7511	20,56	107,49	0,1913	22,86	89,52	0,2554	13,71	71,02	0,1930	0,4912	0,2242	0,9082	-0,6840
51	800	66	0	23	287,44	185,48	232,37	1,5497	1,2528	0,8084	15,53	76,48	0,1377	14,58	66,94	0,2178	12,40	62,54	0,1983	0,5032	0,2080	1,0306	-0,8226
52	592	49	1	23	329,92	221,56	256,50	1,4891	1,1577	0,7775	10,60	70,62	0,1501	13,51	56,60	0,2387	9,50	45,57	0,2085	0,5065	0,2236	0,9676	-0,7440
53	620	51	0	23	322,40	222,47	261,48	1,4492	1,1753	0,8110	11,29	68,55	0,1647	12,54	66,44	0,1887	13,76	57,52	0,2392	0,5158	0,2140	0,9932	-0,7792
54	787	65	1	23	345,52	245,40	283,44	1,4080	1,1550	0,8203	14,50	72,62	0,1997	12,62	55,56	0,2271							

Estimativa Médico-Legal da Idade pela Proporção Polpa/Dente numa População Portuguesa: Comparação entre o Método de Cameriere e o Método de Kvaal em Caninos

72	350	29	1	23	329,54	230,45	257,31	1,4300	1,1166	0,7808	11,52	75,46	0,1527	14,42	64,46	0,2237	10,50	64,43	0,1630	0,4873	0,1933	0,9487	-0,7553
73	371	30	1	23	249,79	146,22	191,14	1,7083	1,3072	0,7652	19,43	73,32	0,2650	12,24	55,54	0,2204	12,50	47,89	0,2610	0,5638	0,2407	1,0362	-0,7955
74	718	59	1	23	292,51	194,50	234,82	1,5039	1,2073	0,8028	10,18	51,09	0,1993	8,30	46,49	0,1785	4,51	39,00	0,1156	0,5007	0,1471	1,0050	-0,8580
75	637	53	0	23	273,28	165,49	192,48	1,6513	1,1631	0,7043	11,19	73,37	0,1525	13,44	61,17	0,2197	15,59	57,53	0,2710	0,5021	0,2454	0,9337	-0,6884
76	392	32	1	23	392,54	244,44	320,36	1,6059	1,3106	0,8161	22,28	92,95	0,2397	12,61	67,66	0,1864	14,40	67,91	0,2120	0,5530	0,1992	1,0634	-0,8641
77	401	33	1	23	352,74	208,22	293,45	1,6941	1,4093	0,8319	15,61	93,31	0,1673	13,45	68,27	0,1970	13,87	55,57	0,2496	0,5710	0,2233	1,1206	-0,8973
78	681	56	1	23	317,94	218,38	257,51	1,4559	1,1792	0,8099	14,83	83,44	0,1777	13,59	79,94	0,1700	9,54	59,51	0,1603	0,4994	0,1652	0,9946	-0,8294
79	534	44	1	23	309,44	211,63	216,91	1,4622	1,0249	0,7010	11,91	58,32	0,2042	11,58	52,52	0,2205	11,54	48,56	0,2376	0,4777	0,2291	0,8630	-0,6339
80	805	67	1	23	323,53	219,89	247,90	1,4713	1,1274	0,7662	14,23	69,35	0,2052	12,11	65,28	0,1855	8,61	51,51	0,1672	0,4903	0,1763	0,9468	-0,7705
81	359	29	0	23	331,46	207,98	250,86	1,5937	1,2062	0,7568	15,56	74,64	0,2085	13,53	59,69	0,2267	9,74	52,47	0,1856	0,5168	0,2062	0,9815	-0,7754
82	454	37	0	23	354,33	240,78	272,52	1,4716	1,1318	0,7691	15,53	85,30	0,1832	16,99	72,50	0,2343	13,52	71,49	0,1891	0,5015	0,2117	0,9505	-0,7387
83	521	43	1	23	296,91	202,51	226,09	1,4661	1,1164	0,7615	15,45	68,42	0,2258	12,63	68,07	0,1855	13,81	60,88	0,2268	0,5032	0,2062	0,9390	-0,7328
84	486	40	1	23	280,71	191,77	207,45	1,4638	1,0818	0,7390	9,88	60,51	0,1633	7,52	53,72	0,1400	6,57	43,48	0,1511	0,4550	0,1455	0,9104	-0,7648
85	479	39	1	23	252,83	164,62	190,57	1,5358	1,1576	0,7537	14,51	66,19	0,2192	12,50	58,60	0,2133	12,74	56,56	0,2252	0,5138	0,2193	0,9557	-0,7364
86	508	42	1	23	347,45	253,41	277,94	1,3711	1,0968	0,7999	13,61	65,82	0,2068	9,37	58,52	0,1601	9,97	49,55	0,2012	0,4930	0,1807	0,9484	-0,7677
87	517	43	1	23	284,21	196,44	227,91	1,4468	1,1602	0,8019	12,66	74,70	0,1695	9,71	63,83	0,1521	12,86	62,04	0,2073	0,4982	0,1797	0,9811	-0,8014
88	750	62	1	23	286,81	177,68	223,16	1,6142	1,2560	0,7781	19,68	68,85	0,2858	22,54	66,95	0,3367	15,04	58,54	0,2569	0,5827	0,2968	1,0170	-0,7202
89	771	64	1	23	308,39	201,40	247,60	1,5312	1,2294	0,8029	14,68	67,66	0,2170	10,94	63,38	0,1726	9,50	59,84	0,1588	0,5161	0,1657	1,0161	-0,8505
90	568	47	1	23	259,21	179,45	200,56	1,4445	1,1176	0,7737	15,28	64,98	0,2351	13,59	59,52	0,2283	14,18	55,57	0,2552	0,5220	0,2418	0,9457	-0,7039
91	703	58	1	23	326,74	223,53	275,80	1,4617	1,2338	0,8441	15,64	73,56	0,2126	11,53	59,08	0,1952	12,87	59,38	0,2167	0,5405	0,2059	1,0390	-0,8330
92	345	28	1	23	322,46	202,21	243,27	1,5947	1,2031	0,7544	17,62	80,90	0,2178	13,62	72,57	0,1877	13,61	59,50	0,2287	0,5183	0,2082	0,9787	-0,7705
93	316	26	0	23	337,55	212,08	247,51	1,5916	1,1671	0,7333	18,70	86,35	0,2166	14,48	81,43	0,1778	16,56	73,57	0,2251	0,5040	0,2015	0,9502	-0,7487
94	615	51	0	23	344,77	244,56	271,29	1,4098	1,1093	0,7869	14,60	78,33	0,1864	17,26	74,84	0,2306	12,86	65,59	0,1961	0,5019	0,2133	0,9481	-0,7347
95	678	56	0	23	271,59	181,42	206,02	1,4970	1,1356	0,7586	16,63	55,89	0,2975	10,41	47,96	0,2171	10,40	46,41	0,2241	0,5266	0,2206	0,9471	-0,7265
96	610	50	1	23	326,51	226,27	265,03	1,4430	1,1713	0,8117	13,53	63,55	0,2129	10,53	56,99	0,1848	11,47	54,23	0,2115	0,5184	0,1981	0,9915	-0,7934
97	359	29	0	23	310,50	191,43	233,13	1,6220	1,2178	0,7508	16,44	75,41	0,2180	14,51	63,41	0,2288	10,55	58,43	0,1806	0,5192	0,2047	0,9843	-0,7796
98	308	25	1	23	315,97	216,63	266,48	1,4586	1,2301	0,8434	18,50	77,86	0,2376	15,76	69,66	0,2262	15,46	62,39	0,2478	0,5570	0,2370	1,0367	-0,7997
99	667	55	0	23	365,46	256,88	272,13	1,4227	1,0594	0,7446	12,51	73,44	0,1703	13,25	61,51	0,2154	12,50	62,31	0,2006	0,4781	0,2080	0,9020	-0,6940
100	700	58	0	23	350,58	224,34	261,37	1,5627	1,1651	0,7455	16,69	83,75	0,1993	15,78	72,53	0,2176	11,67	66,50	0,1755	0,5006	0,1965	0,9553	-0,7588
101	750	62	0	23	301,47	211,15	223,47	1,4278	1,0583	0,7413	15,40	72,67	0,1982	11,48	64,28	0,1786	10,98	50,10	0,2192	0,4791	0,1989	0,8998	-0,7009
102	506	42	1	23	315,59	218,50	232,27	1,4443	1,0630	0,7360	16,69	74,44	0,2108	12,33	61,34	0,2010	10,52	51,54	0,2041	0,4830	0,2026	0,8995	-0,6969
103	674	56	1	23	264,76	169,44	209,49	1,5626	1,2364	0,7912	16,44	59,68	0,2755	11,21	36,50	0,3071	11,60	47,09	0,2463	0,5713	0,2767	1,0138	-0,7371
104	567	47	0	23	358,41	232,97	266,69	1,5384	1,1447	0,7441	17,77	83,49	0,2128	13,65	69,51	0,1964	14,76	60,74	0,2430	0,5082	0,2197	0,9444	-0,7247
105	618	51	0	23	354,47	232,61	297,86	1,5239	1,2805	0,8403	15,37	82,24	0,1869	12,37	69,20	0,1788	11,64	62,48	0,1863	0,5346	0,1825	1,0604	-0,8779
106	460	38	1	23	309,88	203,17	243,13	1,5252	1,1967	0,7846	19,54	81,80	0,2389	17,94	72,59	0,2471	18,64	57,36	0,3250	0,5585	0,2861	0,9906	-0,7046
107	366	30	1	23	345,18	235,04	280,25	1,4686	1,1924	0,8119	16,75	81,47	0,2056	13,27	59,89	0,2216	12,61	47,97	0,2629	0,5389	0,2422	1,0021	-0,7599
108	332	27	0	23	286,50	186,13	228,28	1,5392	1,2265	0,7968	24,08	81,50	0,2955	19,79	71,72	0,2759	13,51	63,78	0,2118	0,5613	0,2439	1,0116	-0,7677
109	745	62	0	23	315,47	195,85	232,02	1,6108	1,1847	0,7355	23,09	85,73	0,2693	12,08	57,61	0,2097	11,52	56,61	0,2035	0,5205	0,2066	0,9601	-0,7535
110	431	35	0	23	301,62	183,72	207,70	1,6417	1,1305	0,6886	12,41	72,56	0,1710	16,52	62,41	0,2647	10,77	50,48	0,2134	0,4936	0,2390	0,9096	-0,6705
111	322	26	1	23	315,34	205,37	228,22	1,5355	1,1113	0,7237	13,57	75,69	0,1793	14,48	59,68	0,2426	10,60	58,98	0,1797	0,4873	0,2112	0,9175	-0,7063
112	326	27	1	23	334,59	221,13	269,08	1,5131	1,2168	0,8042	17,83	80,77	0,2208	17,02	72,13	0,2360	12,23	52,60	0,2325	0,5421	0,2342	1,0105	-0,7763
113	379	32	1	23	346,47	240,06	275,54	1,4433	1,1478	0,7953	13,56	74,16	0,1828	16,42	66,55	0,2467	13,65	64,92	0,2103	0,5166	0,2285	0,9715	-0,7430
114	556	46	1	23	310,99	201,48	257,08	1,5435	1,2760	0,8267	40,90	82,64	0,4949	21,71	74,51	0,2914	16,93	64,48	0,2626	0,6303	0,2770	1,0513	-0,7743
115	411	34	0	23	346,63	219,71	249,40	1,5777	1,1351	0,7195	18,40	69,50	0,2647	10,55	61,52	0,1715	11,60	58,42	0,1986	0,4979	0,1850	0,9273	-0,7423
116	817	68	0	23	323,14	216,42	273,54	1,4931	1,2639	0,8465	22,69	74,27	0,3055	16,59	71,39	0,2324	13,35	51,68	0,2583	0,5813	0,2454	1,0552	-0,8099
117	639	53	1	23	314,53	229,11	268,63	1,3728	1,1725	0,8541	15,49	67,52	0,2294	11,19	54,46	0,2055	12,86	54,26	0,2370	0,5397	0,2212	1,0133	-0,7920
118	532	44	1	23	262,54	157,84	218,34	1,6633	1,3833	0,8316	16,79	72,26	0,2324	14,10	59,51	0,2369	8,62	63,53	0,1357	0,5640	0,1863	1,1075	-0,9212
119	524	43	1	23	352,50	232,26	282,38	1,5177	1,2158	0,8011	17,79	78,51	0,2266	12,52	66,12	0,1894	11,81	57,69	0,2047	0,5275	0,1970	1,0084	-0,8114
120	867	72	0	23	361,54	227,90	304,93	1,5864	1,3380	0,8434	20,99	101,61	0,2066	12,18	81,48	0,1495	12,13	68,99	0,1758	0,5427	0,1627	1,0907	-0,9281
121	874	72	1	23	286,58	185,82	216,73	1,5422	1,1663	0,7563	7,04	69,31	0,1016	11,10	49,56	0,2240	9,68	49,52	0,1955	0,4887	0,2097	0,9613	-0,7516
122	362	30	1	23	324,25	203,61	253,57	1,5925	1,2454	0,7820	16,28												

Estimativa Médico-Legal da Idade pela Proporção Polpa/Dente numa População Portuguesa: Comparação entre o Método de Cameriere e o Método de Kvaal em Caninos

140	258	21	1	23	339,46	222,29	273,68	1,5271	1,2312	0,8062	20,55	83,68	0,2456	15,69	67,49	0,2325	12,59	56,52	0,2228	0,5476	0,2276	1,0187	-0,7911
141	722	60	0	23	350,68	211,57	275,29	1,6575	1,3012	0,7850	20,63	93,33	0,2210	20,52	88,66	0,2314	16,53	67,17	0,2461	0,5570	0,2388	1,0431	-0,8043
142	764	63	1	23	291,93	202,71	240,47	1,4401	1,1863	0,8237	16,33	80,13	0,2038	14,46	70,46	0,2052	15,75	61,63	0,2556	0,5349	0,2304	1,0050	-0,7746
143	411	34	0	23	346,57	250,50	296,94	1,3835	1,1854	0,8568	28,48	76,58	0,3719	21,05	81,47	0,2584	17,51	65,47	0,2675	0,5880	0,2629	1,0211	-0,7582
144	577	48	0	23	345,45	231,33	291,33	1,4933	1,2594	0,8433	15,53	79,47	0,1954	14,37	63,39	0,2267	12,56	51,79	0,2425	0,5535	0,2346	1,0514	-0,8167
145	305	25	1	23	276,67	187,37	241,27	1,4766	1,2877	0,8720	22,77	71,46	0,3186	22,73	65,62	0,3464	15,47	52,45	0,2949	0,6239	0,3207	1,0799	-0,7592
146	373	31	1	23	354,48	241,79	298,87	1,4661	1,2361	0,8431	23,74	81,15	0,2925	17,58	74,62	0,2356	17,73	62,52	0,2836	0,5782	0,2596	1,0396	-0,7800
147	295	24	1	23	326,19	215,59	272,45	1,5130	1,2637	0,8352	19,35	80,46	0,2405	18,67	70,55	0,2646	14,53	66,03	0,2201	0,5648	0,2423	1,0495	-0,8072
148	405	33	0	23	388,52	267,50	322,12	1,4524	1,2042	0,8291	17,83	73,53	0,2425	12,47	62,17	0,2006	9,61	61,50	0,1563	0,5265	0,1784	1,0166	-0,8382
149	342	28	1	23	297,45	202,59	220,44	1,4682	1,0881	0,7411	12,49	65,52	0,1906	12,75	55,53	0,2296	8,90	45,47	0,1957	0,4890	0,2127	0,9146	-0,7019
150	364	30	1	23	325,58	216,46	253,14	1,5041	1,1695	0,7775	12,52	58,97	0,2123	12,66	54,45	0,2325	6,69	57,58	0,1162	0,5016	0,1743	0,9735	-0,7991
151	704	58	0	23	288,85	176,10	219,08	1,6403	1,2441	0,7585	20,23	83,11	0,2434	17,62	89,03	0,1979	13,28	76,90	0,1727	0,5233	0,1853	1,0013	-0,8160
152	716	59	0	23	391,44	267,52	320,10	1,4632	1,1965	0,8177	25,59	88,51	0,2891	18,70	81,57	0,2293	19,77	82,38	0,2400	0,5545	0,2346	1,0071	-0,7725
153	678	56	1	23	342,29	226,98	269,49	1,5080	1,1873	0,7873	13,53	88,24	0,1533	11,67	66,82	0,1746	17,67	57,27	0,3085	0,5222	0,2416	0,9873	-0,7457
154	301	25	0	23	362,69	247,48	295,15	1,4655	1,1926	0,8138	27,81	93,57	0,2972	24,76	76,60	0,3232	18,18	71,52	0,2542	0,5762	0,2887	1,0032	-0,7145
155	360	30	0	23	372,47	252,48	300,80	1,4752	1,1914	0,8076	20,67	100,79	0,2051	16,58	67,59	0,2453	10,62	59,35	0,1789	0,5257	0,2121	0,9995	-0,7874
156	668	55	0	23	307,68	207,95	252,92	1,4796	1,2163	0,8220	13,01	62,55	0,2080	12,54	58,15	0,2156	11,43	56,22	0,2033	0,5330	0,2095	1,0191	-0,8097
157	736	61	0	23	321,71	205,41	252,38	1,5662	1,2287	0,7845	10,83	70,58	0,1534	11,57	60,37	0,1917	11,61	54,76	0,2120	0,5141	0,2018	1,0066	-0,8047
158	347	28	1	23	287,09	190,87	228,49	1,5041	1,1971	0,7959	16,54	65,56	0,2523	13,12	55,33	0,2371	10,57	48,51	0,2179	0,5401	0,2275	0,9965	-0,7690
159	404	33	1	23	314,57	203,50	216,13	1,5458	1,0621	0,6871	12,40	68,75	0,1804	13,67	64,14	0,2131	11,51	53,52	0,2151	0,4715	0,2141	0,8746	-0,6605
160	481	40	1	23	321,20	215,43	261,69	1,4910	1,2147	0,8147	17,53	72,54	0,2417	13,65	68,83	0,1983	12,49	64,49	0,1937	0,5326	0,1960	1,0147	-0,8187
161	377	31	1	23	278,37	177,64	220,20	1,5670	1,2396	0,7910	16,51	68,50	0,2410	13,56	60,92	0,2226	16,37	53,03	0,3087	0,5606	0,2656	1,0153	-0,7497
162	862	71	0	23	370,03	222,37	280,00	1,6640	1,2592	0,7567	26,55	95,75	0,2773	18,54	100,31	0,1848	23,56	87,28	0,2699	0,5496	0,2274	1,0079	-0,7805
163	866	72	0	23	331,03	183,09	254,46	1,8080	1,3898	0,7687	35,55	112,53	0,3159	26,55	100,12	0,2652	21,85	88,50	0,2469	0,5973	0,2560	1,0792	-0,8232
164	460	38	1	23	297,07	195,12	237,39	1,5225	1,2166	0,7991	17,31	79,45	0,2179	15,05	69,44	0,2167	14,58	51,68	0,2821	0,5465	0,2494	1,0079	-0,7584
165	254	21	1	23	356,59	230,86	281,24	1,5446	1,2182	0,7887	18,78	87,22	0,2153	17,74	63,92	0,2775	14,52	63,86	0,2274	0,5454	0,2525	1,0035	-0,7510
166	309	25	1	23	337,66	237,06	275,23	1,4244	1,1610	0,8151	12,72	71,53	0,1778	12,94	67,49	0,1917	10,08	56,26	0,1792	0,5050	0,1855	0,9881	-0,8026
167	484	40	1	23	325,16	214,49	251,29	1,5160	1,1716	0,7728	14,89	72,35	0,2058	12,76	63,64	0,2005	8,54	57,99	0,1473	0,4996	0,1739	0,9722	-0,7983
168	503	41	1	23	325,36	214,27	254,95	1,5185	1,1899	0,7836	16,66	78,71	0,2117	16,71	61,24	0,2729	16,57	59,06	0,2806	0,5477	0,2767	0,9867	-0,7100
169	366	30	1	23	313,51	212,15	247,17	1,4778	1,1651	0,7884	17,94	74,85	0,2397	18,87	74,15	0,2545	17,57	54,98	0,3196	0,5534	0,2870	0,9767	-0,6897
170	396	33	1	23	319,71	212,24	266,88	1,5064	1,2574	0,8348	18,34	79,21	0,2315	23,49	69,52	0,3379	14,97	71,21	0,2102	0,5744	0,2741	1,0461	-0,7720
171	667	55	1	23	345,83	231,15	298,28	1,4961	1,2904	0,8625	21,67	81,44	0,2661	20,64	65,69	0,3142	15,58	57,40	0,2714	0,6009	0,2928	1,0765	-0,7836
172	340	28	1	23	329,11	220,48	252,72	1,4927	1,1462	0,7679	18,53	74,22	0,2650	12,53	58,18	0,2154	0,5288	0,2402	0,5288	0,2928	0,9571	1,0169	-0,7167
173	511	42	0	23	292,35	174,53	223,55	1,6751	1,2809	0,7647	26,49	79,29	0,3341	15,69	66,15	0,2372	15,41	59,66	0,2583	0,5750	0,2477	1,0228	-0,7750
174	393	32	1	23	353,28	236,41	289,69	1,4944	1,2254	0,8200	15,51	78,92	0,1965	12,54	79,11	0,1585	14,54	74,54	0,1951	0,5191	0,1768	1,0227	-0,8459
175	590	49	1	23	385,52	276,49	320,42	1,3943	1,1589	0,8311	14,51	78,82	0,1841	16,53	70,08	0,2359	15,48	60,91	0,2541	0,5328	0,2450	0,9950	-0,7500
176	661	55	0	23	289,38	192,57	229,34	1,5027	1,1909	0,7925	19,69	76,46	0,2575	22,53	71,52	0,3150	13,54	61,48	0,2202	0,5552	0,2676	0,9917	-0,7241
177	912	76	0	23	324,01	213,40	267,38	1,5183	1,2530	0,8252	16,14	71,16	0,2268	17,36	67,77	0,2562	14,16	72,66	0,1949	0,5512	0,2255	1,0391	-0,8136
178	437	36	1	23	298,36	198,46	252,50	1,5034	1,2723	0,8463	13,65	69,31	0,1969	10,61	56,35	0,1883	13,78	52,64	0,2618	0,5531	0,2250	1,0593	-0,8343
179	985	82	1	23	284,31	192,50	217,22	1,4769	1,1284	0,7640	14,66	66,41	0,2207	25,15	61,53	0,4087	18,70	61,68	0,3032	0,5650	0,3560	0,9462	-0,5903
180	313	26	1	23	344,64	240,17	284,52	1,4350	1,1847	0,8256	19,36	68,10	0,2843	13,72	61,73	0,2223	9,36	44,89	0,2085	0,5451	0,2154	1,0051	-0,7897
181	405	33	0	23	309,03	177,49	253,49	1,7411	1,4282	0,8203	17,14	74,28	0,2307	13,97	69,60	0,2007	11,58	58,29	0,1987	0,5757	0,1997	1,1242	-0,9245
182	683	56	1	23	295,30	182,28	238,39	1,6200	1,3078	0,8073	19,51	86,80	0,2248	13,40	71,18	0,1883	14,54	57,69	0,2520	0,5560	0,2201	1,0576	-0,8374
183	284	23	1	23	297,41	190,45	231,00	1,5616	1,2129	0,7767	16,99	74,38	0,2284	19,95	60,25	0,3311	12,55	54,62	0,2298	0,5558	0,2804	0,9948	-0,7144
184	476	39	0	23	358,54	244,06	291,42	1,4691	1,1941	0,8128	23,31	86,63	0,2691	16,98	77,96	0,2178	14,78	67,62	0,2186	0,5425	0,2182	1,0034	-0,7852
185	480	40	0	23	351,47	233,60	286,19	1,5046	1,2251	0,8143	26,80	84,98	0,3154	17,52	85,47	0,2050	16,57	83,59	0,1982	0,5516	0,2016	1,0197	-0,8181
186	300	25	1	23	331,81	227,04	259,45	1,4615	1,1428	0,7819	13,45	71,43	0,1883	13,73	68,62	0,2001	15,31	62,51	0,2449	0,5116	0,2225	0,9623	-0,7398
187	663	55	1	23	278,97	179,08	233,37	1,5578	1,3032	0,8365	23,19	72,52	0,3198	16,26	71,25	0,2282	20,51	67,44	0,3041	0,5984	0,2662	1,0699	-0,8037
188	379	31	1	23	324,36	221,47	252,84	1,4646	1,1416	0,7795	18,74	83,85	0,2235	12,76	78,31	0,1629	12,65	64,49	0,1962	0,5007	0,1795	0,9606	-0,7810
189	310	26	1	23	322,92	194,06	221,18	1,6640	1,1398	0,6849	20,77	78,63	0,2641	16,17	70,65	0,2289	14,42	60,51	0,2383	0,5112	0,2336	0,9123	-0,6788
190	387	32	0	23	309,92	196,47	217,48	1,															

Estimativa Médico-Legal da Idade pela Proporção Polpa/Dente numa População Portuguesa: Comparação entre o Método de Cameriere e o Método de Kvaal em Caninos

8	281	23	0	33	340,57	219,30	271,51	1,5530	1,2381	0,7972	14,50	91,59	0,1583	11,58	84,53	0,1370	11,72	70,53	0,1662	0,4994	0,1516	1,0176	-0,8661
9	413	34	0	33	309,81	213,76	244,09	1,4493	1,1419	0,7879	16,52	74,66	0,2213	16,73	77,52	0,2158	12,50	75,12	0,1664	0,5066	0,1911	0,9649	-0,7738
10	493	41	0	33	310,22	238,47	251,35	1,3009	1,0540	0,8102	13,49	68,62	0,1966	15,50	75,85	0,2044	10,59	65,51	0,1617	0,4854	0,1830	0,9321	-0,7491
11	600	50	1	33	338,37	221,48	270,51	1,5278	1,2214	0,7995	16,36	79,58	0,2056	9,01	73,06	0,1233	9,76	75,47	0,1293	0,4958	0,1263	1,0104	-0,8841
12	422	35	1	33	362,54	247,27	294,64	1,4662	1,1916	0,8127	16,54	77,51	0,2134	18,53	72,50	0,2556	13,42	63,58	0,2111	0,5369	0,2333	1,0021	-0,7688
13	362	30	1	33	282,20	189,01	209,45	1,4930	1,1081	0,7422	10,51	62,61	0,1679	8,66	53,52	0,1618	4,51	45,40	0,0993	0,4559	0,1306	0,9252	-0,7946
14	883	73	0	33	294,34	195,56	227,70	1,5051	1,1643	0,7736	8,54	55,47	0,1540	8,05	44,82	0,1796	8,53	45,51	0,1874	0,4918	0,1835	0,9690	-0,7855
15	612	51	1	33	315,48	209,57	245,03	1,5054	1,1692	0,7767	15,70	73,43	0,2138	11,50	66,82	0,1721	11,03	55,07	0,2003	0,5064	0,1862	0,9729	-0,7867
16	296	24	0	33	307,24	212,96	241,67	1,4427	1,1348	0,7866	18,50	85,20	0,2171	12,65	90,28	0,1401	12,35	86,47	0,1428	0,4843	0,1415	0,9607	-0,8192
17	425	35	0	33	318,69	214,84	236,52	1,4834	1,1009	0,7422	16,51	74,53	0,2215	18,49	72,50	0,2550	14,40	66,47	0,2166	0,5073	0,2358	0,9215	-0,6857
18	297	24	1	33	255,38	146,26	188,56	1,7461	1,2892	0,7384	13,54	61,95	0,2186	12,08	58,61	0,2051	12,33	60,53	0,2037	0,5312	0,2049	1,0138	-0,8089
19	603	50	1	33	262,58	173,54	193,71	1,5131	1,1162	0,7377	10,56	70,02	0,1508	7,52	61,54	0,1222	9,59	50,62	0,1895	0,4633	0,1558	0,9270	-0,7711
20	648	54	0	33	300,98	204,16	222,56	1,4742	1,0901	0,7395	14,52	68,55	0,2118	7,52	67,51	0,1114	9,54	54,28	0,1758	0,4657	0,1436	0,9148	-0,7712
21	733	61	0	33	295,84	196,28	226,05	1,5072	1,1517	0,7641	19,62	88,41	0,2219	11,61	83,27	0,1394	11,70	66,89	0,1749	0,4904	0,1572	0,9579	-0,8007
22	374	31	0	33	317,98	209,89	240,50	1,5150	1,1458	0,7563	11,95	75,13	0,1591	8,79	69,24	0,1259	8,54	64,50	0,1324	0,4641	0,1297	0,9511	-0,8214
23	367	30	0	33	296,11	209,04	238,05	1,4165	1,1388	0,8039	13,58	77,56	0,1751	12,33	76,48	0,1612	11,96	69,57	0,1709	0,4902	0,1665	0,9714	-0,8048
24	391	32	1	33	228,33	152,45	179,91	1,4977	1,1801	0,7879	9,76	62,78	0,1555	9,05	54,54	0,1659	6,16	49,60	0,1242	0,4827	0,1451	0,9840	-0,8390
25	725	60	1	33	266,07	215,26	186,53	1,2360	0,8665	0,7011	11,55	53,47	0,2160	11,51	58,99	0,1951	9,52	41,78	0,2279	0,4413	0,2115	0,7838	-0,5723
26	662	55	0	33	285,98	192,77	225,34	1,4835	1,1690	0,7880	13,51	74,53	0,1720	13,54	65,90	0,2055	10,51	51,87	0,2026	0,5074	0,2040	0,9785	-0,7744
27	742	61	1	33	286,75	208,55	236,22	1,3750	1,1327	0,8238	8,57	56,76	0,1510	11,53	48,16	0,2394	8,52	47,57	0,1791	0,5052	0,2093	0,9782	-0,7690
28	260	21	1	33	279,79	201,91	232,56	1,3857	1,1518	0,8312	14,50	83,86	0,1729	17,58	68,74	0,2557	13,83	76,11	0,1817	0,5187	0,2187	0,9915	-0,7728
29	423	35	0	33	277,46	206,97	226,45	1,3406	1,0941	0,8162	13,57	55,45	0,2447	10,18	54,99	0,1851	7,82	53,57	0,1460	0,4972	0,1656	0,9551	-0,7896
30	373	31	0	33	288,97	177,72	208,56	1,6260	1,1735	0,7217	12,50	80,21	0,1558	14,57	69,51	0,2096	12,83	60,78	0,2111	0,4944	0,2103	0,9476	-0,7373
31	497	41	1	33	313,85	206,02	245,51	1,5234	1,1917	0,7823	12,60	63,62	0,1981	13,50	59,61	0,2235	10,59	60,50	0,1750	0,5147	0,2008	0,9870	-0,7862
32	380	31	1	33	292,48	202,61	227,43	1,4436	1,1225	0,7776	13,61	63,94	0,2129	12,53	58,55	0,2140	9,50	52,52	0,1809	0,5016	0,1974	0,9500	-0,7526
33	293	24	1	33	324,61	238,42	270,45	1,3615	1,1343	0,8332	10,99	62,73	0,1752	7,50	60,32	0,1243	8,12	39,84	0,2038	0,4942	0,1641	0,9837	-0,8197
34	331	27	1	33	309,61	226,15	256,49	1,3690	1,1342	0,8284	16,69	69,42	0,2404	9,52	65,99	0,1443	11,45	56,57	0,2024	0,5099	0,1733	0,9813	-0,8080
35	731	60	1	33	273,87	187,13	225,53	1,4635	1,2052	0,8235	9,55	61,48	0,1553	8,55	57,52	0,1486	8,47	51,90	0,1632	0,4992	0,1559	1,0143	-0,8584
36	736	61	1	33	297,58	193,88	232,58	1,5349	1,1996	0,7816	14,41	68,34	0,2109	11,58	59,53	0,1945	16,51	48,15	0,3429	0,5459	0,2687	0,9906	-0,7219
37	588	49	0	33	339,34	239,95	282,94	1,4142	1,1792	0,8338	16,56	78,27	0,2116	16,50	71,18	0,2318	13,52	64,97	0,2081	0,5329	0,2200	1,0065	-0,7865
38	589	49	1	33	273,56	185,29	208,34	1,4764	1,1244	0,7616	16,62	75,71	0,2195	16,42	70,63	0,2325	13,36	65,60	0,2037	0,5083	0,2181	0,9430	-0,7249
39	347	28	0	33	310,24	200,40	240,63	1,5481	1,2007	0,7756	14,76	77,94	0,1894	13,51	67,52	0,2031	10,63	62,92	0,1689	0,5070	0,1845	0,9882	-0,8037
40	284	23	0	33	351,29	239,04	288,72	1,4696	1,2078	0,8219	16,48	71,52	0,2304	14,37	62,85	0,2286	9,91	56,59	0,1751	0,5328	0,2019	1,0149	-0,8130
41	306	25	1	33	289,56	204,46	231,16	1,4162	1,1306	0,7983	12,73	70,85	0,1797	10,53	54,55	0,1930	13,50	52,45	0,2574	0,5118	0,2252	0,9645	-0,7392
42	507	42	0	33	302,42	212,31	247,04	1,4244	1,1636	0,8169	14,02	64,51	0,2173	9,58	60,30	0,1589	12,80	51,75	0,2473	0,5208	0,2031	0,9902	-0,7871
43	274	22	1	33	295,24	211,32	249,26	1,3971	1,1795	0,8443	15,52	70,47	0,2202	14,75	61,56	0,2396	16,63	51,52	0,3228	0,5613	0,2812	1,0119	-0,7307
44	489	40	1	33	263,46	194,55	203,48	1,3542	1,0459	0,7723	16,55	67,66	0,2446	4,51	62,96	0,0716	7,54	56,59	0,1332	0,4535	0,1024	0,9091	-0,8067
45	494	41	1	33	316,66	238,39	268,46	1,3283	1,1261	0,8478	15,53	61,77	0,2514	9,38	48,76	0,1924	7,64	44,49	0,1717	0,5179	0,1820	0,9870	-0,8049
46	502	41	1	33	294,34	215,09	228,95	1,3685	1,0644	0,7778	9,53	53,50	0,1781	6,85	43,62	0,1570	5,50	36,26	0,1517	0,4658	0,1544	0,9211	-0,7668
47	521	44	1	33	287,35	211,64	227,01	1,3577	1,0726	0,7900	12,48	56,02	0,2228	4,65	45,54	0,1021	6,47	36,54	0,1771	0,4729	0,1396	0,9313	-0,7917
48	780	65	0	33	263,13	168,54	220,84	1,5612	1,3103	0,8393	10,57	60,09	0,1759	8,51	56,66	0,1502	9,54	43,42	0,2197	0,5391	0,1850	1,0748	-0,8898
49	581	48	1	33	301,41	217,13	234,33	1,3882	1,0792	0,7774	14,34	62,52	0,2294	9,83	55,30	0,1778	8,60	43,69	0,1968	0,4921	0,1873	0,9283	-0,7410
50	538	44	0	33	330,01	226,63	252,88	1,4562	1,1158	0,7663	17,80	84,54	0,2106	11,50	83,83	0,1372	12,50	62,52	0,1999	0,4860	0,1686	0,9411	-0,7725
51	800	66	0	33	288,71	207,85	224,49	1,3890	1,0801	0,7776	7,50	67,50	0,1111	6,50	59,66	0,1090	7,13	51,51	0,1384	0,4432	0,1237	0,9288	-0,8051
52	592	49	1	33	305,07	213,13	251,65	1,4314	1,1807	0,8249	10,57	73,47	0,1439	13,92	69,71	0,1997	17,59	62,10	0,2833	0,5265	0,2415	1,0028	-0,7613
53	620	51	0	33	322,52	236,54	259,56	1,3635	1,0973	0,8048	17,59	76,56	0,2298	9,58	51,55	0,1858	10,87	65,54	0,1659	0,4967	0,1758	0,9511	-0,7752
54	787	65	1	33	253,27	174,66	185,30	1,4501	1,0609	0,7316	11,56	60,41	0,1914	10,33	49,75	0,2076	5,50	42,52	0,1294	0,4642	0,1685	0,8963	-0,7278
55	258	21	0	33	326,97	218,26	274,95	1,4981	1,2597	0,8409	14,57	83,53	0,1744	15,06	92,49	0,1628	18,63	76,51	0,2435	0,5363	0,2032	1,0503	-0,8472
56	616	51	0	33	262,84	193,19	209,16	1,3605	1,0827	0,7958	9,89	56,52	0,1750	8,46	52,20	0,1621	5,47	47,55	0,1150	0,4661	0,1386	0,9392	-0,8007
57	689	57	0	33	323,48	239,94	254,92	1,3482	1,0624	0,7881	9,65	66,56	0,1450	8,47	64,52	0,1313	13,53	55,76	0,2426	0,4739	0,1870	0,9252	-0,7383
58	732	61	0	33	322,43	235,44	257,73	1,3695	1,0947	0,7993	12,64	60,40	0,2093	11,49	62,31	0,1844	11,63	69,6					

Estimativa Médico-Legal da Idade pela Proporção Polpa/Dente numa População Portuguesa: Comparação entre o Método de Cameriere e o Método de Kvaal em Caninos

76	392	32	1	33	314,34	200,52	248,45	1,5676	1,2390	0,7904	23,58	104,33	0,2260	24,46	96,59	0,2532	18,48	90,47	0,2043	0,5426	0,2288	1,0147	-0,7860
77	401	33	1	33	332,59	218,41	267,60	1,5228	1,2252	0,8046	26,60	95,09	0,2797	18,01	94,50	0,1906	19,53	73,98	0,2640	0,5528	0,2273	1,0149	-0,7876
78	681	56	1	33	292,46	190,31	217,44	1,5368	1,1426	0,7435	13,56	63,03	0,2151	14,76	61,55	0,2398	12,40	49,82	0,2489	0,5180	0,2444	0,9430	-0,6987
79	534	44	1	33	278,81	195,49	216,20	1,4262	1,1059	0,7754	15,70	65,49	0,2397	11,52	56,61	0,2035	11,51	52,97	0,2173	0,5084	0,2104	0,9407	-0,7303
80	805	67	1	33	251,55	168,43	189,54	1,4935	1,1253	0,7535	13,76	70,68	0,1947	11,47	65,69	0,1746	9,59	57,43	0,1670	0,4830	0,1708	0,9394	-0,7686
81	359	29	0	33	356,87	252,54	277,49	1,4131	1,0988	0,7776	16,76	64,82	0,2586	12,45	58,55	0,2126	11,54	54,70	0,2110	0,5117	0,2118	0,9382	-0,7264
82	454	37	0	33	331,51	232,29	260,61	1,4271	1,1219	0,7861	18,55	86,40	0,2147	14,51	85,52	0,1697	14,27	81,00	0,1762	0,4937	0,1729	0,9540	-0,7811
83	521	43	1	33	273,51	183,14	204,48	1,4934	1,1165	0,7476	16,47	72,41	0,2275	13,01	67,67	0,1923	14,61	64,01	0,2282	0,5024	0,2103	0,9321	-0,7218
84	486	40	1	33	272,09	196,27	223,89	1,3863	1,1407	0,8229	7,52	58,54	0,1285	10,60	56,46	0,1877	11,31	53,57	0,2111	0,4982	0,1994	0,9818	-0,7824
85	479	39	1	33	276,35	189,21	214,42	1,4605	1,1332	0,7759	11,46	54,54	0,2101	11,54	46,57	0,2478	9,65	50,01	0,1930	0,5120	0,2204	0,9546	-0,7342
86	508	42	1	33	289,57	204,32	248,18	1,4172	1,2147	0,8571	11,56	63,61	0,1817	8,59	55,60	0,1545	10,60	55,57	0,1908	0,5197	0,1726	1,0359	-0,8632
87	517	43	1	33	268,50	185,38	210,83	1,4484	1,1373	0,7852	11,02	64,64	0,1705	10,46	62,70	0,1668	10,86	63,53	0,1709	0,4862	0,1689	0,9612	-0,7924
88	750	62	1	33	257,17	174,30	201,38	1,4754	1,1554	0,7831	12,60	66,80	0,1886	11,45	55,44	0,2065	11,46	62,60	0,1831	0,5033	0,1948	0,9692	-0,7744
89	771	64	1	33	259,40	160,91	209,32	1,6121	1,3009	0,8069	18,52	68,15	0,2718	13,58	65,74	0,2066	11,48	65,73	0,1747	0,5522	0,1906	1,0539	-0,8633
90	568	47	1	33	279,78	180,47	222,46	1,5503	1,2327	0,7951	11,58	54,51	0,2124	9,46	52,65	0,1797	8,52	42,65	0,1998	0,5239	0,1897	1,0139	-0,8242
91	703	58	1	33	280,16	174,96	199,55	1,6013	1,1405	0,7123	12,66	74,37	0,1702	10,64	67,30	0,1581	11,53	63,49	0,1816	0,4725	0,1699	0,9264	-0,7566
92	345	28	1	33	282,56	200,69	226,22	1,4079	1,1272	0,8006	12,52	70,39	0,1779	12,38	60,19	0,2057	8,68	52,54	0,1652	0,4953	0,1854	0,9639	-0,7785
93	316	26	0	33	375,93	236,41	269,23	1,5902	1,1388	0,7162	23,15	96,34	0,2403	20,22	96,84	0,2088	20,79	86,81	0,2395	0,5087	0,2241	0,9275	-0,7034
94	615	51	0	33	319,27	239,14	270,16	1,3351	1,1297	0,8462	15,63	70,41	0,2220	16,82	67,67	0,2486	15,89	64,50	0,2464	0,5386	0,2475	0,9879	-0,7405
95	678	56	0	33	294,78	203,81	239,33	1,4463	1,1743	0,8119	17,44	65,45	0,2665	11,43	70,72	0,1616	14,47	67,52	0,2143	0,5257	0,1880	0,9931	-0,8051
96	610	50	1	33	319,43	236,27	268,36	1,3520	1,1358	0,8401	12,57	55,47	0,2266	8,51	50,46	0,1686	10,01	40,11	0,2496	0,5242	0,2091	0,9880	-0,7789
97	359	29	0	33	336,25	242,24	287,92	1,3881	1,1886	0,8563	14,24	61,76	0,2306	9,46	57,89	0,1634	13,54	55,13	0,2456	0,5369	0,2045	1,0224	-0,8179
98	308	25	1	33	313,63	219,08	247,07	1,4316	1,1278	0,7878	15,91	69,47	0,2290	14,51	57,69	0,2515	10,92	51,52	0,2120	0,5216	0,2317	0,9578	-0,7260
99	667	55	0	33	335,50	233,81	279,91	1,4349	1,1972	0,8343	12,44	74,53	0,1669	14,45	65,48	0,2207	11,54	55,93	0,2063	0,5251	0,2135	1,0157	-0,8022
100	700	58	0	33	343,64	253,80	275,00	1,3540	1,0835	0,8003	17,38	79,03	0,2199	13,20	80,08	0,1648	13,57	69,70	0,1947	0,4926	0,1798	0,9419	-0,7621
101	750	62	0	33	303,51	202,17	209,96	1,5013	1,0385	0,6918	10,70	64,59	0,1657	9,51	52,37	0,1816	10,04	41,37	0,2427	0,4640	0,2121	0,8652	-0,6530
102	506	42	1	33	277,91	182,90	199,94	1,5195	1,0932	0,7194	13,53	72,24	0,1873	11,52	58,56	0,1967	11,80	50,45	0,2339	0,4861	0,2153	0,9063	-0,6910
103	674	56	1	33	242,47	146,60	181,32	1,6540	1,2368	0,7478	13,56	73,31	0,1850	12,44	63,00	0,1975	16,36	62,10	0,2634	0,5261	0,2305	0,9923	-0,7619
104	567	47	0	33	322,49	219,15	235,21	1,4715	1,0733	0,7294	22,33	73,94	0,3020	15,52	73,50	0,2112	13,57	63,59	0,2134	0,5058	0,2123	0,9013	-0,6890
105	618	51	0	33	351,98	254,23	272,45	1,3845	1,0717	0,7740	18,37	73,00	0,2516	16,47	61,50	0,2678	9,80	55,91	0,1753	0,5081	0,2225	0,9229	-0,7013
106	460	38	1	33	306,42	215,86	256,11	1,4195	1,1865	0,8358	15,99	67,47	0,2370	17,78	62,59	0,2841	13,54	56,35	0,2403	0,5567	0,2612	1,0111	-0,7490
107	366	30	1	33	298,51	185,33	241,46	1,6107	1,3029	0,8089	17,50	90,64	0,1931	19,82	75,52	0,2624	18,50	72,49	0,2552	0,5645	0,2588	1,0559	-0,7970
108	332	27	0	33	288,22	203,33	219,98	1,4175	1,0819	0,7632	12,34	61,50	0,2007	12,88	55,91	0,2304	14,51	44,69	0,3247	0,5202	0,2775	0,9226	-0,6450
109	745	62	0	33	255,48	173,53	180,72	1,4723	1,0414	0,7074	23,49	71,26	0,3296	18,39	61,91	0,2970	15,71	57,72	0,2722	0,5295	0,2846	0,8744	-0,5898
110	431	35	0	33	310,49	203,50	239,15	1,5257	1,1752	0,7702	13,88	80,55	0,1723	16,56	70,88	0,2336	12,68	57,34	0,2211	0,5145	0,2274	0,9727	-0,7453
111	322	26	1	33	301,78	198,61	236,23	1,5195	1,1894	0,7828	19,69	79,34	0,2482	15,60	75,51	0,2066	12,77	71,10	0,1796	0,5213	0,1931	0,9861	-0,7930
112	326	27	1	33	308,20	215,97	246,82	1,4271	1,1428	0,8008	16,46	69,53	0,2367	11,51	60,93	0,1889	10,47	45,85	0,2284	0,5195	0,2086	0,9718	-0,7632
113	379	32	1	33	271,39	191,83	215,02	1,4147	1,1209	0,7923	13,38	62,22	0,2150	9,19	51,59	0,1781	10,49	47,67	0,2201	0,5053	0,1991	0,9566	-0,7575
114	556	46	1	33	326,45	222,94	261,48	1,4643	1,1729	0,8010	26,47	79,16	0,3344	19,35	66,51	0,2909	17,17	64,51	0,2662	0,5731	0,2785	0,9869	-0,7084
115	411	34	0	33	332,58	221,67	258,88	1,5003	1,1679	0,7784	16,03	79,02	0,2029	14,86	75,74	0,1962	16,40	70,72	0,2319	0,5154	0,2140	0,9731	-0,7591
116	817	68	0	33	306,49	218,55	250,50	1,4024	1,1462	0,8173	14,32	70,55	0,2030	15,46	68,49	0,2257	13,07	70,02	0,1867	0,5158	0,2062	0,9818	-0,7756
117	639	53	1	33	275,60	197,59	223,64	1,3948	1,1318	0,8115	14,01	59,54	0,2353	14,65	59,58	0,2459	10,71	52,56	0,2038	0,5257	0,2248	0,9717	-0,7468
118	532	44	1	33	297,44	211,97	231,50	1,4032	1,0921	0,7783	12,58	64,56	0,1949	10,76	56,26	0,1913	13,05	46,49	0,2807	0,5075	0,2360	0,9352	-0,6992
119	524	43	1	33	318,52	219,57	248,69	1,4507	1,1326	0,7808	15,67	73,48	0,2133	13,28	52,67	0,2521	9,53	58,63	0,1625	0,5083	0,2073	0,9567	-0,7494
120	867	72	0	33	270,95	188,48	204,49	1,4376	1,0849	0,7547	12,99	78,42	0,1656	11,51	62,59	0,1839	12,39	60,42	0,2051	0,4789	0,1945	0,9198	-0,7253
121	874	72	1	33	289,42	193,39	228,46	1,4966	1,1813	0,7894	14,96	67,08	0,2230	13,51	72,45	0,1865	10,51	58,56	0,1795	0,5119	0,1830	0,9854	-0,8024
122	362	30	1	33	301,65	197,73	248,40	1,5256	1,2563	0,8235	17,62	71,60	0,2461	10,53	58,53	0,1799	11,53	50,54	0,2281	0,5468	0,2040	1,0399	-0,8358
123	313	26	1	33	245,46	155,79	192,53	1,5756	1,2358	0,7844	11,51	61,50	0,1872	9,51	57,25	0,1661	8,62	39,09	0,2205	0,5188	0,1933	1,0101	-0,8168
124	386	32	1	33	280,46	188,39	212,83	1,4887	1,1297	0,7589	14,55	72,85	0,1997	10,46	58,54	0,1787	11,73	46,48	0,2524	0,5039	0,2155	0,9443	-0,7288
125	398	33	0	33	325,11	225,32	264,09	1,4429	1,1721	0,8123	21,06	72,00	0,2925	12,86	74,90	0,1717	12,41	56,67	0,2190	0,5335	0,1953	0,9922	-0,7968
126	417	34	0	33	282,52	183,46	214,62	1,5400	1,1698	0,7597	16,84												

Estimativa Médico-Legal da Idade pela Proporção Polpa/Dente numa População Portuguesa: Comparação entre o Método de Cameriere e o Método de Kvaal em Caninos

144	577	48	0	33	322,21	246,59	255,11	1,3067	1,0346	0,7918	13,60	76,92	0,1768	13,69	74,53	0,1837	11,57	61,35	0,1886	0,4751	0,1861	0,9132	-0,7270
145	305	25	1	33	280,59	206,49	233,64	1,3589	1,1315	0,8327	16,79	59,96	0,2800	14,56	57,87	0,2516	15,02	56,03	0,2681	0,5528	0,2598	0,9821	-0,7222
146	373	31	1	33	309,47	218,09	245,80	1,4190	1,1271	0,7943	18,56	62,46	0,2972	14,71	54,50	0,2699	11,26	50,39	0,2235	0,5424	0,2467	0,9607	-0,7140
147	295	24	1	33	292,09	199,00	238,44	1,4678	1,1982	0,8163	11,48	68,59	0,1674	9,56	48,48	0,1972	6,61	46,34	0,1426	0,5043	0,1699	1,0073	-0,8373
148	405	33	0	33	349,48	253,56	280,30	1,3783	1,1055	0,8020	15,83	70,46	0,2247	14,55	61,48	0,2367	13,93	51,57	0,2701	0,5278	0,2534	0,9538	-0,7004
149	342	28	1	33	236,09	161,50	188,67	1,4619	1,1682	0,7991	13,87	70,52	0,1967	10,61	60,77	0,1746	11,55	62,69	0,1842	0,5046	0,1794	0,9837	-0,8043
150	364	30	1	33	317,42	225,21	261,62	1,4094	1,1617	0,8242	14,91	62,96	0,2368	14,62	66,28	0,2206	12,50	51,39	0,2432	0,5373	0,2319	0,9929	-0,7610
151	704	58	0	33	277,52	176,43	230,34	1,5730	1,3056	0,8300	17,52	76,85	0,2280	15,34	68,47	0,2240	12,81	59,65	0,2148	0,5605	0,2194	1,0678	-0,8484
152	716	59	0	33	314,84	219,94	254,37	1,4315	1,1565	0,8079	17,27	72,92	0,2368	14,60	62,05	0,2353	15,45	51,44	0,3003	0,5474	0,2678	0,9822	-0,7144
153	678	56	1	33	297,54	203,81	240,22	1,4599	1,1786	0,8074	14,53	73,56	0,1975	13,46	67,58	0,1992	11,07	56,24	0,1968	0,5159	0,1980	0,9930	-0,7950
154	301	25	0	33	355,48	240,11	289,46	1,4805	1,2055	0,8143	17,29	75,59	0,2287	15,98	71,34	0,2240	14,33	60,35	0,2374	0,5420	0,2307	1,0099	-0,7792
155	360	30	0	33	371,89	252,53	312,90	1,4727	1,2391	0,8414	32,50	94,75	0,3430	28,18	82,28	0,3425	19,54	76,72	0,2547	0,6041	0,2986	1,0402	-0,7416
156	668	55	0	33	330,34	236,11	261,40	1,3991	1,1071	0,7913	13,80	66,51	0,2075	12,29	56,41	0,2179	14,82	52,51	0,2822	0,5212	0,2501	0,9492	-0,6992
157	736	61	0	33	308,21	217,15	237,66	1,4193	1,0945	0,7711	13,93	74,55	0,1869	10,53	69,42	0,1517	12,53	60,29	0,2078	0,4824	0,1798	0,9328	-0,7530
158	347	28	1	33	255,35	171,94	195,83	1,4851	1,1389	0,7669	14,84	62,26	0,2384	13,74	55,53	0,2474	10,61	53,89	0,1969	0,5177	0,2222	0,9529	-0,7308
159	404	33	1	33	310,54	214,20	254,56	1,4498	1,1884	0,8197	11,87	73,53	0,1614	11,34	65,51	0,1731	12,55	63,72	0,1970	0,5079	0,1850	1,0041	-0,8190
160	481	40	1	33	296,37	206,24	242,42	1,4370	1,1754	0,8180	10,52	64,42	0,1633	10,50	58,55	0,1793	12,49	50,44	0,2476	0,5167	0,2135	0,9967	-0,7832
161	377	31	1	33	265,53	168,36	184,09	1,5772	1,0934	0,6933	19,99	74,24	0,2693	12,68	65,72	0,1929	13,27	59,51	0,2230	0,4944	0,2080	0,8934	-0,6854
162	862	71	0	33	317,68	220,49	269,99	1,4408	1,2245	0,8499	15,80	82,88	0,1906	13,52	73,74	0,1833	12,90	62,53	0,2063	0,5309	0,1948	1,0372	-0,8424
163	866	72	0	33	347,65	245,96	271,55	1,4134	1,1040	0,7811	33,45	81,53	0,4103	16,01	71,46	0,2240	21,60	62,62	0,3449	0,5729	0,2845	0,9426	-0,6581
164	460	38	1	33	279,87	197,73	232,15	1,4154	1,1741	0,8295	11,42	63,68	0,1793	11,77	57,40	0,2051	11,00	52,69	0,2088	0,5193	0,2069	1,0018	-0,7949
165	254	21	1	33	312,67	215,07	241,61	1,4538	1,1234	0,7727	17,54	68,56	0,2558	13,62	58,79	0,2317	10,53	50,01	0,2106	0,5188	0,2211	0,9481	-0,7270
166	309	25	1	33	296,70	205,36	225,73	1,4448	1,0992	0,7608	15,28	58,44	0,2615	8,52	52,56	0,1621	9,84	50,20	0,1960	0,4959	0,1791	0,9300	-0,7509
167	484	40	1	33	248,61	148,52	170,34	1,6739	1,1469	0,6852	12,57	75,28	0,1670	12,49	68,97	0,1811	13,45	67,83	0,1983	0,4757	0,1897	0,9160	-0,7264
168	503	41	1	33	253,81	161,88	190,92	1,5679	1,1794	0,7522	8,83	54,53	0,1619	7,43	52,81	0,1407	6,22	46,53	0,1337	0,4736	0,1372	0,9658	-0,8286
169	366	30	1	33	253,56	171,87	207,26	1,4753	1,2059	0,8174	15,99	79,08	0,2022	10,58	68,11	0,1553	9,87	51,95	0,1900	0,5142	0,1727	1,0117	-0,8390
170	396	33	1	33	263,45	193,07	220,46	1,3645	1,1419	0,8368	16,10	79,12	0,2035	15,63	73,67	0,2122	16,70	58,76	0,2842	0,5357	0,2482	0,9893	-0,7412
171	667	55	1	33	258,63	161,72	199,89	1,5992	1,2360	0,7729	24,37	75,08	0,3246	16,85	67,06	0,2513	21,87	59,57	0,3671	0,5904	0,3092	1,0045	-0,6953
172	340	28	1	33	268,96	181,07	215,09	1,4854	1,1879	0,7997	14,55	62,12	0,2342	6,55	56,18	0,1166	10,61	51,84	0,2047	0,5086	0,1606	0,9938	-0,8332
173	511	42	0	33	269,87	191,23	211,00	1,4112	1,1034	0,7819	16,07	69,22	0,2322	13,57	56,60	0,2398	9,40	46,85	0,2006	0,5116	0,2202	0,9482	-0,7224
174	393	32	1	33	306,55	206,97	260,27	1,4811	1,2575	0,8490	18,90	71,48	0,2644	13,23	74,94	0,1765	14,14	75,63	0,1870	0,5469	0,1818	1,0533	-0,8715
175	590	49	1	33	342,17	217,48	249,05	1,5733	1,1452	0,7279	20,85	87,31	0,2388	30,77	87,44	0,3519	18,13	64,66	0,2804	0,5488	0,3161	0,9365	-0,6204
176	661	55	0	33	279,43	187,80	227,21	1,4879	1,2099	0,8131	13,27	70,85	0,1873	13,46	60,38	0,2229	10,58	51,33	0,2061	0,5279	0,2145	1,0115	-0,7970
177	912	76	0	33	305,86	210,46	241,50	1,4533	1,1475	0,7896	16,60	69,26	0,2397	11,94	65,09	0,1834	12,40	56,37	0,2200	0,5160	0,2017	0,9685	-0,7668
178	437	36	1	33	321,59	211,29	257,61	1,5220	1,2192	0,8011	19,35	80,77	0,2396	16,52	79,62	0,2075	15,14	72,61	0,2085	0,5352	0,2080	1,0101	-0,8021
179	985	82	1	33	243,38	177,68	215,69	1,3698	1,2139	0,8862	24,48	60,82	0,4025	13,54	53,81	0,2516	12,53	45,69	0,2742	0,6057	0,2629	1,0501	-0,7871
180	313	26	1	33	293,35	250,52	209,76	1,1710	0,8373	0,7151	14,81	76,80	0,1928	18,73	66,80	0,2804	12,82	48,56	0,2640	0,4579	0,2722	0,7762	-0,5040
181	405	33	0	33	267,43	167,88	195,84	1,5930	1,1665	0,7323	16,60	76,93	0,2158	15,55	68,23	0,2279	14,02	64,49	0,2174	0,5120	0,2227	0,9494	-0,7268
182	683	56	1	33	253,21	162,29	181,41	1,5602	1,1178	0,7164	14,05	80,84	0,1738	13,51	72,27	0,1869	15,46	63,44	0,2437	0,4877	0,2153	0,9171	-0,7018
183	284	23	1	33	299,45	204,49	238,36	1,4644	1,1656	0,7960	15,98	70,62	0,2263	17,50	61,85	0,2829	8,54	57,72	0,1480	0,5238	0,2154	0,9808	-0,7654
184	476	39	0	33	326,88	204,45	265,46	1,5988	1,2984	0,8121	20,31	83,25	0,2440	16,62	73,12	0,2273	10,77	65,89	0,1635	0,5490	0,1954	1,0553	-0,8599
185	480	40	0	33	328,36	218,44	258,93	1,5032	1,1854	0,7886	18,51	78,79	0,2349	18,18	65,30	0,2784	15,69	63,26	0,2480	0,5471	0,2632	0,9870	-0,7237
186	300	25	1	33	246,51	158,50	177,64	1,5553	1,1208	0,7206	12,68	68,55	0,1850	11,49	65,79	0,1746	9,55	57,02	0,1675	0,4737	0,1711	0,9207	-0,7496
187	663	55	1	33	235,45	147,63	170,73	1,5949	1,1565	0,7251	21,53	69,10	0,3116	11,51	56,85	0,2025	11,85	60,54	0,1957	0,5183	0,1991	0,9408	-0,7417
188	379	31	1	33	334,63	235,04	273,12	1,4237	1,1620	0,8162	22,53	79,44	0,2836	15,51	87,70	0,1769	17,15	77,24	0,2220	0,5321	0,1994	0,9891	-0,7897
189	310	26	1	33	284,21	177,83	209,65	1,5982	1,1789	0,7377	18,40	70,86	0,2597	11,01	61,54	0,1789	10,59	54,57	0,1941	0,5098	0,1865	0,9583	-0,7718
190	387	32	0	33	250,38	168,60	190,52	1,4851	1,1300	0,7609	13,75	71,83	0,1914	12,14	71,63	0,1695	10,04	57,29	0,1752	0,4854	0,1724	0,9455	-0,7731
191	487	40	0	33	340,61	234,40	278,52	1,4531	1,1882	0,8177	16,66	80,52	0,2069	15,49	78,60	0,1971	13,54	60,50	0,2238	0,5267	0,2104	1,0030	-0,7925
192	686	57	1	33	261,81	184,84	221,12	1,4164	1,1963	0,8446	10,74	67,57	0,1589	12,15	57,60	0,2109	7,50	51,13	0,1467	0,5115	0,1788	1,0204	-0,8416
193	437	36	1	33	301,13	207,30	258,94	1,4526	1,2491	0,8599	15,10	74,94	0,2015	11,56	63,54	0,1819	12,04	52,61	0,2289	0,5443	0,2054	1,0545	-0,8491
194	905	75	1	33	260,89	190,46	216,62	1,3698															

Estimativa Médico-Legal da Idade pela Proporção Polpa/Dente numa População Portuguesa: Comparação entre o Método de Cameriere e o Método de Kvaal em Caninos

12	422	35	1	43	326,75	211,05	273,87	1,5482	1,2977	0,8382	19,47	75,97	0,2563	18,56	70,74	0,2624	14,49	62,65	0,2313	0,5772	0,2468	1,0679	-0,8211
13	362	30	1	43	286,49	193,21	198,51	1,4828	1,0274	0,6929	13,52	70,47	0,1919	10,82	59,53	0,1818	7,52	51,51	0,1460	0,4480	0,1639	0,8602	-0,6963
14	883	73	0	43	251,09	171,99	192,30	1,4599	1,1181	0,7659	7,50	54,43	0,1378	9,50	44,55	0,2132	9,56	43,54	0,2196	0,4909	0,2164	0,9420	-0,7256
15	612	51	1	43	270,77	185,42	200,50	1,4603	1,0813	0,7405	14,50	70,06	0,2070	12,53	68,59	0,1827	8,73	62,79	0,1390	0,4701	0,1609	0,9109	-0,7500
16	296	24	0	43	305,42	224,25	248,47	1,3620	1,1080	0,8135	16,57	93,66	0,1769	16,55	69,57	0,2379	12,52	58,01	0,2158	0,5104	0,2269	0,9608	-0,7339
17	425	35	0	43	341,93	233,46	264,48	1,4646	1,1329	0,7735	20,52	89,42	0,2295	42,64	96,85	0,4403	19,92	84,52	0,2357	0,5624	0,3380	0,9532	-0,6152
18	297	24	1	43	272,46	178,52	215,11	1,5262	1,2050	0,7895	11,52	68,47	0,1682	9,48	61,53	0,1541	9,56	58,06	0,1647	0,4963	0,1594	0,9972	-0,8379
19	603	50	1	43	231,49	157,27	176,24	1,4719	1,1206	0,7613	7,61	69,52	0,1095	10,87	64,52	0,1685	7,52	55,60	0,1353	0,4590	0,1519	0,9410	-0,7891
20	648	54	0	43	241,48	159,08	167,04	1,5180	1,0500	0,6917	13,96	83,70	0,1668	13,59	86,82	0,1565	13,56	75,50	0,1796	0,4489	0,1681	0,8709	-0,7028
21	733	61	0	43	239,45	175,56	185,41	1,3639	1,0561	0,7743	16,64	70,42	0,2363	9,57	67,63	0,1415	12,51	70,78	0,1767	0,4770	0,1591	0,9152	-0,7561
22	374	31	0	43	338,04	226,20	262,09	1,4944	1,1587	0,7753	13,54	80,15	0,1689	13,58	71,54	0,1898	13,47	64,02	0,2104	0,5006	0,2001	0,9670	-0,7669
23	367	30	0	43	324,61	222,10	279,29	1,4615	1,2575	0,8604	15,51	90,51	0,1714	15,65	73,42	0,2132	13,69	62,46	0,2192	0,5443	0,2162	1,0589	-0,8428
24	391	32	1	43	273,49	190,86	210,19	1,4329	1,1013	0,7685	14,61	68,49	0,2133	10,51	64,82	0,1621	16,50	53,43	0,3088	0,5108	0,2355	0,9349	-0,6994
25	725	60	1	43	264,75	181,50	215,59	1,4587	1,1878	0,8143	8,57	54,46	0,1574	8,58	60,06	0,1429	10,50	51,74	0,2029	0,5011	0,1729	1,0011	-0,8282
26	662	55	0	43	286,40	175,00	222,23	1,6366	1,2699	0,7759	20,70	93,70	0,2209	12,55	84,59	0,1484	10,44	70,14	0,1488	0,5128	0,1486	1,0229	-0,8743
27	742	61	1	43	263,06	188,32	201,77	1,3969	1,0714	0,7670	11,00	56,51	0,1947	8,58	53,58	0,1601	10,55	49,02	0,2152	0,4817	0,1877	0,9192	-0,7315
28	260	21	1	43	277,60	176,97	230,70	1,5686	1,3036	0,8311	16,45	66,96	0,2457	14,60	64,66	0,2258	12,52	57,39	0,2182	0,5649	0,2220	1,0673	-0,8454
29	423	35	0	43	283,49	150,53	224,84	1,8833	1,4937	0,7931	15,37	88,40	0,1739	15,59	76,71	0,2032	20,95	89,26	0,2347	0,5797	0,2190	1,1434	-0,9244
30	373	31	0	43	288,91	188,46	200,21	1,5330	1,0623	0,6930	9,59	70,81	0,1354	13,57	63,33	0,2143	10,52	52,65	0,1998	0,4610	0,2070	0,8777	-0,6706
31	497	41	1	43	314,50	215,34	241,54	1,4605	1,1217	0,7680	12,61	68,82	0,1832	11,44	60,49	0,1891	10,60	59,45	0,1783	0,4881	0,1837	0,9448	-0,7611
32	380	31	1	43	305,58	229,39	243,64	1,3321	1,0621	0,7973	14,57	73,73	0,1976	15,06	62,52	0,2409	15,43	56,00	0,2755	0,5147	0,2582	0,9297	-0,6715
33	293	24	1	43	344,72	257,94	300,50	1,3364	1,1650	0,8717	13,55	72,69	0,1864	14,56	71,53	0,2036	9,50	69,34	0,1370	0,5127	0,1703	1,0184	-0,8481
34	331	27	1	43	338,54	256,63	287,78	1,3192	1,1214	0,8501	10,54	69,49	0,1517	11,21	65,02	0,1724	11,58	57,96	0,1998	0,4991	0,1861	0,9857	-0,7996
35	731	60	1	43	240,57	155,15	183,18	1,5506	1,1807	0,7614	8,52	67,55	0,1261	9,29	60,62	0,1532	8,66	60,37	0,1434	0,4730	0,1483	0,9711	-0,8227
36	736	61	1	43	258,50	161,63	201,81	1,5993	1,2486	0,7807	21,80	65,52	0,3327	14,11	63,00	0,2240	7,51	56,52	0,1329	0,5438	0,1784	1,0146	-0,8362
37	588	49	0	43	311,51	211,80	247,50	1,4708	1,1686	0,7945	15,51	77,19	0,2009	16,44	77,89	0,2111	14,89	66,80	0,2229	0,5196	0,2170	0,9815	-0,7646
38	589	49	1	43	293,55	200,70	219,02	1,4626	1,0913	0,7461	17,52	75,53	0,2320	15,52	73,48	0,2112	10,51	66,30	0,1585	0,4878	0,1849	0,9187	-0,7338
39	347	28	0	43	296,43	201,26	234,62	1,4729	1,1658	0,7915	13,55	74,61	0,1598	20,75	79,52	0,2609	15,01	64,56	0,2325	0,5221	0,2467	0,9786	-0,7319
40	284	23	0	43	328,35	220,18	256,45	1,4913	1,1647	0,7810	21,09	70,94	0,2973	11,53	58,65	0,1966	10,54	50,96	0,2068	0,5293	0,2017	0,9729	-0,7712
41	306	25	1	43	231,81	165,90	186,78	1,3973	1,1259	0,8057	15,60	66,56	0,2344	11,57	61,59	0,1879	13,05	50,78	0,2570	0,5222	0,2224	0,9658	-0,7434
42	507	42	0	43	274,51	182,34	200,04	1,5055	1,0971	0,7287	17,62	72,59	0,2427	11,59	63,98	0,1812	7,58	53,52	0,1416	0,4783	0,1614	0,9129	-0,7515
43	274	22	1	43	273,25	177,50	209,90	1,5394	1,1825	0,7682	13,54	69,87	0,1938	12,66	63,86	0,1982	10,00	53,82	0,1858	0,5057	0,1920	0,9753	-0,7833
44	489	40	1	43	276,70	191,61	215,41	1,4441	1,1242	0,7785	8,70	54,46	0,1598	7,46	45,05	0,1656	7,51	42,64	0,1761	0,4808	0,1709	0,9514	-0,7805
45	494	41	1	43	303,44	214,79	247,74	1,4127	1,1534	0,8164	10,51	62,79	0,1674	6,63	56,87	0,1166	9,81	46,52	0,2109	0,4929	0,1637	0,9849	-0,8212
46	502	41	1	43	287,47	198,61	227,75	1,4474	1,1467	0,7923	9,84	60,47	0,1627	8,43	50,75	0,1661	8,21	42,52	0,1931	0,4922	0,1796	0,9695	-0,7899
47	521	44	1	43	285,48	201,89	224,81	1,4140	1,1135	0,7875	10,76	59,07	0,1822	7,65	48,43	0,1580	7,86	47,61	0,1651	0,4812	0,1615	0,9505	-0,7890
48	780	65	0	43	282,91	191,41	209,88	1,4780	1,0965	0,7419	17,66	70,51	0,2505	18,53	70,42	0,2631	13,93	65,84	0,2116	0,5127	0,2374	0,9192	-0,6818
49	581	48	1	43	312,88	227,70	255,02	1,3741	1,1200	0,8151	14,65	77,54	0,1889	10,59	68,26	0,1551	5,69	56,66	0,1004	0,4759	0,1728	0,9675	-0,8397
50	538	44	0	43	306,53	206,96	229,81	1,4811	1,1104	0,7497	13,63	84,51	0,1613	11,50	70,53	0,1631	12,67	56,85	0,2229	0,4815	0,1930	0,9301	-0,7371
51	800	66	0	43	302,99	214,24	240,96	1,4143	1,1247	0,7953	10,19	71,93	0,1417	9,55	66,51	0,1436	8,85	53,76	0,1646	0,4740	0,1541	0,9600	-0,8059
52	592	49	1	43	287,43	194,06	224,53	1,4811	1,1570	0,7812	11,46	78,55	0,1459	8,53	72,66	0,1174	11,57	64,77	0,1786	0,4760	0,1480	0,9691	-0,8211
53	620	51	0	43	324,64	214,02	270,89	1,5169	1,2657	0,8344	14,58	71,94	0,2027	6,53	57,48	0,1136	7,51	46,52	0,1614	0,5156	0,1375	1,0501	-0,9126
54	787	65	1	43	297,50	208,08	233,95	1,4297	1,1243	0,7864	14,53	86,59	0,1678	12,11	85,53	0,1416	13,51	82,72	0,1633	0,4767	0,1525	0,9554	-0,8029
55	258	21	0	43	333,51	237,41	270,86	1,4048	1,1409	0,8121	15,50	83,07	0,1866	17,52	87,08	0,2612	18,98	85,77	0,2213	0,5124	0,2112	0,9765	-0,7653
56	616	51	0	43	313,53	230,44	272,31	1,3606	1,1817	0,8685	12,87	76,43	0,1684	11,61	64,00	0,1814	11,50	55,69	0,2065	0,5213	0,1940	1,0251	-0,8312
57	689	57	0	43	362,10	257,18	313,53	1,4080	1,2191	0,8659	14,51	84,43	0,1719	10,41	87,47	0,1190	11,70	75,32	0,1553	0,5062	0,1372	1,0425	-0,9053
58	732	61	0	43	356,22	255,04	272,12	1,3967	1,0670	0,7639	14,92	73,92	0,2018	9,58	71,52	0,1339	11,84	59,83	0,1979	0,4729	0,1659	0,9154	-0,7495
59	878	73	1	43	301,65	218,62	235,97	1,3798	1,0794	0,7823	8,61	58,53	0,1471	6,71	47,53	0,1412	7,53	39,60	0,1902	0,4680	0,1657	0,9308	-0,7652
60	918	76	1	43	268,55	193,46	229,90	1,3881	1,1884	0,8561	10,79	57,56	0,1875	10,84	49,47	0,2191	11,10	43,31	0,2563	0,5415	0,2377	1,0222	-0,7845
61	379	31	0	43	305,57	201,58	245,84	1,5159	1,2196	0,8045	21,00	92,88	0,2261	16,78	79,99	0,2698	20,38	76,55	0,2662	0,5452	0,2380	1,0120	-0,7740
62	831	69	0	43	260,25	189,97	203,96	1,3700	1,0736	0,7837	9,50	73,46	0,1293	10,51	73,45	0,1431	9,						

Estimativa Médico-Legal da Idade pela Proporção Polpa/Dente numa População Portuguesa: Comparação entre o Método de Cameriere e o Método de Kvaal em Caninos

80	805	67	1	43	248,15	163,88	189,52	1,5142	1,1565	0,7637	10,97	66,14	0,1659	9,50	58,66	0,1620	8,64	46,54	0,1856	0,4867	0,1738	0,9601	-0,7863
81	359	29	0	43	293,37	179,64	193,41	1,6331	1,0767	0,6593	16,54	71,76	0,2305	16,61	64,44	0,2578	16,53	56,42	0,2930	0,5034	0,2754	0,8680	-0,5926
82	454	37	0	43	300,32	209,53	240,45	1,4333	1,1476	0,8006	17,91	101,45	0,1765	17,97	91,02	0,1974	23,53	82,15	0,2864	0,5217	0,2419	0,9741	-0,7322
83	521	43	1	43	276,34	186,73	203,54	1,4799	1,0900	0,7366	15,67	80,50	0,1947	16,53	68,62	0,2409	14,72	65,51	0,2247	0,4974	0,2328	0,9133	-0,6805
84	486	40	1	43	260,31	182,99	204,31	1,4225	1,1165	0,7849	10,27	63,29	0,1623	11,51	55,93	0,2058	10,51	49,64	0,2117	0,4962	0,2088	0,9507	-0,7419
85	479	39	1	43	282,97	204,34	244,75	1,3848	1,1978	0,8649	12,50	60,91	0,2052	12,44	56,85	0,2188	11,81	60,13	0,1964	0,5366	0,2076	1,0313	-0,8237
86	508	42	1	43	255,53	182,41	212,72	1,4009	1,1662	0,8325	12,73	66,47	0,1915	10,58	62,55	0,1691	11,71	52,67	0,2223	0,5163	0,1957	0,9993	-0,8036
87	517	43	1	43	273,51	197,93	229,21	1,3819	1,1580	0,8380	13,46	64,61	0,2083	8,47	59,56	0,1422	10,36	59,16	0,1751	0,5043	0,1587	0,9980	-0,8394
88	750	62	1	43	244,66	167,69	181,71	1,4590	1,0836	0,7427	13,15	63,11	0,2084	12,52	61,46	0,2037	12,53	58,54	0,2140	0,4905	0,2089	0,9132	-0,7043
89	771	64	1	43	296,16	207,64	242,59	1,4263	1,1683	0,8191	12,54	66,38	0,1889	17,72	63,65	0,2784	18,53	65,97	0,2809	0,5471	0,2796	0,9937	-0,7141
90	568	47	1	43	270,79	186,26	227,25	1,4538	1,2201	0,8392	16,59	62,10	0,2671	12,63	56,36	0,2241	17,49	53,62	0,3262	0,5753	0,2751	1,0296	-0,7545
91	703	58	1	43	328,46	211,62	271,84	1,5521	1,2846	0,8276	13,70	82,50	0,1661	15,11	84,49	0,1788	12,33	72,49	0,1701	0,5254	0,1745	1,0561	-0,8816
92	345	28	1	43	244,45	156,43	188,39	1,5627	1,2043	0,7707	14,95	80,46	0,1858	15,45	70,82	0,2182	16,03	67,72	0,2367	0,5231	0,2274	0,9875	-0,7601
93	316	26	0	43	332,45	218,34	273,10	1,5226	1,2508	0,8215	17,64	88,90	0,2236	18,43	81,78	0,2254	14,59	79,18	0,2183	0,5411	0,2048	1,0361	-0,7545
94	615	51	0	43	301,59	213,86	245,29	1,4102	1,1470	0,8133	15,65	63,24	0,2475	11,52	51,47	0,2238	15,54	56,74	0,2739	0,5411	0,2489	0,9801	-0,7313
95	678	56	0	43	282,47	188,80	209,10	1,4961	1,1075	0,7403	15,52	67,41	0,2302	14,96	81,51	0,1835	14,44	64,63	0,2234	0,4970	0,2035	0,9239	-0,7204
96	610	50	1	43	338,47	233,16	273,32	1,4517	1,1722	0,8075	18,53	78,42	0,2363	20,20	61,45	0,3287	14,50	55,38	0,2618	0,5613	0,2953	0,9899	-0,6946
97	359	29	0	43	323,34	205,15	242,97	1,5761	1,1844	0,7514	13,97	68,71	0,2033	14,56	55,87	0,2606	12,40	49,71	0,2494	0,5298	0,2550	0,9679	-0,7129
98	308	25	1	43	284,17	191,60	227,51	1,4831	1,1874	0,8006	12,41	62,72	0,1979	11,06	61,54	0,1797	11,77	47,12	0,2498	0,5231	0,2148	0,9940	-0,7793
99	667	55	0	43	332,43	230,40	265,29	1,4428	1,1514	0,7980	21,35	90,28	0,2365	16,47	83,06	0,1983	11,52	69,52	0,1657	0,5100	0,1820	0,9747	-0,7927
100	700	58	0	43	335,60	229,96	259,09	1,4594	1,1267	0,7720	15,46	77,54	0,1994	15,39	74,52	0,2065	13,56	57,92	0,2341	0,5077	0,2203	0,9493	-0,7290
101	750	62	0	43	295,26	196,32	204,68	1,5040	1,0426	0,6932	14,82	68,68	0,2158	10,78	52,29	0,2062	6,89	42,42	0,1624	0,4640	0,1843	0,8679	-0,6836
102	506	42	1	43	333,45	233,58	267,54	1,4276	1,1454	0,8023	21,48	102,26	0,2101	21,01	95,31	0,2204	18,51	84,79	0,2183	0,5193	0,2194	0,9739	-0,7545
103	674	56	1	43	289,49	201,48	226,53	1,4368	1,1243	0,7825	13,89	70,67	0,1965	12,02	62,68	0,1918	13,53	52,48	0,2578	0,5106	0,2248	0,9534	-0,7286
104	567	47	0	43	344,37	246,54	262,51	1,3968	1,0648	0,7623	25,56	100,63	0,2540	16,72	87,90	0,1902	17,32	78,68	0,2201	0,4983	0,2052	0,9135	-0,7084
105	618	51	0	43	330,52	216,82	228,52	1,5244	1,0540	0,6914	18,55	97,82	0,1896	16,64	92,10	0,1807	18,60	83,80	0,2220	0,4675	0,2013	0,8727	-0,6714
106	460	38	1	43	315,82	218,55	257,44	1,4451	1,1779	0,8151	15,68	70,54	0,2223	12,56	59,24	0,2120	12,60	51,67	0,2439	0,5343	0,2279	0,9965	-0,7686
107	366	30	1	43	321,65	194,20	234,89	1,6563	1,2095	0,7303	26,47	111,71	0,2370	25,74	81,47	0,3159	16,78	82,26	0,2040	0,5393	0,2600	0,9699	-0,7099
108	332	27	0	43	304,48	199,78	230,44	1,5241	1,1535	0,7568	21,90	92,80	0,2360	24,56	82,69	0,2970	28,77	86,42	0,3329	0,5552	0,3150	0,9552	-0,6402
109	745	62	0	43	247,87	165,43	188,25	1,4983	1,1379	0,7595	21,79	75,92	0,2870	12,76	77,02	0,1657	17,26	68,86	0,2507	0,5202	0,2082	0,9487	-0,7405
110	431	35	0	43	291,63	197,33	227,22	1,4779	1,1515	0,7791	12,52	66,49	0,1928	14,44	85,77	0,1684	16,48	58,67	0,2809	0,5019	0,2246	0,9653	-0,7407
111	322	26	1	43	315,47	215,25	246,49	1,4656	1,1451	0,7813	16,70	73,59	0,2269	14,57	69,57	0,2094	15,56	69,44	0,2241	0,5174	0,2168	0,9632	-0,7465
112	326	27	1	43	315,74	221,42	262,60	1,4260	1,1860	0,8317	20,06	88,37	0,2270	13,58	75,19	0,1806	15,84	65,51	0,2418	0,5334	0,2112	1,0088	-0,7976
113	379	32	1	43	295,46	209,06	244,43	1,4133	1,1692	0,8273	12,71	64,40	0,1974	9,38	58,63	0,1600	11,89	53,03	0,2242	0,5156	0,1921	0,9982	-0,8061
114	556	46	1	43	291,56	184,60	241,08	1,5794	1,3060	0,8269	10,65	81,37	0,1309	12,59	72,42	0,1738	12,62	61,26	0,2060	0,5287	0,1899	1,0664	-0,8765
115	411	34	0	43	352,18	242,30	274,61	1,4535	1,1333	0,7797	20,49	91,32	0,2244	15,52	76,51	0,2028	17,39	72,36	0,2403	0,5161	0,2216	0,9565	-0,7350
116	817	68	0	43	271,23	196,08	210,62	1,3833	1,0742	0,7765	13,64	68,52	0,1991	14,52	78,32	0,1854	17,67	66,51	0,2657	0,5002	0,2255	0,9253	-0,6991
117	639	53	1	43	288,98	213,57	246,51	1,3531	1,1542	0,8530	17,12	66,50	0,2574	11,46	58,45	0,1961	13,49	52,65	0,2562	0,5434	0,2261	1,0036	-0,7775
118	532	44	1	43	276,67	185,74	215,28	1,4896	1,1590	0,7781	12,43	65,66	0,1893	6,58	56,12	0,1172	11,31	48,49	0,2332	0,4954	0,1752	0,9686	-0,7933
119	524	43	1	43	298,49	178,76	240,55	1,6698	1,3457	0,8059	24,32	89,25	0,2725	17,40	94,35	0,1844	15,34	70,16	0,2186	0,5654	0,2015	1,0758	-0,8742
120	867	72	0	43	306,79	201,11	239,62	1,5255	1,1915	0,7811	15,47	84,23	0,1837	13,72	76,50	0,1793	12,00	66,66	0,1800	0,5031	0,1797	0,9863	-0,8066
121	874	72	1	43	247,71	165,76	207,11	1,4944	1,2495	0,8361	7,01	63,49	0,1104	9,40	52,58	0,1788	9,48	46,75	0,2028	0,5155	0,1908	1,0428	-0,8520
122	362	30	1	43	316,13	216,03	249,63	1,4634	1,1555	0,7896	17,37	81,03	0,2144	20,68	74,49	0,2776	17,48	74,62	0,2343	0,5343	0,2559	0,9726	-0,7167
123	313	26	1	43	236,88	147,13	205,52	1,6100	1,3969	0,8676	15,48	70,90	0,2183	11,86	61,56	0,1927	11,49	57,38	0,2002	0,5751	0,1965	1,1322	-0,9358
124	386	32	1	43	303,55	198,27	222,50	1,5310	1,1222	0,7330	22,11	104,68	0,2112	25,35	101,66	0,2494	17,52	98,72	0,1775	0,4986	0,2134	0,9276	-0,7142
125	398	33	0	43	328,24	223,73	269,61	1,4671	1,2051	0,8214	21,77	93,56	0,2327	21,76	91,63	0,2375	25,17	75,84	0,3319	0,5657	0,2847	1,0132	-0,7285
126	417	34	0	43	295,88	195,11	237,09	1,5165	1,2152	0,8013	18,49	78,48	0,2356	16,51	81,42	0,2028	12,50	75,80	0,1649	0,5240	0,1838	1,0082	-0,8244
127	431	35	0	43	365,95	249,34	291,93	1,4677	1,1708	0,7977	25,66	97,35	0,2636	21,57	83,50	0,2583	16,77	70,51	0,2378	0,5457	0,2481	0,9843	-0,7362
128	294	24	0	43	322,47	211,41	235,13	1,5253	1,1122	0,7292	19,00	94,78	0,2005	27,45	87,18	0,3149	22,91	80,64	0,2841	0,5282	0,2995	0,9207	-0,6212
129	559	46	1	43	269,58	180,02	216,08	1,4975	1,2003	0,8015	15,88	66,45	0,2390	12,91	63,46	0,2034	14,51	20,59	0,7047	0,6298	0,4541	1,0009	-0,5469
130	382	31	1	43	284,63	192,10	216,86	1,4817	1,1289														

Estimativa Médico-Legal da Idade pela Proporção Polpa/Dente numa População Portuguesa: Comparação entre o Método de Cameriere e o Método de Kvaal em Caninos

148	405	33	0	43	349,58	241,88	271,64	1,4453	1,1230	0,7770	19,52	75,03	0,2602	16,70	70,73	0,2361	11,76	64,71	0,1817	0,5156	0,2089	0,9500	-0,7411
149	342	28	1	43	226,75	146,56	177,84	1,5471	1,2134	0,7843	10,37	60,02	0,1728	9,52	50,58	0,1882	9,52	45,34	0,2100	0,5137	0,1991	0,9989	-0,7998
150	364	30	1	43	304,20	205,63	249,67	1,4794	1,2142	0,8207	9,99	73,44	0,1360	16,98	66,51	0,2553	14,52	58,49	0,2482	0,5349	0,2518	1,0175	-0,7657
151	704	58	0	43	293,88	203,16	242,06	1,4465	1,1915	0,8237	22,45	75,63	0,2968	15,48	63,76	0,2428	13,49	52,27	0,2581	0,5626	0,2504	1,0076	-0,7571
152	716	59	0	43	317,40	211,54	257,23	1,5004	1,2160	0,8104	18,39	76,50	0,2404	21,24	78,03	0,2722	16,78	73,48	0,2284	0,5535	0,2503	1,0132	-0,7629
153	678	56	1	43	325,88	237,10	259,74	1,3744	1,0955	0,7970	10,54	68,73	0,1534	5,57	64,04	0,0870	5,53	44,40	0,1245	0,4515	0,1058	0,9463	-0,8405
154	301	25	0	43	355,54	241,25	273,53	1,4737	1,1338	0,7693	21,75	97,37	0,2234	22,44	76,50	0,2933	10,41	72,24	0,1441	0,5128	0,2187	0,9516	-0,7329
155	360	30	0	43	319,67	199,68	268,19	1,6009	1,3431	0,8390	17,89	88,69	0,2017	12,02	80,44	0,1494	15,59	78,61	0,1983	0,5463	0,1739	1,0910	-0,9172
156	668	55	0	43	401,97	280,39	312,60	1,4336	1,1149	0,7777	24,50	84,49	0,2900	15,53	81,17	0,1913	13,29	76,48	0,1738	0,5095	0,1825	0,9463	-0,7637
157	736	61	0	43	316,27	225,42	263,53	1,4030	1,1691	0,8332	15,58	70,64	0,2206	13,02	69,00	0,1887	13,92	55,50	0,2508	0,5325	0,2198	1,0012	-0,7814
158	347	28	1	43	232,93	148,50	192,02	1,5686	1,2931	0,8244	15,39	52,90	0,2909	14,64	57,54	0,2544	13,48	45,31	0,2975	0,5921	0,2760	1,0587	-0,7827
159	404	33	1	43	326,47	230,35	248,88	1,4173	1,0804	0,7623	10,63	67,51	0,1575	6,14	61,70	0,0995	8,53	51,79	0,1647	0,4529	0,1321	0,9214	-0,7893
160	481	40	1	43	309,54	215,98	254,56	1,4332	1,1786	0,8224	16,73	74,82	0,2236	16,77	72,50	0,2313	17,67	69,41	0,2546	0,5421	0,2429	1,0005	-0,7576
161	377	31	1	43	285,40	181,48	221,36	1,5726	1,2197	0,7756	26,11	86,41	0,3022	16,50	76,32	0,2162	10,68	62,07	0,1721	0,5372	0,1941	0,9977	-0,8036
162	862	71	0	43	291,47	180,00	238,03	1,6193	1,3224	0,8167	14,08	68,00	0,2071	11,40	68,20	0,1672	14,87	64,69	0,2299	0,5486	0,1985	1,0695	-0,8710
163	866	72	0	43	304,25	201,47	206,51	1,5102	1,0250	0,6788	23,58	63,51	0,3713	18,02	67,64	0,2664	15,56	52,58	0,2959	0,5275	0,2812	0,8519	-0,5707
164	460	38	1	43	308,96	206,70	253,93	1,4947	1,2285	0,8219	19,54	90,35	0,2163	23,54	91,85	0,2563	27,71	74,99	0,3695	0,5785	0,3129	1,0252	-0,7123
165	254	21	1	43	324,52	210,14	245,24	1,5443	1,1670	0,7557	18,55	92,00	0,2016	16,54	79,43	0,2082	18,84	82,42	0,2286	0,5122	0,2184	0,9614	-0,7430
166	309	25	1	43	293,62	209,11	247,95	1,4041	1,1857	0,8445	15,39	64,29	0,2394	11,97	57,50	0,2082	11,62	43,91	0,2646	0,5485	0,2364	1,0151	-0,7787
167	484	40	1	43	253,49	164,11	195,23	1,5446	1,1896	0,7702	8,62	64,90	0,1328	7,49	65,06	0,1151	6,98	62,34	0,1120	0,4639	0,1135	0,9799	-0,8664
168	503	41	1	43	260,25	178,30	210,79	1,4596	1,1822	0,8100	17,02	82,44	0,2065	13,64	74,65	0,1827	14,05	63,83	0,2201	0,5203	0,2014	0,9961	-0,7947
169	366	30	1	43	264,37	162,24	200,16	1,6295	1,2337	0,7571	17,44	69,46	0,2511	12,40	58,97	0,2103	13,80	54,12	0,2550	0,5414	0,2326	0,9954	-0,7628
170	396	33	1	43	248,62	164,19	193,24	1,5142	1,1769	0,7773	15,27	68,19	0,2239	15,44	64,35	0,2399	11,60	49,53	0,2342	0,5305	0,2371	0,9771	-0,7400
171	667	55	1	43	284,24	184,46	236,88	1,5409	1,2842	0,8334	21,80	71,43	0,3052	15,83	63,88	0,2478	12,39	56,50	0,2193	0,5780	0,2336	1,0588	-0,8252
172	340	28	1	43	310,19	191,46	242,14	1,6201	1,2647	0,7806	27,14	95,72	0,2835	22,06	87,30	0,2527	22,17	67,54	0,3282	0,5820	0,2905	1,0227	-0,7322
173	511	42	0	43	268,19	178,03	203,21	1,5064	1,1414	0,7577	30,42	98,60	0,3085	30,15	90,04	0,3349	22,37	85,45	0,2618	0,5609	0,2983	0,9496	-0,6513
174	393	32	1	43	307,76	211,86	264,38	1,4527	1,2479	0,8590	15,07	89,14	0,1691	18,51	85,79	0,2158	17,58	84,43	0,2082	0,5400	0,2120	1,0535	-0,8415
175	590	49	1	43	320,40	209,18	269,74	1,5317	1,2895	0,8419	24,54	83,24	0,2948	23,73	94,36	0,2515	25,61	82,33	0,3111	0,5978	0,2813	1,0657	-0,7844
176	661	55	0	43	285,82	202,00	230,52	1,4150	1,1412	0,8065	15,00	78,36	0,1914	8,64	71,26	0,1212	12,66	62,83	0,2015	0,4924	0,1614	0,9739	-0,8125
177	912	76	0	43	290,52	188,64	222,62	1,5401	1,1801	0,7763	19,71	83,72	0,2354	22,03	82,99	0,2655	21,93	80,81	0,2714	0,5437	0,2684	0,9732	-0,7048
178	437	36	1	43	307,44	202,68	236,92	1,5169	1,1689	0,7706	17,61	83,64	0,2105	16,61	75,47	0,2201	17,55	77,89	0,2253	0,5191	0,2227	0,9698	-0,7471
179	985	82	1	43	222,68	146,44	186,50	1,5206	1,2736	0,8375	12,58	49,34	0,2550	9,44	42,03	0,2246	7,96	32,69	0,2435	0,5668	0,2341	1,0555	-0,8215
180	313	26	1	43	306,64	201,60	263,82	1,5210	1,3086	0,8604	21,22	77,58	0,2735	16,70	69,51	0,2403	10,05	54,82	0,1833	0,5732	0,2118	1,0845	-0,8727
181	405	33	0	43	306,44	192,65	245,06	1,5907	1,2720	0,7997	21,75	85,52	0,2543	19,51	77,41	0,2520	15,56	74,02	0,2102	0,5577	0,2311	1,0359	-0,8047
182	683	56	1	43	271,05	174,02	197,15	1,5576	1,1329	0,7274	16,44	69,40	0,2369	11,79	64,45	0,1829	8,26	47,64	0,1734	0,4907	0,1782	0,9301	-0,7520
183	284	23	1	43	276,50	177,13	197,97	1,5610	1,1177	0,7160	13,80	64,44	0,2142	13,36	59,19	0,2257	10,70	51,28	0,2087	0,4964	0,2172	0,9168	-0,6996
184	476	39	0	43	302,12	159,67	201,14	1,8922	1,2597	0,6658	24,52	110,30	0,2223	40,56	97,97	0,4140	26,09	91,86	0,2840	0,5692	0,3490	0,9627	-0,6137
185	480	40	0	43	371,45	218,53	293,57	1,6998	1,3434	0,7903	33,57	120,81	0,2779	35,83	108,57	0,3300	28,07	85,36	0,3288	0,6141	0,3294	1,0669	-0,7374
186	300	25	1	43	311,65	212,65	238,30	1,4656	1,1206	0,7646	11,55	66,89	0,1727	11,95	63,16	0,1892	10,86	52,48	0,2069	0,4908	0,1981	0,9426	-0,7446
187	663	55	1	43	249,39	168,05	185,70	1,4840	1,1050	0,7446	12,60	56,60	0,2226	15,56	55,11	0,2823	15,63	54,54	0,2866	0,5282	0,2845	0,9248	-0,6404
188	379	31	1	43	328,57	233,66	268,17	1,4062	1,1477	0,8162	23,07	81,46	0,2832	21,18	86,74	0,2442	17,55	80,38	0,2183	0,5419	0,2313	0,9819	-0,7507
189	310	26	1	43	294,83	191,19	229,76	1,5421	1,2017	0,7793	15,33	68,52	0,2237	12,50	60,58	0,2063	11,50	52,95	0,2172	0,5257	0,2118	0,9905	-0,7788
190	387	32	0	43	312,60	220,87	258,78	1,4153	1,1716	0,8278	16,76	78,57	0,2133	12,62	64,49	0,1957	11,09	54,58	0,2032	0,5223	0,1994	0,9997	-0,8003
191	487	40	0	43	310,04	205,34	238,61	1,5099	1,1620	0,7696	23,57	96,72	0,2437	20,13	95,27	0,2113	15,55	88,50	0,1757	0,5125	0,1935	0,9658	-0,7723
192	686	57	1	43	281,86	198,58	237,63	1,4194	1,1966	0,8431	15,06	63,52	0,2371	10,11	50,12	0,2017	4,52	41,57	0,1087	0,5175	0,1552	1,0199	-0,8646
193	437	36	1	43	253,45	161,52	200,53	1,5692	1,2415	0,7912	11,25	72,49	0,1552	12,86	65,21	0,1972	15,55	55,66	0,2794	0,5329	0,2383	1,0164	-0,7781
194	905	75	1	43	293,79	205,54	228,89	1,4294	1,1136	0,7791	15,79	57,53	0,2745	11,51	52,96	0,2173	12,29	48,21	0,2549	0,5279	0,2361	0,9463	-0,7102
195	627	52	0	43	327,12	221,52	274,41	1,4767	1,2388	0,8389	20,76	86,22	0,2408	17,13	74,67	0,2294	13,47	69,74	0,1931	0,5482	0,2113	1,0388	-0,8275
196	662	55	0	43	313,51	199,55	238,03	1,5711	1,1928	0,7592	26,24	99,72	0,2631	21,53	93,47	0,2303	18,58	80,53	0,2307	0,5353	0,2305	0,9760	-0,7455
197	670	55	0	43	301,39	186,53	226,40	1,6158	1,2137	0,7512	19,84	92,69	0,2140	21,79	92,20	0,2363	12,90	83,23	0,1550	0,5141	0,1957	0,9825	-0,7868
198	354	29	1	43	295,09	184,87	208,72	1,5962	1,1290														

Estimativa Médico-Legal da Idade pela Proporção Polpa/Dente numa População Portuguesa: Comparação entre o Método de Cameriere e o Método de Kvaal em Caninos

AreaTotal	AreaPolpa	PT	Comp.DENTE	Comp.POLPA	Est_Cameriere	PRE_1	RES_1
24228	3618	0,1493	382	264	20,38	525,32268	-268,32268
22829	2840	0,1244	361	281	33,66	532,54562	377,45438
17766	2601	0,1464	289	206	21,94	526,17110	-237,17110
18052	2025	0,1122	326	237	40,17	536,08846	-234,08846
19672	3031	0,1541	330	258	17,85	523,94767	-207,94767
9121	958	0,1050	237	131	43,98	538,15831	251,84169
14066	2135	0,1518	245	187	19,07	524,61190	-24,61190
31195	4227	0,1355	365	283	27,74	529,32960	-248,32960
26889	4047	0,1505	384	289	19,75	524,98185	-111,98185
22763	3699	0,1625	384	314	13,36	521,50691	-28,50691
20620	4514	0,2189	341	249	-16,69	505,16122	94,83878
20505	3906	0,1905	320	252	-1,55	513,39694	-91,39694
18762	3532	0,1883	289	242	-0,36	514,04518	-152,04518
15568	3391	0,2178	276	218	-16,11	505,47851	377,52149
20203	4041	0,2000	354	252	-6,63	510,63571	101,36429
22451	3788	0,1687	334	220	10,05	519,70396	-223,70396
25695	4954	0,1928	348	257	-2,78	512,72760	-87,72760
20553	3287	0,1599	328	233	14,73	522,25231	-225,25231
19742	2877	0,1457	305	239	22,30	526,36620	76,63380
29245	5642	0,1929	362	288	-2,85	512,69234	135,30766
23877	4017	0,1682	339	275	10,30	519,84471	213,15529
21851	3333	0,1525	344	260	18,67	524,39499	-150,39499
24022	3223	0,1342	366	241	28,46	529,71607	-162,71607
23032	3762	0,1633	357	271	12,91	521,26427	-130,26427
20187	2922	0,1447	349	242	22,82	526,65111	198,34889
30790	6259	0,2033	373	314	-8,37	509,69099	152,30901
15929	3455	0,2169	300	248	-15,62	505,74468	236,25532
20536	4192	0,2041	311	247	-8,82	509,44498	-249,44498
23216	4350	0,1874	354	270	0,11	514,30077	-91,30077
19822	2716	0,1370	350	252	26,94	528,89005	-155,89005
15794	2019	0,1278	304	213	31,83	531,55172	-34,55172
23520	3908	0,1662	370	295	11,41	520,44761	-140,44761
24547	3309	0,1348	385	250	28,12	529,53238	-236,53238
22282	4038	0,1812	349	261	3,39	516,08222	-185,08222
20048	3460	0,1726	339	259	7,99	518,58471	212,41529
22685	3541	0,1561	386	307	16,77	523,36311	212,63689
23416	3377	0,1442	322	211	23,10	526,80438	61,19562
17419	2272	0,1304	272	192	30,45	530,79868	58,20132
25452	5043	0,1981	296	213	-5,63	511,18106	-164,18106
23463	4848	0,2066	337	300	-10,15	508,72238	-224,72238
19982	2971	0,1487	344	284	20,72	525,51031	-219,51031
21052	3648	0,1733	350	264	7,61	518,38206	-11,38206
20422	2880	0,1410	331	207	24,80	527,72963	-253,72963
19516	2978	0,1526	319	228	18,64	524,37770	-35,37770
20378	3356	0,1647	335	265	12,20	520,87327	-26,87327
17265	3830	0,2218	300	233	-18,25	504,31445	-2,31445
15156	2807	0,1852	317	253	1,26	514,92767	6,07233
15884	2654	0,1671	337	237	10,92	520,17817	259,82183
19024	3030	0,1593	320	231	15,08	522,44224	58,55776
33653	5800	0,1723	421	322	8,11	518,65385	19,34615
18776	2807	0,1495	332	238	20,29	525,27400	274,72600
21203	3755	0,1771	319	255	5,58	517,27742	74,72258
27287	5437	0,1993	374	291	-6,22	510,85807	109,14193
22634	3146	0,1390	335	263	25,88	528,31780	258,68220
21340	2850	0,1336	358	259	28,78	529,89474	-271,89474
19673	2748	0,1397	300	205	25,52	528,11805	87,88195
34628	8182	0,2363	398	332	-25,95	500,12852	188,87148
26437	5005	0,1893	361	281	-0,93	513,73656	218,26344
19064	2631	0,1380	315	215	26,41	528,60339	349,39661
16864	3345	0,1984	279	186	-5,74	511,11910	406,88090
27160	4882	0,1797	401	280	4,17	516,50899	-137,50899
19249	2745	0,1426	290	201	23,96	527,27170	303,72830
27009	5010	0,1855	405	275	1,11	514,84464	-173,84464
25571	3320	0,1298	380	292	30,76	530,97187	-194,97187
21728	3613	0,1663	323	234	11,35	520,41091	206,58909
19451	3560	0,1830	339	253	2,43	515,56024	232,43976
30646	5027	0,1640	389	257	12,54	521,06246	247,93754

Estimativa Médico-Legal da Idade pela Proporção Polpa/Dente numa População Portuguesa: Comparação entre
o Método de Cameriere e o Método de Kvaal em Caninos

11621	1741	0,1498	252	163	20,12	525,18255	201,81745
22312	4293	0,1924	352	288	-2,57	512,84133	-201,84133
22546	3650	0,1619	332	242	13,69	521,68346	-204,68346
22140	3725	0,1682	358	281	10,30	519,84173	-47,84173
20249	3247	0,1604	439	259	14,50	522,12899	-172,12899
17524	2867	0,1636	313	224	12,77	521,18713	-150,18713
18782	3157	0,1681	335	242	10,38	519,88839	198,11161
18370	3833	0,2087	345	253	-11,23	508,13355	128,86645
28116	4246	0,1510	361	236	19,48	524,83420	-132,83420
24790	5503	0,2220	362	275	-18,33	504,27140	-103,27140
23890	3910	0,1637	342	246	12,74	521,16899	159,83101
19336	3960	0,2048	324	230	-9,17	509,25084	24,74916
16731	2988	0,1786	291	227	4,79	516,84481	288,15519
19030	5836	0,3067	341	252	-63,45	479,73277	-120,73277
33662	6148	0,1826	401	328	2,63	515,67175	-61,67175
17587	3246	0,1846	300	238	1,60	515,11283	5,88717
15875	2033	0,1281	280	186	31,71	531,48519	-45,48519
18356	4912	0,2676	336	223	-42,63	491,05540	-12,05540
21506	3266	0,1519	363	291	19,03	524,58868	-16,58868
19127	3323	0,1737	366	250	7,38	518,25217	-1,25217
15609	2757	0,1766	306	262	5,83	517,41323	232,58677
20561	3334	0,1622	341	258	13,55	521,60800	249,39200
19640	3348	0,1705	336	260	9,12	519,19822	48,80178
21919	3029	0,1382	337	253	26,31	528,55071	174,44929
26991	5174	0,1917	325	253	-2,19	513,04825	-168,04825
18634	3585	0,1924	357	265	-2,56	512,84637	-196,84637
21726	4359	0,2006	335	255	-6,96	510,45741	104,54259
13495	2527	0,1873	303	226	0,17	514,33445	163,66555
22618	5234	0,2314	340	277	-23,35	501,54081	108,45919
19481	2838	0,1457	329	219	22,32	526,38054	-167,38054
19008	3294	0,1733	350	237	7,61	518,37909	-210,37909
29586	5336	0,1804	409	312	3,85	516,33342	150,66658
30162	4692	0,1556	420	328	17,06	523,51794	176,48206
18735	2456	0,1311	317	229	30,09	530,60767	219,39233
23358	3060	0,1310	358	235	30,14	530,63292	-24,63292
16918	3431	0,2028	294	222	-8,11	509,82964	164,17036
40393	8045	0,1992	213	371	-6,17	510,88247	56,11753
31355	5466	0,1743	360	261	7,06	518,08041	99,91959
18673	2435	0,1304	309	193	30,46	530,80741	-70,80741
23539	2750	0,1168	326	206	37,69	534,74070	-168,74070
15822	3172	0,2005	279	206	-6,87	510,50227	-178,50227
14276	2807	0,1966	266	203	-4,82	511,61973	233,38027
19312	3083	0,1596	328	203	14,88	522,33527	-91,33527
22295	4405	0,1976	321	254	-5,33	511,34324	-189,34324
20740	5067	0,2443	310	249	-30,23	497,80249	-171,80249
16663	2505	0,1503	331	243	19,84	525,03243	-146,03243
22066	4049	0,1835	331	271	2,18	515,42378	40,57622
22126	3919	0,1771	346	260	5,57	517,27037	-106,27037
16899	2607	0,1543	319	224	17,75	523,89186	293,10814
22238	4137	0,1860	321	282	0,82	514,68841	124,31159
20246	2639	0,1303	290	215	30,49	530,82347	1,17653
23548	3768	0,1600	364	283	14,69	522,22751	1,77249
20173	3358	0,1665	310	252	11,25	520,35963	346,64037
14814	2623	0,1771	301	202	5,60	517,28766	356,71234
19955	3653	0,1831	340	269	2,41	515,54927	-153,54927
17899	3552	0,1984	311	251	-5,79	511,09148	-198,09148
20727	3410	0,1645	285	208	12,29	520,92186	-134,92186
25946	5332	0,2055	339	277	-9,55	509,04674	-111,04674
19535	3047	0,1560	300	234	16,84	523,39727	-106,39727
23212	4003	0,1725	347	264	8,06	518,62293	-87,62293
26363	5696	0,2161	368	312	-15,17	505,98796	-211,98796
21281	4966	0,2334	349	289	-24,39	500,97722	58,02278
21467	4132	0,1925	347	278	-2,61	512,81994	-130,81994
13977	2749	0,1967	270	199	-4,85	511,60334	143,39666
18685	4243	0,2271	302	228	-21,05	502,79487	-112,79487
17051	3832	0,2247	315	239	-19,80	503,47375	-217,47375
14033	3030	0,2159	249	189	-15,10	506,02874	137,97126
23093	4687	0,2030	344	270	-8,20	509,78323	181,21677

Estimativa Médico-Legal da Idade pela Proporção Polpa/Dente numa População Portuguesa: Comparação entre o Método de Cameriere e o Método de Kvaal em Caninos

26245	5544	0,2112	368	284	-12,61	507,38459	-166,38459
23414	3508	0,1498	341	254	20,11	525,17968	-201,17968
19508	3354	0,1719	344	266	8,34	518,77488	284,22512
18080	3446	0,1906	299	193	-1,61	513,36587	-177,36587
24155	4291	0,1776	366	273	5,29	517,11899	-259,11899
21260	3515	0,1653	351	232	11,85	520,68593	201,31407
16060	2134	0,1329	301	213	29,14	530,09041	233,90959
15448	2615	0,1693	307	255	9,75	519,54327	-108,54327
26502	6224	0,2349	392	312	-25,19	500,54361	76,45639
21283	4245	0,1995	319	237	-6,33	510,79937	-205,79937
20853	3619	0,1735	332	255	7,47	518,30586	-145,30586
20472	3179	0,1553	341	242	17,20	523,59754	-228,59754
30959	6400	0,2067	429	351	-10,20	508,69288	-103,69288
16968	2940	0,1733	297	223	7,62	518,38724	-176,38724
23200	3652	0,1574	350	260	16,07	522,98080	-158,98080
24239	3623	0,1495	362	278	20,30	525,28255	178,71745
18476	3130	0,1694	282	207	9,68	519,50520	196,49480
17133	2945	0,1719	314	240	8,36	518,78617	159,21383
32082	5845	0,1822	386	313	2,87	515,80207	-214,80207
24576	4532	0,1844	383	302	1,69	515,15936	-155,15936
28056	4880	0,1739	409	333	7,27	518,19296	149,80704
20941	3900	0,1862	360	265	0,71	514,62913	221,37087
16607	3188	0,1920	304	249	-2,34	512,96894	-165,96894
21477	3834	0,1785	341	271	4,83	516,86628	-112,86628
21543	2664	0,1237	343	268	34,05	532,76105	-51,76105
19219	4464	0,2323	308	256	-23,81	501,29118	-124,29118
26147	4951	0,1894	378	311	-0,95	513,72656	348,27344
18827	3225	0,1713	333	250	8,67	518,95827	347,04173
23218	4156	0,1790	320	251	4,57	516,72647	-56,72647
27592	5256	0,1905	388	293	-1,55	513,39697	-259,39697
18511	3330	0,1799	340	238	4,09	516,46744	-207,46744
22991	3940	0,1714	342	259	8,63	518,93658	-34,93658
24403	4144	0,1698	369	294	9,46	519,38750	-16,38750
23278	3420	0,1469	328	270	21,66	526,02142	-160,02142
18052	3466	0,1920	304	244	-2,36	512,95919	-116,95919
19307	4114	0,2131	323	268	-13,59	506,85056	160,14944
22249	4435	0,1993	349	263	-6,26	510,83419	-170,83419
20976	3212	0,1531	300	222	18,35	524,22278	-13,22278
23103	1767	0,0765	349	233	59,19	546,43032	-153,43032
20878	3525	0,1688	351	305	9,98	519,67063	70,32937
26302	3796	0,1443	378	281	23,04	526,77367	134,22633
24104	4715	0,1956	363	292	-4,28	511,91325	400,08675
20798	3613	0,1737	316	231	7,38	518,25647	-81,25647
12000	1886	0,1572	267	229	16,20	523,05240	461,94760
21084	5388	0,2555	317	280	-36,21	494,54607	-181,54607
20411	3859	0,1891	333	242	-0,79	513,80995	-108,80995
16381	2801	0,1710	292	215	8,84	519,04687	163,95313
19756	3334	0,1688	336	254	10,03	519,69357	-235,69357
29593	6547	0,2212	359	285	-17,93	504,48868	-28,48868
27591	4487	0,1626	367	276	13,29	521,47071	-41,47071
22491	3297	0,1466	330	262	21,84	526,11642	-226,11642
18233	3916	0,2148	335	261	-14,49	506,36028	156,63972
19114	2040	0,1067	326	256	43,07	537,66698	-158,66698
23128	4368	0,1889	355	266	-0,68	513,86869	-203,86869
21776	2385	0,1095	348	283	41,59	536,85679	-149,85679
29159	6020	0,2065	388	318	-10,06	508,77133	-21,77133
19102	2815	0,1474	336	273	21,42	525,89192	160,10808
18805	4122	0,2192	302	251	-16,85	505,07912	-68,07912
20829	3576	0,1717	326	231	8,47	518,84609	386,15391
19594	3296	0,1682	371	289	10,32	519,85122	107,14878
26593	4238	0,1594	390	312	15,03	522,41536	139,58464
23903	3161	0,1322	375	290	29,48	530,27408	139,72592
21352	3457	0,1619	362	284	13,68	521,67941	-167,67941
19823	3531	0,1781	312	253	5,04	516,97932	89,02068
26915	4377	0,1626	340	257	13,30	521,47141	-264,47141
25275	4139	0,1638	369	283	12,69	523,04886	-266,04886
22012	2125	0,0965	313	248	48,50	551,95885	358,04115
15150	2071	0,1367	299	226	27,11	534,68632	-245,68632

Estimativa Médico-Legal da Idade pela Proporção Polpa/Dente numa População Portuguesa: Comparação entre o Método de Cameriere e o Método de Kvaal em Caninos

19106	2581	0,1351	339	249	27,97	535,37927	-233,37927
19193	3294	0,1716	334	271	8,50	519,66568	-203,66568
18935	2106	0,1112	341	250	40,68	545,64344	244,35656
17809	2403	0,1349	327	252	28,05	535,44665	-35,44665
27644	4271	0,1545	338	255	17,62	527,03077	-246,03077
27365	4319	0,1578	382	276	15,85	525,59892	-112,59892
23343	2792	0,1196	388	278	36,21	542,03725	-49,03725
22903	3930	0,1716	351	247	8,52	519,67937	80,32063
19847	3368	0,1697	313	224	9,53	520,49439	-98,49439
15627	2234	0,1430	272	207	23,77	531,99488	-169,99488
14993	2395	0,1597	293	216	14,83	524,77667	358,22333
21881	3961	0,1810	365	283	3,49	515,62314	96,37686
27230	3844	0,1412	353	341	24,73	532,76467	-236,76467
25070	3300	0,1316	347	255	29,81	536,86606	-111,86606
22096	4291	0,1942	345	279	-3,53	509,95755	-212,95755
17991	1600	0,0889	295	211	52,56	555,22955	47,77045
20360	3749	0,1841	315	252	1,83	514,28520	133,71480
31921	5364	0,1680	378	316	10,41	521,20761	211,79239
21640	2691	0,1244	368	259	33,68	539,99633	-165,99633
23587	3483	0,1477	344	266	21,26	529,96991	-162,96991
20352	2933	0,1441	319	234	23,16	531,49776	-140,49776
15242	3074	0,2017	293	216	-7,51	506,73991	218,26009
24218	4066	0,1679	364	265	10,49	521,27135	140,72865
14351	1853	0,1291	289	182	31,15	537,94620	204,05380
20641	3602	0,1745	326	246	6,96	518,42621	-258,42621
22456	4857	0,2163	364	275	-15,30	500,45645	-77,45645
18908	4104	0,2171	346	267	-15,70	500,12901	-127,12901
13845	2304	0,1664	281	199	11,28	521,90691	-24,90691
18257	4412	0,2417	316	250	-28,81	489,54491	-109,54491
18330	3090	0,1686	338	228	10,12	520,97698	-227,97698
21403	5162	0,2412	367	307	-28,56	489,75117	-158,75117
15598	2664	0,1708	298	228	8,94	520,02435	210,97565
18514	2761	0,1491	321	207	20,48	529,34015	206,65985
20983	3850	0,1835	280	216	2,18	514,56634	73,43366
13416	2255	0,1681	260	209	10,39	521,18910	67,81090
18434	2839	0,1540	296	210	17,88	527,24201	-180,24201
21742	5000	0,2300	326	268	-22,59	494,57298	-210,57298
18898	2900	0,1535	342	275	18,18	527,48006	-221,48006
18183	3254	0,1790	319	254	4,59	516,51180	-9,51180
16785	3557	0,2119	321	257	-12,97	502,33771	-228,33771
19106	2737	0,1433	339	247	23,62	531,86770	-42,86770
17740	3428	0,1932	333	265	-3,01	510,37147	-16,37147
16608	3173	0,1911	301	226	-1,85	511,31038	-9,31038
16041	2651	0,1653	311	226	11,89	522,40143	-1,40143
13139	2462	0,1874	317	181	0,11	512,88938	267,11062
20056	3338	0,1664	333	224	11,27	521,89826	59,10174
25165	4184	0,1663	328	228	11,36	521,97194	16,02806
18552	3232	0,1742	312	197	7,12	518,55266	281,44734
19057	2544	0,1335	327	222	28,81	536,06490	55,93510
18234	2705	0,1483	336	231	20,90	529,67610	90,32390
19663	3303	0,1680	347	241	10,44	521,23315	265,76685
22976	3933	0,1712	373	232	8,74	519,85769	-261,85769
15187	3176	0,2091	285	210	-11,48	503,53727	112,46273
21672	4547	0,2098	358	266	-11,84	503,24324	185,75676
17817	3104	0,1742	332	216	7,12	518,55154	213,44846
18851	2740	0,1454	301	219	22,50	530,96584	347,03416
11823	1875	0,1586	280	207	15,44	525,27213	392,72787
25153	4404	0,1751	396	297	6,65	518,17616	-139,17616
21042	4804	0,2283	313	235	-21,70	495,28878	335,71122
26546	5883	0,2216	394	312	-18,13	498,16600	-157,16600
24356	4262	0,1750	381	289	6,71	518,21950	-182,21950
15735	2888	0,1835	279	196	2,15	514,54139	212,45861
18288	2418	0,1322	314	255	29,49	536,61385	211,38615
19147	582	0,0304	333	266	83,74	580,40499	188,59501
15525	3070	0,1977	293	233	-5,42	508,43184	218,56816
17310	3190	0,1843	317	237	1,75	514,22027	-203,22027
18720	3982	0,2127	318	239	-13,39	501,99439	-184,99439
17137	3226	0,1882	339	247	-0,36	512,51668	-40,51668

Estimativa Médico-Legal da Idade pela Proporção Polpa/Dente numa População Portuguesa: Comparação entre o Método de Cameriere e o Método de Kvaal em Caninos

17828	3063	0,1718	327	207	8,40	519,58684	-169,58684
14559	2067	0,1420	247	172	24,30	532,41793	-161,41793
13623	3304	0,2425	296	235	-29,28	489,17062	228,82938
20700	3633	0,1755	361	280	6,43	517,99605	119,00395
32300	4809	0,1489	397	275	20,61	529,44549	-137,44549
29188	4369	0,1497	390	273	20,19	529,10171	-128,10171
20576	4260	0,2070	321	254	-10,37	504,43566	176,56434
16516	2844	0,1722	307	209	8,19	519,41986	14,58014
17264	3281	0,1900	310	221	-1,32	511,74211	293,25789
16221	3675	0,2266	295	205	-20,77	496,04018	-137,04018
26495	4774	0,1802	402	307	3,94	515,98428	-61,98428
18596	2917	0,1569	296	208	16,37	526,01509	-5,01509
14786	2538	0,1716	275	202	8,49	519,65545	-33,65545
17416	3212	0,1844	325	256	1,68	514,15938	-35,15938
17789	3576	0,2010	345	254	-7,16	507,02224	0,97776
17952	2315	0,1290	299	185	31,23	538,01714	-21,01714
18309	5426	0,2964	320	278	-57,95	466,02127	283,97873
16731	2482	0,1483	333	265	20,90	529,67690	241,32310
17326	3855	0,2225	329	245	-18,60	497,78638	70,21362
17904	3613	0,2018	317	274	-7,58	506,68877	196,31123
20784	4110	0,1977	329	234	-5,42	508,43068	-163,43068
21923	3641	0,1661	339	264	11,45	522,04994	-206,04994
23574	4852	0,2058	379	296	-9,72	504,95922	110,04078
14034	2034	0,1449	288	176	22,72	531,14504	146,85496
18327	2904	0,1585	325	259	15,52	525,32995	84,67005
15616	1828	0,1171	319	193	37,57	543,13315	-184,13315
19881	2685	0,1351	317	202	27,98	535,39427	-227,39427
23393	4165	0,1780	435	342	5,08	516,90474	150,09526
27453	4215	0,1535	423	327	18,14	527,44576	172,55424
18111	2139	0,1181	315	233	37,01	542,68347	207,31653
18458	4395	0,2381	325	251	-26,92	491,07280	14,92720
15096	2585	0,1712	297	222	8,71	519,83241	154,16759
22501	4550	0,2022	383	274	-7,80	506,51040	60,48960
23298	3732	0,1602	348	260	14,59	524,58562	93,41438
18362	2857	0,1556	312	186	17,04	526,56069	-66,56069
21297	3184	0,1495	349	246	20,28	529,17920	-163,17920
17964	3705	0,2062	312	256	-9,95	504,77607	-172,77607
18263	4268	0,2337	307	214	-24,57	492,97013	252,02987
19963	3942	0,1975	341	257	-5,27	508,55237	-77,55237
20148	3076	0,1527	325	224	18,60	527,81774	-205,81774
20483	5313	0,2594	334	272	-38,26	481,92173	-155,92173
20851	3555	0,1705	341	258	9,10	520,15152	-141,15152
21258	4236	0,1993	325	257	-6,23	507,77787	48,22213
19001	3722	0,1959	351	288	-4,43	509,23228	-98,23228
17136	3233	0,1887	316	229	-0,58	512,33627	304,66373
16454	3265	0,1984	312	256	-5,78	508,13662	130,86338
13412	2105	0,1569	281	193	16,32	525,97754	6,02246
22210	4401	0,1982	345	285	-5,63	508,25619	15,74381
29608	5702	0,1926	372	325	-2,67	510,65211	356,34789
16453	2852	0,1733	305	236	7,58	518,92717	355,07283
19352	4633	0,2394	323	246	-27,61	490,51428	-128,51428
15561	2248	0,1445	308	192	22,97	531,34718	-218,34718
14268	2865	0,2008	278	212	-7,04	507,11863	-121,11863
22818	4128	0,1809	347	254	3,55	515,67253	-117,67253
20285	3602	0,1776	306	221	5,33	517,10906	-100,10906
21034	3678	0,1749	349	268	6,78	518,27452	-87,27452
24217	4920	0,2032	364	279	-8,30	506,10189	-212,10189
15783	2237	0,1417	294	209	24,42	532,52083	26,47917
19676	4343	0,2207	317	249	-17,66	498,54857	-116,54857
15755	4081	0,2590	285	231	-38,07	482,07525	172,92475
16241	3015	0,1856	297	209	1,03	513,63763	-123,63763
25190	5504	0,2185	344	268	-16,47	499,50608	-213,50608
14334	2954	0,2061	265	195	-9,86	504,84591	139,15409
19893	3238	0,1628	354	258	13,22	523,47370	167,52630
21859	4629	0,2118	360	308	-12,89	502,40183	-161,40183
13973	2731	0,1954	299	206	-4,19	509,41982	-185,41982
26006	5238	0,2014	369	273	-7,37	506,85367	296,14633
17050	3331	0,1954	321	265	-4,15	509,45499	-173,45499

Estimativa Médico-Legal da Idade pela Proporção Polpa/Dente numa População Portuguesa: Comparação entre
o Método de Cameriere e o Método de Kvaal em Caninos

21815	3947	0,1809	351	251	3,54	515,66360	-257,66360
23384	3872	0,1656	352	216	11,72	522,26411	199,73589
19008	2422	0,1274	290	196	32,05	538,67729	225,32271
18231	4428	0,2429	325	271	-29,46	489,01923	-78,01923
18872	3646	0,1932	350	281	-2,99	510,38839	66,61161
15079	2635	0,1747	266	201	6,84	518,32330	-213,32330
25564	4562	0,1785	354	262	4,86	516,72868	-143,72868
20957	3973	0,1896	329	253	-1,07	511,94425	-216,94425
25038	5092	0,2034	392	330	-8,41	506,01252	-101,01252
16409	2311	0,1408	297	227	24,90	532,90680	-190,90680
20028	3551	0,1773	373	276	5,48	517,22426	-153,22426
20558	3574	0,1738	333	248	7,31	518,70897	185,29103
22850	3626	0,1587	326	231	15,39	525,23002	190,76998
22648	3328	0,1469	353	273	21,65	530,28023	147,71977
26289	5391	0,2051	367	285	-9,32	505,28316	-204,28316
25458	5036	0,1978	368	298	-5,45	508,40154	-148,40154
17826	2829	0,1587	334	263	15,39	525,22414	142,77586
18615	2609	0,1402	321	203	25,27	533,19992	202,80008
14054	2120	0,1508	294	199	19,57	528,60198	-181,60198
20084	3634	0,1809	320	247	3,54	515,65952	-111,65952
20753	3678	0,1772	327	251	5,51	517,25625	-36,25625
17851	4086	0,2289	309	252	-22,01	495,03527	-118,03527
30370	5934	0,1954	385	248	-4,16	509,44484	352,55516
28711	6783	0,2363	363	256	-25,93	491,87155	374,12845
19031	2149	0,1129	335	211	39,78	544,91299	-84,91299
23104	4100	0,1775	369	269	5,39	517,15688	-263,15688
22328	4438	0,1988	360	295	-5,96	507,99389	-198,99389
20007	2947	0,1473	338	249	21,46	530,12802	-46,12802
18427	2510	0,1362	324	236	27,37	534,89556	-31,89556
19244	3066	0,1593	314	237	15,05	524,95680	-158,95680
19327	3213	0,1662	314	227	11,37	521,97991	-125,97991
21969	2965	0,1350	345	272	28,03	535,43327	131,56673
20198	2918	0,1445	319	241	22,97	531,34458	-191,34458
18611	2566	0,1379	302	222	26,48	534,18065	-23,18065
22900	2835	0,1238	346	232	33,98	540,23456	-147,23456
23525	4148	0,1763	376	301	6,00	517,64518	72,35482
17019	2849	0,1674	288	213	10,75	521,48230	139,51770
20078	2697	0,1343	337	275	28,37	535,70713	376,29287
14099	2292	0,1626	297	229	13,33	523,56234	-86,56234
13176	2537	0,1925	265	194	-2,65	510,66760	474,33240
18262	3289	0,1801	337	266	3,98	516,02048	-203,02048
18968	3752	0,1978	379	275	-5,45	508,40549	-103,40549
18948	3659	0,1931	301	232	-2,95	510,42659	172,57341
18692	2207	0,1181	323	237	37,03	542,69771	-258,69771
26283	4085	0,1554	357	272	17,13	526,63355	-50,63355
29271	5752	0,1965	348	286	-4,76	508,96388	-28,96388
19529	4217	0,2159	323	270	-15,11	500,60885	-200,60885
15542	3976	0,2558	311	235	-36,36	483,45406	179,54594
22423	3771	0,1682	335	256	10,34	521,14925	-142,14925
19731	3406	0,1726	319	232	7,97	519,23703	-209,23703
23247	3689	0,1587	355	284	15,39	525,23000	-138,23000
26049	4222	0,1621	361	272	13,59	523,77117	-36,77117
17439	3348	0,1920	315	253	-2,35	510,90998	175,09002
15405	2220	0,1441	295	233	23,16	531,49971	-94,49971
22143	3397	0,1534	322	230	18,20	527,49876	377,50124
24767	3545	0,1431	346	239	23,68	531,91906	95,08094
21909	4274	0,1951	358	274	-4,00	509,57839	152,42161
25607	4024	0,1571	372	295	16,21	525,89344	144,10656
20794	4147	0,1994	355	286	-6,32	507,70632	-153,70632
15536	2684	0,1728	285	192	7,89	519,17756	86,82244
26000	5099	0,1961	373	310	-4,55	509,13295	-252,13295
23122	2891	0,1250	352	275	31,71	532,47714	-275,47714
16053	2123	0,1322	246	117	28,37	530,87029	379,12971
14888	2602	0,1748	285	225	8,73	521,40278	-232,40278
16054	2390	0,1489	260	204	20,70	527,16917	-225,16917
16759	2745	0,1638	286	224	13,80	523,84725	-207,84725
19559	2756	0,1409	348	277	24,37	528,94269	261,05731
17227	2245	0,1303	291	230	29,27	531,30016	-31,30016

Estimativa Médico-Legal da Idade pela Proporção Polpa/Dente numa População Portuguesa: Comparação entre
o Método de Cameriere e o Método de Kvaal em Caninos

26264	3319	0,1264	328	269	31,09	532,17918	-251,17918
19338	2604	0,1347	349	266	27,26	530,33421	-117,33421
19592	2909	0,1485	311	252	20,88	527,25680	-34,25680
25097	4355	0,1735	325	277	9,31	521,67996	78,32004
21202	4905	0,2313	337	282	-17,40	508,80657	-86,80657
16524	2353	0,1424	292	210	23,69	528,61051	-166,61051
15418	3225	0,2092	317	253	-7,15	513,74380	369,25620
18697	2990	0,1599	319	250	15,59	524,70977	87,29023
24994	4594	0,1838	317	247	4,56	519,39172	-223,39172
21792	4016	0,1843	345	271	4,34	519,28402	-94,28402
17937	2028	0,1131	264	201	37,24	535,14225	-238,14225
15395	1778	0,1155	253	203	36,11	534,60129	68,39871
17340	2760	0,1592	302	226	15,94	524,87656	123,12344
22556	3725	0,1651	323	251	13,18	523,54624	209,45376
20334	3370	0,1657	328	260	12,91	523,41538	-149,41538
21009	4426	0,2107	336	275	-7,85	513,40971	-146,40971
12272	1818	0,1481	208	163	21,03	527,33181	-136,33181
13113	2475	0,1887	243	203	2,28	518,29186	206,70814
18934	3293	0,1739	302	218	9,13	521,59241	140,40759
14430	2402	0,1665	268	225	12,57	523,25363	218,74637
20594	3780	0,1835	290	226	4,68	519,44860	-259,44860
14649	2938	0,2006	280	225	-3,18	515,66110	-92,66110
19886	3607	0,1814	296	216	5,68	519,93058	-146,93058
18868	3504	0,1857	331	265	3,68	518,96709	-21,96709
17278	3194	0,1849	292	233	4,07	519,15677	-139,15677
17010	2767	0,1627	331	289	14,32	524,09741	-231,09741
18056	3234	0,1791	309	254	6,73	520,43698	-189,43698
14995	2507	0,1672	271	211	12,24	523,09103	207,90897
19086	3776	0,1978	299	251	-1,92	516,26635	219,73365
21248	4823	0,2270	340	280	-15,38	509,77732	78,22268
16979	2721	0,1603	282	219	15,44	524,63449	64,36551
19473	3875	0,1990	317	247	-2,45	516,00983	-169,00983
22812	4406	0,1931	362	295	0,25	517,31221	-233,31221
18997	3733	0,1965	337	274	-1,30	516,56395	-210,56395
15993	3106	0,1942	295	213	-0,24	517,07487	-10,07487
17213	4007	0,2328	297	246	-18,06	508,48527	-234,48527
16427	3095	0,1884	279	224	2,43	518,36637	-29,36637
16534	2954	0,1787	318	260	6,94	520,53657	-26,53657
10872	1981	0,1822	244	193	5,30	519,74638	-17,74638
10338	1554	0,1503	220	166	20,03	526,84708	-5,84708
11264	1621	0,1439	230	176	22,99	528,27412	251,72588
13071	2698	0,2064	252	198	-5,88	514,35830	66,64170
21454	5296	0,2469	327	256	-24,56	505,35382	32,64618
15830	3283	0,2074	271	226	-6,33	514,14013	285,85987
17620	3189	0,1810	293	238	5,86	520,01883	71,98117
17370	3430	0,1975	306	245	-1,75	516,34972	103,65028
14389	2480	0,1724	288	216	9,85	521,94109	265,05891
19525	4770	0,2443	307	257	-23,38	505,92192	-247,92192
10983	1943	0,1769	218	169	7,75	520,92673	95,07327
16162	3352	0,2074	289	215	-6,34	514,13811	174,86189
17577	4139	0,2355	314	240	-19,31	507,88656	224,11344
12738	2445	0,1919	265	192	0,80	517,57908	360,42092
13410	2929	0,2184	282	222	-11,43	511,68475	406,31525
22370	4293	0,1919	335	258	0,82	517,58722	-138,58722
17666	2644	0,1497	278	205	20,33	526,99251	304,00749
22958	5243	0,2284	352	299	-16,02	509,46840	-168,46840
24924	4918	0,1973	356	277	-1,68	516,38246	-180,38246
14855	2833	0,1907	262	216	1,37	517,85409	209,14591
13237	2887	0,2181	248	203	-11,28	511,75562	236,24438
14311	3572	0,2496	298	263	-25,83	504,74276	264,25724
16355	3695	0,2259	290	242	-14,89	510,01361	216,98639
15662	2763	0,1764	256	197	7,98	521,03706	-210,03706
15144	2691	0,1777	270	198	7,38	520,75209	-203,75209
15031	3506	0,2333	304	243	-18,28	508,38238	-36,38238
18808	4192	0,2229	293	210	-13,49	510,69067	-160,69067
134772	2033	0,0151	244	182	82,49	556,95682	-185,95682
11977	2397	0,2001	242	191	-2,98	515,75598	202,24402
18951	3860	0,2037	344	278	-4,62	514,96567	122,03433

Estimativa Médico-Legal da Idade pela Proporção Polpa/Dente numa População Portuguesa: Comparação entre o Método de Cameriere e o Método de Kvaal em Caninos

24211	5958	0,2461	310	235	-24,20	505,52464	-113,52464
20004	4583	0,2291	306	235	-16,36	509,30573	-108,30573
15329	2909	0,1898	282	237	1,81	518,06319	162,93681
15844	3337	0,2106	284	254	-7,82	513,42209	20,57791
14257	2460	0,1725	254	192	9,76	521,89814	283,10186
16423	3499	0,2131	322	250	-8,95	512,87908	-153,87908
23631	5243	0,2219	339	265	-13,02	510,91650	-56,91650
16730	2844	0,1700	279	218	10,94	522,46651	-1,46651
14647	2626	0,1793	267	230	6,65	520,39770	-34,39770
15309	2881	0,1882	311	222	2,54	518,41522	-39,41522
14569	3085	0,2118	244	195	-8,35	513,16939	-5,16939
15429	2981	0,1932	278	224	0,22	517,29805	-0,29805
15065	3466	0,2301	266	205	-16,81	509,09076	240,90924
15595	2751	0,1764	256	192	7,98	521,03963	249,96037
13599	2427	0,1785	290	219	7,03	520,57957	47,42043
16542	2970	0,1795	267	191	6,53	520,34045	182,65955
17078	3653	0,2139	303	242	-9,34	512,69071	-167,69071
23382	3321	0,1420	343	225	23,86	528,69214	-212,69214
18969	3849	0,2029	324	253	-4,26	515,13782	99,86218
16473	4080	0,2477	294	233	-24,94	505,17029	172,82971
14240	3374	0,2369	318	247	-19,98	507,56149	102,43851
15959	2948	0,1847	315	234	4,14	519,18705	-160,18705
17102	3350	0,1959	285	206	-1,02	516,70225	-208,70225
20121	4242	0,2108	350	267	-7,92	513,37567	153,62433
23507	4310	0,1833	341	253	4,77	519,49290	180,50710
15794	2193	0,1389	303	205	25,32	529,40064	220,59936
18296	3766	0,2058	307	230	-5,61	514,48605	-8,48605
14044	3411	0,2429	250	193	-22,72	506,23867	167,76133
20326	3407	0,1676	329	233	12,04	522,99557	44,00443
19868	3631	0,1828	347	255	5,05	519,62503	98,37497
17230	2612	0,1516	314	217	19,44	526,56279	-66,56279
21197	3726	0,1758	306	215	8,27	521,17836	-155,17836
15456	2743	0,1775	278	209	7,49	520,80166	-188,80166
18635	2935	0,1575	325	233	16,71	525,24844	219,75156
18552	3830	0,2064	307	228	-5,90	514,35037	-83,35037
20238	4053	0,2003	307	241	-3,04	515,72632	-193,72632
16768	3311	0,1975	305	231	-1,75	516,35138	-190,35138
14306	2124	0,1485	274	209	20,88	527,25899	-148,25899
18355	3958	0,2156	319	233	-10,14	512,30438	43,69562
25536	5436	0,2129	352	280	-8,87	512,91892	-101,91892
19457	3570	0,1835	319	251	4,71	519,46354	297,53646
15193	3514	0,2313	306	241	-17,37	508,81890	130,18110
13412	2105	0,1569	281	193	16,97	525,37097	6,62903
19829	3812	0,1922	327	254	0,66	517,51266	6,48734
21261	3367	0,1584	283	220	16,31	525,05568	341,94432
16459	2825	0,1716	283	207	10,18	522,10034	351,89966
16800	4487	0,2671	296	245	-33,90	500,84973	-138,84973
13829	3000	0,2169	247	191	-10,74	512,01508	-199,01508
15953	2489	0,1560	283	222	17,39	525,57763	-139,57763
20383	3391	0,1664	331	271	12,62	523,27470	-125,27470
17146	3527	0,2057	309	241	-5,55	514,51575	-97,51575
19925	4354	0,2185	316	245	-11,47	511,66240	-80,66240
28870	6762	0,2342	345	273	-18,72	508,16617	-214,16617
14839	3092	0,2084	293	217	-6,78	513,92220	45,07780
17853	3528	0,1976	315	246	-1,82	516,31700	-134,31700
13544	2681	0,1979	253	179	-1,97	516,24273	138,75727
10735	2543	0,2369	229	172	-19,96	507,57252	-117,57252
21077	5193	0,2464	332	262	-24,34	505,45878	-219,45878
14021	3172	0,2262	259	207	-15,03	509,94519	134,05481
16514	3434	0,2079	292	239	-6,59	514,01684	176,98316
18511	3307	0,1787	322	268	6,94	520,53915	-179,53915
15844	3826	0,2415	310	227	-22,08	506,55040	-182,55040
26548	4798	0,1807	375	288	5,98	520,07633	282,92367
16320	3422	0,2097	283	224	-7,39	513,63018	-177,63018
20120	3886	0,1931	337	281	0,25	517,31284	-259,31284
19012	3357	0,1766	309	214	7,90	521,00178	200,99822
16757	2242	0,1338	313	204	27,66	530,52620	233,47380
15467	2815	0,1820	292	212	5,39	519,79331	-108,79331

Estimativa Médico-Legal da Idade pela Proporção Polpa/Dente numa População Portuguesa: Comparação entre o Método de Cameriere e o Método de Kvaal em Caninos

21400	4487	0,2097	326	254	-7,39	513,63207	63,36793
17184	3272	0,1904	296	227	1,51	517,92100	-212,92100
17330	3417	0,1972	293	210	-1,61	516,41526	-143,41526
16477	2776	0,1685	300	229	11,64	522,80421	-227,80421
18849	4416	0,2343	326	275	-18,75	508,15267	-103,15267
15677	2544	0,1623	253	196	14,51	524,18493	-182,18493
20033	3712	0,1853	332	248	3,87	519,05994	-155,05994
18161	3584	0,1973	276	207	-1,69	516,37664	187,62336
18317	4237	0,2313	301	239	-17,38	508,81345	207,18655
17107	2796	0,1634	264	201	13,97	523,92534	154,07466
22555	6290	0,2789	365	300	-39,35	498,22458	-197,22458
23852	4848	0,2033	332	253	-4,42	515,06136	-155,06136
19380	3773	0,1947	327	264	-0,46	516,96905	151,03095
20773	4377	0,2107	311	246	-7,86	513,40201	222,59799
15799	2817	0,1783	257	201	7,10	520,61666	-173,61666
19202	4128	0,2150	302	227	-9,84	512,45099	-108,45099
15470	3066	0,1982	297	227	-2,08	516,18871	-35,18871
16891	3244	0,1921	274	193	0,75	517,55468	-140,55468
24328	5041	0,2072	346	257	-6,25	514,18048	347,81952
21347	4757	0,2228	336	262	-13,47	510,70008	355,29992
13631	2741	0,2011	276	221	-3,42	515,54398	-55,54398
18499	3753	0,2029	324	270	-4,25	515,14543	-261,14543
13162	2817	0,2140	284	222	-9,40	512,66303	-203,66303
15317	2688	0,1755	261	206	8,40	521,24255	-37,24255
11545	2035	0,1763	237	173	8,04	521,06989	-18,06989
15568	2574	0,1653	240	176	13,09	523,50291	-157,50291
14796	2709	0,1831	235	169	4,89	519,55071	-123,55071
20440	4129	0,2020	323	255	-3,85	515,33912	151,66088
14352	2766	0,1927	269	202	0,44	517,40533	-177,40533
17133	3001	0,1752	289	220	8,55	521,31653	-10,31653
19615	4498	0,2293	307	237	-16,46	509,25894	-116,25894
21177	5416	0,2557	330	264	-28,67	503,37326	86,62674
16315	2824	0,1731	284	222	9,51	521,77670	139,22330
18228	3504	0,1922	312	246	0,67	517,51532	394,48468
22494	4233	0,1882	336	265	2,54	518,41665	-81,41665
12837	2050	0,1597	249	181	15,70	524,75965	460,24035
19546	4200	0,2149	315	260	-9,79	512,47322	-199,47322
17345	2929	0,1689	275	207	11,46	522,71742	-117,71742
17033	2503	0,1470	268	186	21,58	527,59722	155,40278
14032	2525	0,1799	257	192	6,34	520,25075	-236,25075
21721	4711	0,2169	313	233	-10,72	512,02589	-36,02589
23876	3411	0,1429	341	243	23,47	528,50716	-48,50716
16152	2467	0,1527	258	179	18,91	526,30887	-226,30887
13963	2831	0,2028	257	173	-4,19	515,17342	147,82658
22807	5068	0,2222	331	260	-13,18	510,84015	-131,84015
16212	3049	0,1881	302	218	2,59	518,44180	-208,44180
18284	2517	0,1377	300	217	25,87	529,66533	-142,66533
20446	3998	0,1955	346	264	-0,86	516,77886	-29,77886
14834	2773	0,1869	256	200	3,12	518,69454	167,30546
17196	3259	0,1895	294	216	1,92	518,11890	-81,11890
15771	2749	0,1743	298	251	8,95	521,50617	383,49383
23558	4749	0,2016	331	259	-3,65	515,43226	111,56774
20747	4333	0,2088	329	260	-7,01	513,81541	148,18459
21371	2867	0,1342	304	236	27,49	530,44629	139,55371
18265	3205	0,1755	316	208	8,41	521,24680	-167,24680
16376	2386	0,1457	294	219	22,16	527,87531	78,12469
21019	4634	0,2205	373	305	-12,37	511,22874	-254,22874
24768	4895	0,1976	348	302	-1,83	512,29854	-255,29854
18824	1854	0,0985	312	235	43,97	576,34666	333,65334
17136	2501	0,1460	317	254	22,05	545,68740	-256,68740
15100	2438	0,1615	258	182	14,88	535,66964	-233,66964
19287	4167	0,2161	309	251	-10,33	500,40002	-184,40002
17745	2091	0,1178	316	220	35,03	563,84960	226,15040
15979	2345	0,1468	296	240	21,67	545,16731	-45,16731
28377	4184	0,1474	350	288	21,36	544,72269	-263,72269
18178	2973	0,1635	321	264	13,92	534,31791	-121,31791
20072	2449	0,1220	313	252	33,10	561,15263	-68,15263
21417	3948	0,1843	352	251	4,31	520,88705	79,11295

Estimativa Médico-Legal da Idade pela Proporção Polpa/Dente numa População Portuguesa: Comparação entre o Método de Cameriere e o Método de Kvaal em Caninos

20451	4319	0,2112	332	254	-8,09	503,54261	-81,54261
17782	2214	0,1245	298	204	31,95	559,53941	-197,53941
14831	1924	0,1297	280	197	29,54	556,16697	326,83303
18277	3004	0,1644	300	259	13,54	533,79449	78,20551
22859	3981	0,1742	329	263	9,02	527,46671	-231,46671
26040	6042	0,2320	356	270	-17,71	490,07962	-65,07962
17653	2445	0,1385	280	209	25,49	550,49809	-253,49809
14580	2254	0,1546	257	215	18,05	540,10237	62,89763
18199	2916	0,1602	253	185	15,45	536,46319	111,53681
16300	2008	0,1232	256	191	32,56	560,39070	172,60930
22085	4107	0,1860	343	273	3,56	519,83805	-145,83805
21840	4352	0,1993	305	253	-2,58	511,24337	-144,24337
17163	3190	0,1859	270	209	3,61	519,90161	-128,90161
14056	2037	0,1449	260	209	22,52	546,35262	178,64738
24941	5625	0,2255	352	283	-14,71	494,27576	167,72424
13266	2088	0,1574	264	220	16,76	538,29384	203,70616
16987	3395	0,1999	269	219	-2,85	510,86136	-250,86136
23583	5112	0,2168	292	238	-10,66	499,93873	-76,93873
16420	2682	0,1633	279	214	14,01	534,45484	-161,45484
16976	3048	0,1795	297	218	6,53	523,98274	-26,98274
17309	3797	0,2194	284	217	-11,86	498,25951	-118,25951
21480	4088	0,1903	352	302	1,55	517,02577	-224,02577
16791	3554	0,2117	313	259	-8,30	503,23686	-172,23686
14624	2560	0,1751	244	199	8,60	526,88523	204,11477
16247	3405	0,2096	275	230	-7,34	504,58307	231,41693
21388	5180	0,2422	315	261	-22,41	483,51333	104,48667
17962	3739	0,2082	297	233	-6,69	505,49749	83,50251
21965	4611	0,2099	303	242	-7,50	504,35843	-157,35843
18629	4200	0,2255	365	299	-14,68	494,32572	-210,32572
15017	2478	0,1650	269	219	13,24	533,37237	-227,37237
18110	2866	0,1583	298	323	16,36	537,73809	-30,73809
15891	2610	0,1642	283	216	13,60	533,86921	-259,86921
15459	2533	0,1639	270	207	13,78	534,12189	-45,12189
15567	2558	0,1643	282	225	13,56	533,81879	-39,81879
12165	1723	0,1416	240	182	24,04	548,47446	-46,47446
12546	2059	0,1641	266	207	13,66	533,95181	-12,95181
14460	2383	0,1648	255	185	13,34	533,51032	246,48968
16480	2461	0,1493	277	216	20,48	543,50225	37,49775
18906	3222	0,1704	295	200	10,74	529,87799	8,12201
17622	3375	0,1915	301	264	1,00	516,24707	283,75293
15975	2319	0,1452	269	214	22,41	546,19499	45,80501
17407	3281	0,1885	276	218	2,40	518,20746	101,79254
19799	4194	0,2118	295	227	-8,38	503,12841	283,87159
22589	5490	0,2430	329	259	-22,80	482,96630	-224,96630
14011	3403	0,2429	265	206	-22,72	483,06841	132,93159
23135	3701	0,1600	316	221	15,57	536,62761	152,37239
19423	2757	0,1419	325	232	23,90	548,27466	183,72534
12445	2332	0,1874	258	180	2,91	518,91995	359,08005
11392	2461	0,2160	238	183	-10,32	500,41518	417,58482
24927	4632	0,1858	330	237	3,63	519,92896	-140,92896
17837	3111	0,1744	264	192	8,90	527,29995	303,70005
21280	3899	0,1832	348	275	4,83	521,60791	-180,60791
22784	4744	0,2082	340	274	-6,71	505,46221	-169,46221
18473	3221	0,1744	306	245	8,92	527,33235	199,66765
17854	3328	0,1864	302	251	3,36	519,55543	228,44457
27858	6358	0,2282	352	235	-15,96	492,53370	276,46630
14082	3534	0,2510	290	230	-26,46	477,84981	249,15019
19172	3562	0,1858	269	191	3,64	519,94887	-208,94887
22285	3899	0,1750	351	286	8,65	526,94594	-209,94594
19554	2672	0,1366	328	207	26,34	551,69719	-79,69719
15742	2415	0,1534	276	184	18,60	540,86731	-190,86731
15407	2460	0,1597	255	183	15,71	536,82554	-165,82554
12231	3152	0,2577	244	185	-29,57	473,49102	244,50898
17564	3225	0,1836	281	229	4,65	521,35562	115,64438
22148	4433	0,2002	282	191	-2,99	510,67092	-118,67092
22488	4952	0,2202	279	212	-12,25	497,71641	-96,71641
17966	4615	0,2569	286	220	-29,19	474,02834	206,97166
15869	3415	0,2152	261	219	-9,94	500,95096	33,04904

Estimativa Médico-Legal da Idade pela Proporção Polpa/Dente numa População Portuguesa: Comparação entre o Método de Cameriere e o Método de Kvaal em Caninos

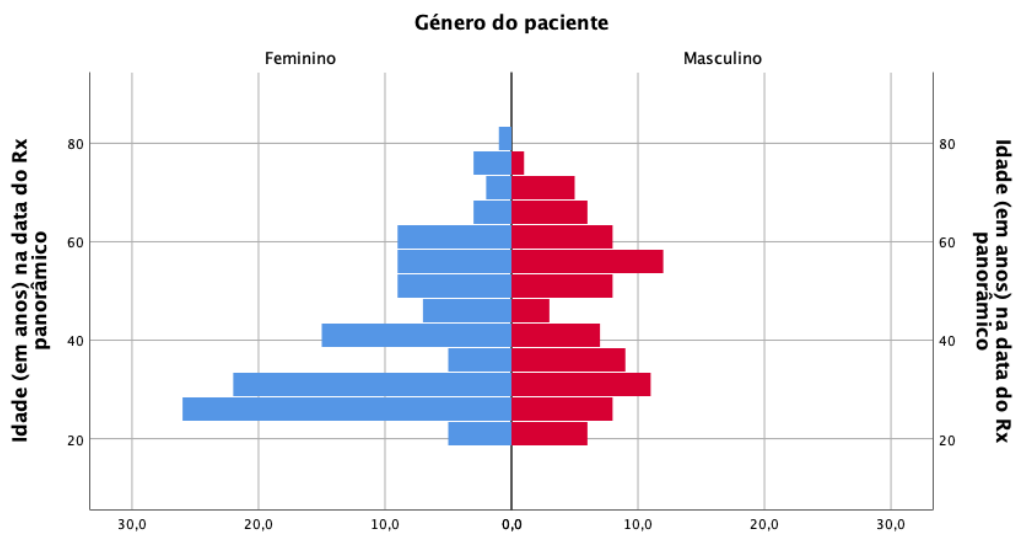
12214	1863	0,1525	237	164	19,01	541,43670	263,56330
15930	3681	0,2311	289	220	-17,27	490,69605	-131,69605
24497	5822	0,2377	318	246	-20,31	486,43988	-32,43988
18204	4159	0,2285	276	218	-16,07	492,38033	28,61967
15481	3537	0,2285	279	219	-16,07	492,37559	-6,37559
15872	3350	0,2111	294	217	-8,03	503,62285	-24,62285
15256	3126	0,2049	263	199	-5,18	507,60267	0,39733
15274	2460	0,1611	269	216	15,07	535,92736	-18,92736
13962	2323	0,1664	283	213	12,61	532,48914	217,51086
12423	2138	0,1721	224	140	9,97	528,79394	242,20606
15085	4172	0,2766	272	216	-38,28	461,30691	106,69309
15937	2702	0,1695	251	194	11,15	530,44617	172,55383
18746	3210	0,1712	264	200	10,37	529,35184	-184,35184
21247	3195	0,1504	329	264	20,00	542,82933	-226,82933
16912	4231	0,2502	288	221	-26,09	478,35454	136,64546
14952	3114	0,2083	277	198	-6,74	505,42980	172,57020
23992	6454	0,2690	345	260	-34,79	466,19068	143,80932
20530	4339	0,2113	332	220	-8,16	503,43826	-144,43826
16757	3123	0,1864	293	239	3,38	519,57541	-211,57541
21646	4315	0,1993	335	266	-2,62	511,19389	155,80611
21666	4028	0,1859	338	263	3,59	519,87030	180,12970
15299	2977	0,1946	290	215	-0,42	514,26642	235,73358
24519	4169	0,1700	298	208	10,92	530,13038	-24,13038
17250	3447	0,1998	288	225	-2,84	510,88244	163,11756
28263	5175	0,1831	346	249	4,89	521,68679	45,31321
26669	6093	0,2285	324	234	-16,07	492,37954	125,62046
19593	3201	0,1634	329	216	14,00	534,43075	-74,43075
28993	5631	0,1942	342	258	-0,25	514,50454	-148,50454
22001	5834	0,2652	319	246	-33,02	468,66917	-136,66917
16771	3430	0,2045	271	192	-5,01	507,85027	237,14973
19844	3401	0,1714	195	270	10,30	529,25476	-98,25476
19637	3411	0,1737	322	235	9,23	527,75865	-205,75865
22748	4405	0,1936	319	252	0,02	514,87658	-188,87658
17694	3076	0,1738	312	225	9,16	527,66721	-148,66721
18641	4017	0,2155	297	205	-10,07	500,76149	55,23851
26539	5093	0,1919	345	256	0,82	515,99881	-104,99881
16386	2919	0,1781	280	192	7,18	524,89215	292,10785
18435	3643	0,1976	317	279	-1,82	512,31199	126,68801
17901	2951	0,1649	325	245	13,32	533,47694	-1,47694
19242	4808	0,2499	295	231	-25,95	478,55307	45,44693
21803	4103	0,1882	311	248	2,54	518,40274	348,59726
14286	2547	0,1783	255	174	7,11	524,79747	349,20253
19985	3832	0,1917	322	249	0,89	516,10375	-154,10375
14880	2717	0,1826	239	169	5,12	522,01465	-209,01465
25829	5599	0,2168	312	209	-10,67	499,93516	-113,93516
27629	5300	0,1918	343	264	0,86	516,04973	-118,04973
17355	3692	0,2127	292	217	-8,80	502,54363	-85,54363
25072	5757	0,2296	335	266	-16,60	491,63584	-60,63584
22620	4298	0,1900	315	226	1,70	517,22457	-223,22457
17778	4111	0,2312	315	238	-17,35	490,58790	68,41210
18116	3994	0,2205	300	234	-12,37	497,54731	-115,54731
11403	2409	0,2113	225	169	-8,12	503,49579	151,50421
15442	2852	0,1847	252	181	4,15	520,65993	-130,65993
18456	3882	0,2103	332	275	-7,69	504,09148	-218,09148
15346	2519	0,1641	256	193	13,64	533,93181	110,06819
21332	4237	0,1986	321	262	-2,28	511,66044	179,33956
24259	4455	0,1836	337	248	4,64	521,33691	-180,33691
18545	4155	0,2240	300	238	-14,03	495,23358	-171,23358
23351	3715	0,1591	352	287	15,97	537,19626	265,80374
17557	2459	0,1401	270	189	24,77	549,49371	-213,49371
19854	3721	0,1874	342	265	2,89	518,89821	-260,89821
25501	5461	0,2141	353	262	-9,45	501,62991	220,37009
16434	1878	0,1143	297	203	36,68	566,14990	197,85010
12815	2330	0,1818	256	185	5,48	522,51589	-111,51589
19693	3081	0,1565	295	208	17,20	538,90324	38,09676
16387	3103	0,1894	269	192	2,00	517,64540	-212,64540
19545	3799	0,1944	324	262	-0,32	514,40591	-141,40591
21456	4968	0,2315	318	239	-17,49	490,39231	-195,39231

Estimativa Médico-Legal da Idade pela Proporção Polpa/Dente numa População Portuguesa: Comparação entre
o Método de Cameriere e o Método de Kvaal em Caninos

21222	5546	0,2613	328	260	-31,25	471,14807	-66,14807
13392	2613	0,1951	230	171	-0,66	513,92493	-171,92493
20968	4063	0,1938	299	219	-0,04	514,79385	-150,79385
18539	3755	0,2025	303	232	-4,09	509,12534	194,87466
20905	5050	0,2416	309	247	-22,12	483,91572	232,08428
16647	2574	0,1546	298	221	18,04	540,08485	137,91515
32452	7127	0,2196	402	308	-11,98	498,09735	-197,09735
27403	6181	0,2256	361	298	-14,72	494,25833	-134,25833
25754	4581	0,1779	363	265	7,30	525,06308	142,93692
20280	4112	0,2028	321	235	-4,19	508,98621	227,01379
12695	1911	0,1505	238	169	19,93	542,72756	-195,72756
18977	3252	0,1714	321	247	10,31	529,26863	-125,26863
18170	3407	0,1875	306	225	2,85	518,84089	-37,84089
21306	4562	0,2141	309	250	-9,44	501,64954	-124,64954
18671	3095	0,1658	299	233	12,89	532,88650	329,11350
17304	3045	0,1760	312	236	8,18	526,29337	339,70663
21757	5037	0,2315	307	215	-17,47	490,41293	-30,41293
23438	5179	0,2210	332	260	-12,60	497,22568	-243,22568
16500	3685	0,2233	322	259	-13,70	495,69631	-186,69631
15654	2163	0,1382	273	203	25,64	550,70987	-66,70987
15995	3606	0,2254	258	204	-14,67	494,33184	8,66816
13961	2044	0,1464	208	134	21,83	545,39165	-179,39165
14043	2461	0,1752	250	184	8,51	526,76071	-130,76071
16939	2606	0,1538	297	240	18,40	540,58636	126,41364
22138	4825	0,2180	331	256	-11,21	499,17338	-159,17338
22819	4500	0,1972	297	216	-1,63	512,57631	-1,57631
24208	5425	0,2241	330	269	-14,05	495,20137	-102,20137
22490	4637	0,2062	325	259	-5,77	506,77735	83,22265
20967	4145	0,1977	307	237	-1,85	512,26136	148,73864
21126	3459	0,1637	304	225	13,83	534,19998	377,80002
20850	4182	0,2006	311	233	-3,18	510,39828	-73,39828
8600	1275	0,1483	213	159	20,98	544,19783	440,80217
19208	2836	0,1476	307	219	21,26	544,59125	-231,59125
18625	3156	0,1694	278	211	11,19	530,50619	-125,50619
15360	2370	0,1543	274	189	18,19	540,29519	142,70481
14980	2146	0,1433	283	191	23,29	547,42672	-263,42672
27443	4435	0,1616	336	252	14,81	535,57226	-59,57226
32813	6828	0,2081	321	238	-6,65	505,54492	-25,54492
16771	2477	0,1477	267	184	21,24	544,55985	-244,55985
14450	3072	0,2126	256	189	-8,74	502,63338	160,36662
25837	6278	0,2430	339	261	-22,77	483,00104	-104,00104
17299	2769	0,1601	302	224	15,53	536,56754	-226,56754
23876	3011	0,1261	337	266	31,21	558,50451	-171,50451
22140	3697	0,1670	301	224	12,33	532,09981	-45,09981
15312	2719	0,1776	281	234	7,44	525,25827	160,74173
16233	3091	0,1904	286	202	1,51	516,96245	-79,96245
14863	2748	0,1849	305	248	4,06	520,53231	384,46769
25330	4957	0,1957	351	289	-0,93	513,55004	113,44996
23504	5149	0,2191	306	231	-11,73	498,45109	163,54891
22214	4116	0,1853	307	233	3,88	520,27397	149,72603
25145	5400	0,2148	301	218	-9,73	501,23845	-147,23845
20546	3820	0,1859	310	211	3,58	519,86328	86,13672
24415	5128	0,2100	362	273	-7,55	504,28741	-247,28741

Anexo 5 – Frequência de idade (em anos) por género do paciente

I – Gráfico de Frequência de idade (em anos) por género do paciente



II – Tabela de Faixa etária (em anos) por género do paciente

Tabela: Faixa etária * Género do paciente

Contagem

		Género do paciente		Total
		Masculino	Feminino	
Faixa etária	20-29	16	33	49
	30-39	20	26	46
	40-49	9	24	33
	50-59	20	16	36
	60-69	14	11	25
	>70	5	6	11
Total		84	116	200

Anexo 6 – Valores de CCI (análise intra-observador)

I – M1VM2

CCI (M1VM2) – DENTE

	Correlação intraclasse ^b	Intervalo de Confiança 95%		Teste F com Valor True0			
		Limite inferior	Limite superior	Valor	df1	df2	Sig
Medidas únicas	,773 ^a	,667	,849	7,739	79	79	,000
Medidas médias	,872 ^c	,801	,918	7,739	79	79	,000

Modelo de efeitos mistos bidirecional em que os efeitos das pessoas são aleatórios e os das medidas são fixos.

- O estimador é o mesmo, esteja o efeito de interação presente ou não.
- Os coeficientes de correlação intraclasse tipo A que usam uma definição de concordância absoluta.
- Essa estimativa é calculada considerando que o efeito de interação esteja ausente, porque ele não pode ser estimado de outra forma.

CCI (M1VM2) – RAÍZ

	Correlação intraclasse ^b	Intervalo de Confiança 95%		Teste F com Valor True0			
		Limite inferior	Limite superior	Valor	df1	df2	Sig
Medidas únicas	,598 ^a	,438	,722	4,018	79	79	,000
Medidas médias	,749 ^c	,609	,838	4,018	79	79	,000

Modelo de efeitos mistos bidirecional em que os efeitos das pessoas são aleatórios e os das medidas são fixos.

- O estimador é o mesmo, esteja o efeito de interação presente ou não.
- Os coeficientes de correlação intraclasse tipo A que usam uma definição de concordância absoluta.
- Essa estimativa é calculada considerando que o efeito de interação esteja ausente, porque ele não pode ser estimado de outra forma.

CCI (M1VM2) – POLPA

	Correlação intraclasse ^b	Intervalo de Confiança 95%		Teste F com Valor True0			
		Limite inferior	Limite superior	Valor	df1	df2	Sig
Medidas únicas	,675 ^a	,536	,779	5,127	79	79	,000
Medidas médias	,806 ^c	,698	,876	5,127	79	79	,000

Modelo de efeitos mistos bidirecional em que os efeitos das pessoas são aleatórios e os das medidas são fixos.

- O estimador é o mesmo, esteja o efeito de interação presente ou não.
- Os coeficientes de correlação intraclasse tipo A que usam uma definição de concordância absoluta.
- Essa estimativa é calculada considerando que o efeito de interação esteja ausente, porque ele não pode ser estimado de outra forma.

CCI (M1VM2) – T

	Correlação intraclasse ^b	Intervalo de Confiança 95%		Teste F com Valor True0			
		Limite inferior	Limite superior	Valor	df1	df2	Sig
Medidas únicas	,414 ^a	,208	,582	2,588	79	79	,000
Medidas médias	,585 ^c	,345	,736	2,588	79	79	,000

Modelo de efeitos mistos bidirecional em que os efeitos das pessoas são aleatórios e os das medidas são fixos.

- O estimador é o mesmo, esteja o efeito de interação presente ou não.
- Os coeficientes de correlação intraclasse tipo A que usam uma definição de concordância absoluta.
- Essa estimativa é calculada considerando que o efeito de interação esteja ausente, porque ele não pode ser estimado de outra forma.

CCI (M1VM2) – P

	Correlação intraclass ^b	Intervalo de Confiança 95%		Teste F com Valor True0			
		Limite inferior	Limite superior	Valor	df1	df2	Sig
Medidas únicas	,424 ^a	,207	,596	2,727	79	79	,000
Medidas médias	,595 ^c	,344	,747	2,727	79	79	,000

Modelo de efeitos mistos bidirecional em que os efeitos das pessoas são aleatórios e os das medidas são fixos.

- O estimador é o mesmo, esteja o efeito de interação presente ou não.
- Os coeficientes de correlação intraclass tipo A que usam uma definição de concordância absoluta.
- Essa estimativa é calculada considerando que o efeito de interação esteja ausente, porque ele não pode ser estimado de outra forma.

CCI (M1VM2) – R

	Correlação intraclass ^b	Intervalo de Confiança 95%		Teste F com Valor True0			
		Limite inferior	Limite superior	Valor	df1	df2	Sig
Medidas únicas	,418 ^a	,222	,583	2,453	79	79	,000
Medidas médias	,590 ^c	,363	,736	2,453	79	79	,000

Modelo de efeitos mistos bidirecional em que os efeitos das pessoas são aleatórios e os das medidas são fixos.

- O estimador é o mesmo, esteja o efeito de interação presente ou não.
- Os coeficientes de correlação intraclass tipo A que usam uma definição de concordância absoluta.
- Essa estimativa é calculada considerando que o efeito de interação esteja ausente, porque ele não pode ser estimado de outra forma.

CCI (M1VM2) – Pa

	Correlação intraclass ^b	Intervalo de Confiança 95%		Teste F com Valor True0			
		Limite inferior	Limite superior	Valor	df1	df2	Sig
Medidas únicas	,621 ^a	,302	,786	5,629	79	79	,000
Medidas médias	,766 ^c	,463	,880	5,629	79	79	,000

Modelo de efeitos mistos bidirecional em que os efeitos das pessoas são aleatórios e os das medidas são fixos.

- O estimador é o mesmo, esteja o efeito de interação presente ou não.
- Os coeficientes de correlação intraclass tipo A que usam uma definição de concordância absoluta.
- Essa estimativa é calculada considerando que o efeito de interação esteja ausente, porque ele não pode ser estimado de outra forma.

CCI (M1VM2) – Ra

	Correlação intraclass ^b	Intervalo de Confiança 95%		Teste F com Valor True0			
		Limite inferior	Limite superior	Valor	df1	df2	Sig
Medidas únicas	,921 ^a	,877	,950	25,897	79	79	,000
Medidas médias	,959 ^c	,934	,974	25,897	79	79	,000

Modelo de efeitos mistos bidirecional em que os efeitos das pessoas são aleatórios e os das medidas são fixos.

- O estimador é o mesmo, esteja o efeito de interação presente ou não.
- Os coeficientes de correlação intraclass tipo A que usam uma definição de concordância absoluta.
- Essa estimativa é calculada considerando que o efeito de interação esteja ausente, porque ele não pode ser estimado de outra forma.

CCI (M1VM2) – A

	Correlação intraclassa ^b	Intervalo de Confiança 95%		Teste F com Valor True0			
		Limite inferior	Limite superior	Valor	df1	df2	Sig
Medidas únicas	,421 ^a	,140	,620	2,986	79	79	,000
Medidas médias	,592 ^c	,246	,765	2,986	79	79	,000

Modelo de efeitos mistos bidirecional em que os efeitos das pessoas são aleatórios e os das medidas são fixos.

- O estimador é o mesmo, esteja o efeito de interação presente ou não.
- Os coeficientes de correlação intraclassa tipo A que usam uma definição de concordância absoluta.
- Essa estimativa é calculada considerando que o efeito de interação esteja ausente, porque ele não pode ser estimado de outra forma.

CCI (M1VM2) – Pb

	Correlação intraclassa ^b	Intervalo de Confiança 95%		Teste F com Valor True0			
		Limite inferior	Limite superior	Valor	df1	df2	Sig
Medidas únicas	,674 ^a	,364	,821	6,833	79	79	,000
Medidas médias	,805 ^c	,534	,902	6,833	79	79	,000

Modelo de efeitos mistos bidirecional em que os efeitos das pessoas são aleatórios e os das medidas são fixos.

- O estimador é o mesmo, esteja o efeito de interação presente ou não.
- Os coeficientes de correlação intraclassa tipo A que usam uma definição de concordância absoluta.
- Essa estimativa é calculada considerando que o efeito de interação esteja ausente, porque ele não pode ser estimado de outra forma.

CCI (M1VM2) – Rb

	Correlação intraclassa ^b	Intervalo de Confiança 95%		Teste F com Valor True0			
		Limite inferior	Limite superior	Valor	df1	df2	Sig
Medidas únicas	,900 ^a	,847	,936	19,945	79	79	,000
Medidas médias	,948 ^c	,917	,967	19,945	79	79	,000

Modelo de efeitos mistos bidirecional em que os efeitos das pessoas são aleatórios e os das medidas são fixos.

- O estimador é o mesmo, esteja o efeito de interação presente ou não.
- Os coeficientes de correlação intraclassa tipo A que usam uma definição de concordância absoluta.
- Essa estimativa é calculada considerando que o efeito de interação esteja ausente, porque ele não pode ser estimado de outra forma.

CCI (M1VM2) – B

	Correlação intraclassa ^b	Intervalo de Confiança 95%		Teste F com Valor True0			
		Limite inferior	Limite superior	Valor	df1	df2	Sig
Medidas únicas	,628 ^a	,367	,777	5,415	79	79	,000
Medidas médias	,772 ^c	,537	,875	5,415	79	79	,000

Modelo de efeitos mistos bidirecional em que os efeitos das pessoas são aleatórios e os das medidas são fixos.

- O estimador é o mesmo, esteja o efeito de interação presente ou não.
- Os coeficientes de correlação intraclassa tipo A que usam uma definição de concordância absoluta.
- Essa estimativa é calculada considerando que o efeito de interação esteja ausente, porque ele não pode ser estimado de outra forma.

CCI (M1VM2) – Pc

	Correlação intraclasse ^b	Intervalo de Confiança 95%		Teste F com Valor True0			
		Limite inferior	Limite superior	Valor	df1	df2	Sig
Medidas únicas	,501 ^a	,249	,675	3,556	79	79	,000
Medidas médias	,668 ^c	,398	,806	3,556	79	79	,000

Modelo de efeitos mistos bidirecional em que os efeitos das pessoas são aleatórios e os das medidas são fixos.

- O estimador é o mesmo, esteja o efeito de interação presente ou não.
- Os coeficientes de correlação intraclasse tipo A que usam uma definição de concordância absoluta.
- Essa estimativa é calculada considerando que o efeito de interação esteja ausente, porque ele não pode ser estimado de outra forma.

CCI (M1VM2) – Rc

	Correlação intraclasse ^b	Intervalo de Confiança 95%		Teste F com Valor True0			
		Limite inferior	Limite superior	Valor	df1	df2	Sig
Medidas únicas	,857 ^a	,745	,916	15,257	79	79	,000
Medidas médias	,923 ^c	,854	,956	15,257	79	79	,000

Modelo de efeitos mistos bidirecional em que os efeitos das pessoas são aleatórios e os das medidas são fixos.

- O estimador é o mesmo, esteja o efeito de interação presente ou não.
- Os coeficientes de correlação intraclasse tipo A que usam uma definição de concordância absoluta.
- Essa estimativa é calculada considerando que o efeito de interação esteja ausente, porque ele não pode ser estimado de outra forma.

CCI (M1VM2) – C

	Correlação intraclasse ^b	Intervalo de Confiança 95%		Teste F com Valor True0			
		Limite inferior	Limite superior	Valor	df1	df2	Sig
Medidas únicas	,269 ^a	,063	,455	1,811	79	79	,005
Medidas médias	,424 ^c	,118	,626	1,811	79	79	,005

Modelo de efeitos mistos bidirecional em que os efeitos das pessoas são aleatórios e os das medidas são fixos.

- O estimador é o mesmo, esteja o efeito de interação presente ou não.
- Os coeficientes de correlação intraclasse tipo A que usam uma definição de concordância absoluta.
- Essa estimativa é calculada considerando que o efeito de interação esteja ausente, porque ele não pode ser estimado de outra forma.

CCI (M1VM2) – M

	Correlação intraclasse ^b	Intervalo de Confiança 95%		Teste F com Valor True0			
		Limite inferior	Limite superior	Valor	df1	df2	Sig
Medidas únicas	,461 ^a	,152	,663	3,437	79	79	,000
Medidas médias	,632 ^c	,264	,798	3,437	79	79	,000

Modelo de efeitos mistos bidirecional em que os efeitos das pessoas são aleatórios e os das medidas são fixos.

- O estimador é o mesmo, esteja o efeito de interação presente ou não.
- Os coeficientes de correlação intraclasse tipo A que usam uma definição de concordância absoluta.
- Essa estimativa é calculada considerando que o efeito de interação esteja ausente, porque ele não pode ser estimado de outra forma.

CCI (M1VM2) – W

	Correlação intraclass ^b	Intervalo de Confiança 95%		Teste F com Valor True0			
		Limite inferior	Limite superior	Valor	df1	df2	Sig
Medidas únicas	,463 ^a	,214	,642	3,185	79	79	,000
Medidas médias	,633 ^c	,353	,782	3,185	79	79	,000

Modelo de efeitos mistos bidirecional em que os efeitos das pessoas são aleatórios e os das medidas são fixos.

- O estimador é o mesmo, esteja o efeito de interação presente ou não.
- Os coeficientes de correlação intraclass tipo A que usam uma definição de concordância absoluta.
- Essa estimativa é calculada considerando que o efeito de interação esteja ausente, porque ele não pode ser estimado de outra forma.

CCI (M1VM2) – L

	Correlação intraclass ^b	Intervalo de Confiança 95%		Teste F com Valor True0			
		Limite inferior	Limite superior	Valor	df1	df2	Sig
Medidas únicas	,420 ^a	,218	,586	2,607	79	79	,000
Medidas médias	,591 ^c	,358	,739	2,607	79	79	,000

Modelo de efeitos mistos bidirecional em que os efeitos das pessoas são aleatórios e os das medidas são fixos.

- O estimador é o mesmo, esteja o efeito de interação presente ou não.
- Os coeficientes de correlação intraclass tipo A que usam uma definição de concordância absoluta.
- Essa estimativa é calculada considerando que o efeito de interação esteja ausente, porque ele não pode ser estimado de outra forma.

CCI (M1VM2) – WL

	Correlação intraclass ^b	Intervalo de Confiança 95%		Teste F com Valor True0			
		Limite inferior	Limite superior	Valor	df1	df2	Sig
Medidas únicas	,400 ^a	,197	,569	2,316	79	79	,000
Medidas médias	,571 ^c	,329	,726	2,316	79	79	,000

Modelo de efeitos mistos bidirecional em que os efeitos das pessoas são aleatórios e os das medidas são fixos.

- O estimador é o mesmo, esteja o efeito de interação presente ou não.
- Os coeficientes de correlação intraclass tipo A que usam uma definição de concordância absoluta.
- Essa estimativa é calculada considerando que o efeito de interação esteja ausente, porque ele não pode ser estimado de outra forma.

CCI (M1VM2) – ÁreaTotal

	Correlação intraclass ^b	Intervalo de Confiança 95%		Teste F com Valor True0			
		Limite inferior	Limite superior	Valor	df1	df2	Sig
Medidas únicas	,887 ^a	,823	,928	17,874	79	79	,000
Medidas médias	,940 ^c	,903	,963	17,874	79	79	,000

Modelo de efeitos mistos bidirecional em que os efeitos das pessoas são aleatórios e os das medidas são fixos.

- O estimador é o mesmo, esteja o efeito de interação presente ou não.
- Os coeficientes de correlação intraclass tipo A que usam uma definição de concordância absoluta.
- Essa estimativa é calculada considerando que o efeito de interação esteja ausente, porque ele não pode ser estimado de outra forma.

CCI (M1VM2) – ÁreaPolpa

	Correlação intraclasse ^b	Intervalo de Confiança 95%		Teste F com Valor True0			
		Limite inferior	Limite superior	Valor	df1	df2	Sig
Medidas únicas	,569 ^a	,400	,700	3,632	79	79	,000
Medidas médias	,725 ^c	,572	,823	3,632	79	79	,000

Modelo de efeitos mistos bidirecional em que os efeitos das pessoas são aleatórios e os das medidas são fixos.

- O estimador é o mesmo, esteja o efeito de interação presente ou não.
- Os coeficientes de correlação intraclasse tipo A que usam uma definição de concordância absoluta.
- Essa estimativa é calculada considerando que o efeito de interação esteja ausente, porque ele não pode ser estimado de outra forma.

CCI (M1VM2) – PT

	Correlação intraclasse ^b	Intervalo de Confiança 95%		Teste F com Valor True0			
		Limite inferior	Limite superior	Valor	df1	df2	Sig
Medidas únicas	,208 ^a	-,005	,405	1,540	79	79	,028
Medidas médias	,345 ^c	-,010	,577	1,540	79	79	,028

Modelo de efeitos mistos bidirecional em que os efeitos das pessoas são aleatórios e os das medidas são fixos.

- O estimador é o mesmo, esteja o efeito de interação presente ou não.
- Os coeficientes de correlação intraclasse tipo A que usam uma definição de concordância absoluta.
- Essa estimativa é calculada considerando que o efeito de interação esteja ausente, porque ele não pode ser estimado de outra forma.

CCI (M1VM2) – Comp.DENTE

	Correlação intraclasse ^b	Intervalo de Confiança 95%		Teste F com Valor True0			
		Limite inferior	Limite superior	Valor	df1	df2	Sig
Medidas únicas	,798 ^a	,677	,873	9,962	79	79	,000
Medidas médias	,888 ^c	,807	,932	9,962	79	79	,000

Modelo de efeitos mistos bidirecional em que os efeitos das pessoas são aleatórios e os das medidas são fixos.

- O estimador é o mesmo, esteja o efeito de interação presente ou não.
- Os coeficientes de correlação intraclasse tipo A que usam uma definição de concordância absoluta.
- Essa estimativa é calculada considerando que o efeito de interação esteja ausente, porque ele não pode ser estimado de outra forma.

CCI (M1VM2) – Comp.POLPA

	Correlação intraclasse ^b	Intervalo de Confiança 95%		Teste F com Valor True0			
		Limite inferior	Limite superior	Valor	df1	df2	Sig
Medidas únicas	,662 ^a	,470	,785	5,657	79	79	,000
Medidas médias	,797 ^c	,639	,880	5,657	79	79	,000

Modelo de efeitos mistos bidirecional em que os efeitos das pessoas são aleatórios e os das medidas são fixos.

- O estimador é o mesmo, esteja o efeito de interação presente ou não.
- Os coeficientes de correlação intraclasse tipo A que usam uma definição de concordância absoluta.
- Essa estimativa é calculada considerando que o efeito de interação esteja ausente, porque ele não pode ser estimado de outra forma.

II – M1VM3

CCI (M1VM3) – DENTE

	Correlação intraclasse ^b	Intervalo de Confiança 95%		Teste F com Valor True0			
		Limite inferior	Limite superior	Valor	df1	df2	Sig
Medidas únicas	,781 ^a	,679	,854	8,122	79	79	,000
Medidas médias	,877 ^c	,809	,921	8,122	79	79	,000

Modelo de efeitos mistos bidirecional em que os efeitos das pessoas são aleatórios e os das medidas são fixos.

- O estimador é o mesmo, esteja o efeito de interação presente ou não.
- Os coeficientes de correlação intraclasse tipo A que usam uma definição de concordância absoluta.
- Essa estimativa é calculada considerando que o efeito de interação esteja ausente, porque ele não pode ser estimado de outra forma.

CCI (M1VM3) – RAÍZ

	Correlação intraclasse ^b	Intervalo de Confiança 95%		Teste F com Valor True0			
		Limite inferior	Limite superior	Valor	df1	df2	Sig
Medidas únicas	,564 ^a	,388	,699	3,794	79	79	,000
Medidas médias	,721 ^c	,559	,823	3,794	79	79	,000

Modelo de efeitos mistos bidirecional em que os efeitos das pessoas são aleatórios e os das medidas são fixos.

- O estimador é o mesmo, esteja o efeito de interação presente ou não.
- Os coeficientes de correlação intraclasse tipo A que usam uma definição de concordância absoluta.
- Essa estimativa é calculada considerando que o efeito de interação esteja ausente, porque ele não pode ser estimado de outra forma.

CCI (M1VM3) – POLPA

	Correlação intraclasse ^b	Intervalo de Confiança 95%		Teste F com Valor True0			
		Limite inferior	Limite superior	Valor	df1	df2	Sig
Medidas únicas	,687 ^a	,552	,788	5,363	79	79	,000
Medidas médias	,815 ^c	,711	,881	5,363	79	79	,000

Modelo de efeitos mistos bidirecional em que os efeitos das pessoas são aleatórios e os das medidas são fixos.

- O estimador é o mesmo, esteja o efeito de interação presente ou não.
- Os coeficientes de correlação intraclasse tipo A que usam uma definição de concordância absoluta.
- Essa estimativa é calculada considerando que o efeito de interação esteja ausente, porque ele não pode ser estimado de outra forma.

CCI (M1VM3) – T

	Correlação intraclasse ^b	Intervalo de Confiança 95%		Teste F com Valor True0			
		Limite inferior	Limite superior	Valor	df1	df2	Sig
Medidas únicas	,315 ^a	,089	,507	2,150	79	79	,000
Medidas médias	,479 ^c	,164	,673	2,150	79	79	,000

Modelo de efeitos mistos bidirecional em que os efeitos das pessoas são aleatórios e os das medidas são fixos.

- O estimador é o mesmo, esteja o efeito de interação presente ou não.
- Os coeficientes de correlação intraclasse tipo A que usam uma definição de concordância absoluta.
- Essa estimativa é calculada considerando que o efeito de interação esteja ausente, porque ele não pode ser estimado de outra forma.

CCI (M1VM3) – P

	Correlação intraclass ^b	Intervalo de Confiança 95%		Teste F com Valor True0			
		Limite inferior	Limite superior	Valor	df1	df2	Sig
Medidas únicas	,375 ^a	,088	,587	2,720	79	79	,000
Medidas médias	,546 ^c	,162	,739	2,720	79	79	,000

Modelo de efeitos mistos bidirecional em que os efeitos das pessoas são aleatórios e os das medidas são fixos.

- O estimador é o mesmo, esteja o efeito de interação presente ou não.
- Os coeficientes de correlação intraclass tipo A que usam uma definição de concordância absoluta.
- Essa estimativa é calculada considerando que o efeito de interação esteja ausente, porque ele não pode ser estimado de outra forma.

CCI (M1VM3) – R

	Correlação intraclass ^b	Intervalo de Confiança 95%		Teste F com Valor True0			
		Limite inferior	Limite superior	Valor	df1	df2	Sig
Medidas únicas	,503 ^a	,319	,650	3,152	79	79	,000
Medidas médias	,669 ^c	,483	,788	3,152	79	79	,000

Modelo de efeitos mistos bidirecional em que os efeitos das pessoas são aleatórios e os das medidas são fixos.

- O estimador é o mesmo, esteja o efeito de interação presente ou não.
- Os coeficientes de correlação intraclass tipo A que usam uma definição de concordância absoluta.
- Essa estimativa é calculada considerando que o efeito de interação esteja ausente, porque ele não pode ser estimado de outra forma.

CCI (M1VM3) – Pa

	Correlação intraclass ^b	Intervalo de Confiança 95%		Teste F com Valor True0			
		Limite inferior	Limite superior	Valor	df1	df2	Sig
Medidas únicas	,457 ^a	-,085	,747	5,549	79	79	,000
Medidas médias	,627 ^c	-,186	,855	5,549	79	79	,000

Modelo de efeitos mistos bidirecional em que os efeitos das pessoas são aleatórios e os das medidas são fixos.

- O estimador é o mesmo, esteja o efeito de interação presente ou não.
- Os coeficientes de correlação intraclass tipo A que usam uma definição de concordância absoluta.
- Essa estimativa é calculada considerando que o efeito de interação esteja ausente, porque ele não pode ser estimado de outra forma.

CCI (M1VM3) – Ra

	Correlação intraclass ^b	Intervalo de Confiança 95%		Teste F com Valor True0			
		Limite inferior	Limite superior	Valor	df1	df2	Sig
Medidas únicas	,948 ^a	,919	,966	36,926	79	79	,000
Medidas médias	,973 ^c	,958	,983	36,926	79	79	,000

Modelo de efeitos mistos bidirecional em que os efeitos das pessoas são aleatórios e os das medidas são fixos.

- O estimador é o mesmo, esteja o efeito de interação presente ou não.
- Os coeficientes de correlação intraclass tipo A que usam uma definição de concordância absoluta.
- Essa estimativa é calculada considerando que o efeito de interação esteja ausente, porque ele não pode ser estimado de outra forma.

CCI (M1VM3) – A

	Correlação intraclass ^b	Intervalo de Confiança 95%		Teste F com Valor True0			
		Limite inferior	Limite superior	Valor	df1	df2	Sig
Medidas únicas	,227 ^a	-,092	,515	2,747	79	79	,000
Medidas médias	,370 ^c	-,204	,680	2,747	79	79	,000

Modelo de efeitos mistos bidirecional em que os efeitos das pessoas são aleatórios e os das medidas são fixos.

- O estimador é o mesmo, esteja o efeito de interação presente ou não.
- Os coeficientes de correlação intraclass tipo A que usam uma definição de concordância absoluta.
- Essa estimativa é calculada considerando que o efeito de interação esteja ausente, porque ele não pode ser estimado de outra forma.

CCI (M1VM3) – Pb

	Correlação intraclass ^b	Intervalo de Confiança 95%		Teste F com Valor True0			
		Limite inferior	Limite superior	Valor	df1	df2	Sig
Medidas únicas	,497 ^a	,077	,724	4,356	79	79	,000
Medidas médias	,664 ^c	,143	,840	4,356	79	79	,000

Modelo de efeitos mistos bidirecional em que os efeitos das pessoas são aleatórios e os das medidas são fixos.

- O estimador é o mesmo, esteja o efeito de interação presente ou não.
- Os coeficientes de correlação intraclass tipo A que usam uma definição de concordância absoluta.
- Essa estimativa é calculada considerando que o efeito de interação esteja ausente, porque ele não pode ser estimado de outra forma.

CCI (M1VM3) – Rb

	Correlação intraclass ^b	Intervalo de Confiança 95%		Teste F com Valor True0			
		Limite inferior	Limite superior	Valor	df1	df2	Sig
Medidas únicas	,877 ^a	,811	,920	16,084	79	79	,000
Medidas médias	,934 ^c	,895	,959	16,084	79	79	,000

Modelo de efeitos mistos bidirecional em que os efeitos das pessoas são aleatórios e os das medidas são fixos.

- O estimador é o mesmo, esteja o efeito de interação presente ou não.
- Os coeficientes de correlação intraclass tipo A que usam uma definição de concordância absoluta.
- Essa estimativa é calculada considerando que o efeito de interação esteja ausente, porque ele não pode ser estimado de outra forma.

CCI (M1VM3) – B

	Correlação intraclass ^b	Intervalo de Confiança 95%		Teste F com Valor True0			
		Limite inferior	Limite superior	Valor	df1	df2	Sig
Medidas únicas	,340 ^a	-,019	,593	2,883	79	79	,000
Medidas médias	,507 ^c	-,040	,744	2,883	79	79	,000

Modelo de efeitos mistos bidirecional em que os efeitos das pessoas são aleatórios e os das medidas são fixos.

- O estimador é o mesmo, esteja o efeito de interação presente ou não.
- Os coeficientes de correlação intraclass tipo A que usam uma definição de concordância absoluta.
- Essa estimativa é calculada considerando que o efeito de interação esteja ausente, porque ele não pode ser estimado de outra forma.

CCI (M1VM3) – Pc

	Correlação intraclassa ^b	Intervalo de Confiança 95%		Teste F com Valor True0			
		Limite inferior	Limite superior	Valor	df1	df2	Sig
Medidas únicas	,484 ^a	,245	,656	3,326	79	79	,000
Medidas médias	,652 ^c	,394	,792	3,326	79	79	,000

Modelo de efeitos mistos bidirecional em que os efeitos das pessoas são aleatórios e os das medidas são fixos.

- O estimador é o mesmo, esteja o efeito de interação presente ou não.
- Os coeficientes de correlação intraclassa tipo A que usam uma definição de concordância absoluta.
- Essa estimativa é calculada considerando que o efeito de interação esteja ausente, porque ele não pode ser estimado de outra forma.

CCI (M1VM3) – Rc

	Correlação intraclassa ^b	Intervalo de Confiança 95%		Teste F com Valor True0			
		Limite inferior	Limite superior	Valor	df1	df2	Sig
Medidas únicas	,849 ^a	,774	,900	12,101	79	79	,000
Medidas médias	,918 ^c	,872	,948	12,101	79	79	,000

Modelo de efeitos mistos bidirecional em que os efeitos das pessoas são aleatórios e os das medidas são fixos.

- O estimador é o mesmo, esteja o efeito de interação presente ou não.
- Os coeficientes de correlação intraclassa tipo A que usam uma definição de concordância absoluta.
- Essa estimativa é calculada considerando que o efeito de interação esteja ausente, porque ele não pode ser estimado de outra forma.

CCI (M1VM3) – C

	Correlação intraclassa ^b	Intervalo de Confiança 95%		Teste F com Valor True0			
		Limite inferior	Limite superior	Valor	df1	df2	Sig
Medidas únicas	,293 ^a	,067	,488	2,058	79	79	,001
Medidas médias	,454 ^c	,126	,656	2,058	79	79	,001

Modelo de efeitos mistos bidirecional em que os efeitos das pessoas são aleatórios e os das medidas são fixos.

- O estimador é o mesmo, esteja o efeito de interação presente ou não.
- Os coeficientes de correlação intraclassa tipo A que usam uma definição de concordância absoluta.
- Essa estimativa é calculada considerando que o efeito de interação esteja ausente, porque ele não pode ser estimado de outra forma.

CCI (M1VM3) – M

	Correlação intraclassa ^b	Intervalo de Confiança 95%		Teste F com Valor True0			
		Limite inferior	Limite superior	Valor	df1	df2	Sig
Medidas únicas	,373 ^a	-,085	,669	4,029	79	79	,000
Medidas médias	,543 ^c	-,186	,802	4,029	79	79	,000

Modelo de efeitos mistos bidirecional em que os efeitos das pessoas são aleatórios e os das medidas são fixos.

- O estimador é o mesmo, esteja o efeito de interação presente ou não.
- Os coeficientes de correlação intraclassa tipo A que usam uma definição de concordância absoluta.
- Essa estimativa é calculada considerando que o efeito de interação esteja ausente, porque ele não pode ser estimado de outra forma.

CCI (M1VM3) – W

	Correlação intraclassa ^b	Intervalo de Confiança 95%		Teste F com Valor True0			
		Limite inferior	Limite superior	Valor	df1	df2	Sig
Medidas únicas	,323 ^a	-,011	,569	2,676	79	79	,000
Medidas médias	,489 ^c	-,022	,725	2,676	79	79	,000

Modelo de efeitos mistos bidirecional em que os efeitos das pessoas são aleatórios e os das medidas são fixos.

- O estimador é o mesmo, esteja o efeito de interação presente ou não.
- Os coeficientes de correlação intraclassa tipo A que usam uma definição de concordância absoluta.
- Essa estimativa é calculada considerando que o efeito de interação esteja ausente, porque ele não pode ser estimado de outra forma.

CCI (M1VM3) – L

	Correlação intraclassa ^b	Intervalo de Confiança 95%		Teste F com Valor True0			
		Limite inferior	Limite superior	Valor	df1	df2	Sig
Medidas únicas	,431 ^a	,164	,623	3,009	79	79	,000
Medidas médias	,602 ^c	,282	,768	3,009	79	79	,000

Modelo de efeitos mistos bidirecional em que os efeitos das pessoas são aleatórios e os das medidas são fixos.

- O estimador é o mesmo, esteja o efeito de interação presente ou não.
- Os coeficientes de correlação intraclassa tipo A que usam uma definição de concordância absoluta.
- Essa estimativa é calculada considerando que o efeito de interação esteja ausente, porque ele não pode ser estimado de outra forma.

CCI (M1VM3) – WL

	Correlação intraclassa ^b	Intervalo de Confiança 95%		Teste F com Valor True0			
		Limite inferior	Limite superior	Valor	df1	df2	Sig
Medidas únicas	,311 ^a	,098	,497	1,892	79	79	,003
Medidas médias	,475 ^c	,178	,664	1,892	79	79	,003

Modelo de efeitos mistos bidirecional em que os efeitos das pessoas são aleatórios e os das medidas são fixos.

- O estimador é o mesmo, esteja o efeito de interação presente ou não.
- Os coeficientes de correlação intraclassa tipo A que usam uma definição de concordância absoluta.
- Essa estimativa é calculada considerando que o efeito de interação esteja ausente, porque ele não pode ser estimado de outra forma.

CCI (M1VM3) – ÁreaTotal

	Correlação intraclassa ^b	Intervalo de Confiança 95%		Teste F com Valor True0			
		Limite inferior	Limite superior	Valor	df1	df2	Sig
Medidas únicas	,882 ^a	,748	,937	20,238	79	79	,000
Medidas médias	,937 ^c	,856	,967	20,238	79	79	,000

Modelo de efeitos mistos bidirecional em que os efeitos das pessoas são aleatórios e os das medidas são fixos.

- O estimador é o mesmo, esteja o efeito de interação presente ou não.
- Os coeficientes de correlação intraclassa tipo A que usam uma definição de concordância absoluta.
- Essa estimativa é calculada considerando que o efeito de interação esteja ausente, porque ele não pode ser estimado de outra forma.

CCI (M1VM3) – ÁreaPolpa

	Correlação intraclass ^b	Intervalo de Confiança 95%		Teste F com Valor True0			
		Limite inferior	Limite superior	Valor	df1	df2	Sig
Medidas únicas	,494 ^a	,226	,674	3,554	79	79	,000
Medidas médias	,661 ^c	,369	,806	3,554	79	79	,000

Modelo de efeitos mistos bidirecional em que os efeitos das pessoas são aleatórios e os das medidas são fixos.

- O estimador é o mesmo, esteja o efeito de interação presente ou não.
- Os coeficientes de correlação intraclass tipo A que usam uma definição de concordância absoluta.
- Essa estimativa é calculada considerando que o efeito de interação esteja ausente, porque ele não pode ser estimado de outra forma.

CCI (M1VM3) – PT

	Correlação intraclass ^b	Intervalo de Confiança 95%		Teste F com Valor True0			
		Limite inferior	Limite superior	Valor	df1	df2	Sig
Medidas únicas	,285 ^a	,076	,471	1,922	79	79	,002
Medidas médias	,443 ^c	,141	,641	1,922	79	79	,002

Modelo de efeitos mistos bidirecional em que os efeitos das pessoas são aleatórios e os das medidas são fixos.

- O estimador é o mesmo, esteja o efeito de interação presente ou não.
- Os coeficientes de correlação intraclass tipo A que usam uma definição de concordância absoluta.
- Essa estimativa é calculada considerando que o efeito de interação esteja ausente, porque ele não pode ser estimado de outra forma.

CCI (M1VM3) – Comp.DENTE

	Correlação intraclass ^b	Intervalo de Confiança 95%		Teste F com Valor True0			
		Limite inferior	Limite superior	Valor	df1	df2	Sig
Medidas únicas	,891 ^a	,823	,932	19,008	79	79	,000
Medidas médias	,942 ^c	,903	,965	19,008	79	79	,000

Modelo de efeitos mistos bidirecional em que os efeitos das pessoas são aleatórios e os das medidas são fixos.

- O estimador é o mesmo, esteja o efeito de interação presente ou não.
- Os coeficientes de correlação intraclass tipo A que usam uma definição de concordância absoluta.
- Essa estimativa é calculada considerando que o efeito de interação esteja ausente, porque ele não pode ser estimado de outra forma.

CCI (M1VM3) – Comp.POLPA

	Correlação intraclass ^b	Intervalo de Confiança 95%		Teste F com Valor True0			
		Limite inferior	Limite superior	Valor	df1	df2	Sig
Medidas únicas	,801 ^a	,613	,890	11,386	79	79	,000
Medidas médias	,890 ^c	,760	,942	11,386	79	79	,000

Modelo de efeitos mistos bidirecional em que os efeitos das pessoas são aleatórios e os das medidas são fixos.

- O estimador é o mesmo, esteja o efeito de interação presente ou não.
- Os coeficientes de correlação intraclass tipo A que usam uma definição de concordância absoluta.
- Essa estimativa é calculada considerando que o efeito de interação esteja ausente, porque ele não pode ser estimado de outra forma.

Anexo 7 – Método de Cameriere: Correlações de Pearson

Correlações			Idade (em meses) na data do Rx panorâmico	Área da polpa/Área total – Dente 13	Área da polpa/Área total – Dente 23	Área da polpa/Área total – Dente 33	Área da polpa/Área total – Dente 43
Idade (em meses) na data do Rx panorâmico	Correlação de Pearson	1		–,050	–,081	–,040	–,117
	Sig. (2 extremidades)			,484	,254	,574	,099
	N	200		200	200	200	200
Área da polpa/Área total – Dente 13	Correlação de Pearson	–,050	1		,242**	,288**	,112
	Sig. (2 extremidades)	,484			,001	,000	,115
	N	200	200		200	200	200
Área da polpa/Área total – Dente 23	Correlação de Pearson	–,081	,242**	1		,217**	,219**
	Sig. (2 extremidades)	,254	,001			,002	,002
	N	200	200	200		200	200
Área da polpa/Área total – Dente 33	Correlação de Pearson	–,040	,288**	,217**	1		,377**
	Sig. (2 extremidades)	,574	,000	,002			,000
	N	200	200	200	200		200
Área da polpa/Área total – Dente 43	Correlação de Pearson	–,117	,112	,219**	,377**	1	
	Sig. (2 extremidades)	,099	,115	,002	,000		
	N	200	200	200	200	200	200

** . A correlação é significativa no nível 0,01 (2 extremidades).

Anexo 8 – Método de Cameriere: Correlações de Spearman

Correlações			Idade (em meses) na data do Rx panorâmico	Área da polpa/Área total – Dente 13	Área da polpa/Área total – Dente 23	Área da polpa/Área total – Dente 33	Área da polpa/Área total – Dente 43
rô de Spearman	Idade (em meses) na data do Rx panorâmico	Coefficiente de Correlação	1,000	–,041	–,088	–,050	–,092
		Sig. (2 extremidades)	.	,563	,217	,485	,197
		N	200	200	200	200	200
	Área da polpa/Área total – Dente 13	Coefficiente de Correlação	–,041	1,000	,190**	,326**	,092
		Sig. (2 extremidades)	,563	.	,007	,000	,194
		N	200	200	200	200	200
	Área da polpa/Área total – Dente 23	Coefficiente de Correlação	–,088	,190**	1,000	,226**	,207**
		Sig. (2 extremidades)	,217	,007	.	,001	,003
		N	200	200	200	200	200
	Área da polpa/Área total – Dente 33	Coefficiente de Correlação	–,050	,326**	,226**	1,000	,359**
		Sig. (2 extremidades)	,485	,000	,001	.	,000
		N	200	200	200	200	200
	Área da polpa/Área total – Dente 43	Coefficiente de Correlação	–,092	,092	,207**	,359**	1,000
		Sig. (2 extremidades)	,197	,194	,003	,000	.
		N	200	200	200	200	200

** . A correlação é significativa no nível 0,01 (2 extremidades).

Anexo 9 – R², R² ajustado e SEE de Cameriere

Dente 13^b

Modelo	R	R quadrado	R quadrado ajustado	Erro padrão da estimativa
1	,050 ^a	,002	-,003	183,785

a. Preditores: (Constante), Área da polpa/Área total – Dente 13

b. Variável Dependente: Idade (em meses) na data do Rx panorâmico

Dente 23^b

Modelo	R	R quadrado	R quadrado ajustado	Erro padrão da estimativa
1	,081 ^a	,007	,002	183,408

a. Preditores: (Constante), Área da polpa/Área total – Dente 23

b. Variável Dependente: Idade (em meses) na data do Rx panorâmico

Dente 33^b

Modelo	R	R quadrado	R quadrado ajustado	Erro padrão da estimativa
1	,040 ^a	,002	-,003	183,866

a. Preditores: (Constante), Área da polpa/Área total – Dente 33

b. Variável Dependente: Idade (em meses) na data do Rx panorâmico

Dente 43^b

Modelo	R	R quadrado	R quadrado ajustado	Erro padrão da estimativa
1	,117 ^a	,014	,009	182,750

a. Preditores: (Constante), Área da polpa/Área total – Dente 43

b. Variável Dependente: Idade (em meses) na data do Rx panorâmico

Par de dentes 13/43^d

Modelo	R	R quadrado	R quadrado ajustado	Erro padrão da estimativa
1	,123 ^a	,015	,000	183,552
2	,123 ^b	,015	,005	183,086
3	,117 ^c	,014	,009	182,750

- a. Preditores: (Constante), PT_13_43, Área da polpa/Área total – Dente 43, Área da polpa/Área total – Dente 13
- b. Preditores: (Constante), Área da polpa/Área total – Dente 43, Área da polpa/Área total – Dente 13
- c. Preditores: (Constante), Área da polpa/Área total – Dente 43
- d. Variável Dependente: Idade (em meses) na data do Rx panorâmico

Par de dente 23/33

Modelo	R	R quadrado	R quadrado ajustado	Erro padrão da estimativa
1	,103 ^a	,011	-,005	183,974
2	,093 ^b	,009	-,001	183,683
3	,087 ^c	,008	,003	183,314
4	,000 ^d	,000	,000	183,550

- a. Preditores: (Constante), PT_23_33, Área da polpa/Área total – Dente 33, Área da polpa/Área total – Dente 23
- b. Preditores: (Constante), PT_23_33, Área da polpa/Área total – Dente 33
- c. Preditores: (Constante), PT_23_33
- d. Preditor: (constante)

Anexo 10 – Modelos de Regressão Linear de Cameriere

Regressão linear – Dente 13^a

Modelo		Coeficientes não padronizados		Coeficientes padronizados	t	Sig.
		B	Erro Erro	Beta		
1	(Constante)	568,591	73,055		7,783	,000
	Área da polpa/Área total – Dente 13	-289,750	412,994	-,050	-,702	,484

a. Variável Dependente: Idade (em meses) na data do Rx panorâmico

Regressão linear – Dente 23^a

Modelo		Coeficientes não padronizados		Coeficientes padronizados	t	Sig.
		B	Erro Erro	Beta		
1	(Constante)	593,478	67,091		8,846	,000
	Área da polpa/Área total – Dente 23	-430,078	375,852	-,081	-1,144	,254

a. Variável Dependente: Idade (em meses) na data do Rx panorâmico

Regressão linear – Dente 33^a

Modelo		Coeficientes não padronizados		Coeficientes padronizados	t	Sig.
		B	Erro Erro	Beta		
1	(Constante)	560,315	75,992		7,373	,000
	Área da polpa/Área total – Dente 33	-222,648	395,398	-,040	-,563	,574

a. Variável Dependente: Idade (em meses) na data do Rx panorâmico

Regressão linear – Dente 43^a

Modelo		Coeficientes não padronizados		Coeficientes padronizados	t	Sig.
		B	Erro Erro	Beta		
1	(Constante)	639,974	74,631		8,575	,000
	Área da polpa/Área total – Dente 43	-646,019	389,799	-,117	-1,657	,099

a. Variável Dependente: Idade (em meses) na data do Rx panorâmico

Regressão linear – 13/43^a

Modelo		Coeficientes não padronizados		Coeficientes padronizados	t	Sig.
		B	Erro Erro	Beta		
1	(Constante)	679,793	379,250		1,792	,075
	Área da polpa/Área total – Dente 13	-254,421	2189,739	-,044	-,116	,908
	Área da polpa/Área total – Dente 43	-656,964	1958,566	-,119	-,335	,738
	PT_13_43	198,296	11226,434	,010	,018	,986
2	(Constante)	673,324	98,284		6,851	,000
	Área da polpa/Área total – Dente 13	-216,444	414,014	-,037	-,523	,602
	Área da polpa/Área total – Dente 43	-623,077	392,974	-,113	-1,586	,114
3	(Constante)	639,974	74,631		8,575	,000
	Área da polpa/Área total – Dente 43	-646,019	389,799	-,117	-1,657	,099

a. Variável Dependente: Idade (em meses) na data do Rx panorâmico

Regressão linear – 23/33^a

Modelo		Coeficientes não padronizados		Coeficientes padronizados	t	Sig.
		B	Erro Erro	Beta		
1	(Constante)	339,676	344,943		,985	,326
	Área da polpa/Área total – Dente 23	1269,385	2067,598	,239	,614	,540
	Área da polpa/Área total – Dente 33	1279,740	1760,443	,230	,727	,468
	PT_23_33	-8565,252	10402,927	-,449	-,823	,411
2	(Constante)	546,109	76,865		7,105	,000
	Área da polpa/Área total – Dente 33	256,577	566,360	,046	,453	,651
	PT_23_33	-2290,883	1940,237	-,120	-1,181	,239
3	(Constante)	573,649	46,945		12,220	,000
	PT_23_33	-1660,971	1350,492	-,087	-1,230	,220
4	(Constante)	518,155	12,979		39,923	,000

a. Variável Dependente: Idade (em meses) na data do Rx panorâmico

Anexo 11 - Método de Kvaal: Correlações de Pearson

I – Dente 13

Correlações												
Variáveis	Estatísticas	Idade (em meses) na data do Rx panorâmico	Variáveis									
			Dente/Raiz – Dente13	Polpa/Raiz – Dente13	Polpa/Dente – Dente13	Largura da polpa/Largura a da raiz – A – Dente 13	Largura da polpa/Largura a da raiz – B – Dente 13	Largura da polpa/Largura a da raiz – C – Dente 13	(P + R + A + B + C)/5 – Dente 13	(B + C)/2 – Dente 13	(P + R)/2 – Dente 13	W – L – Dente 13
Dente/Raiz – Dente13	Correlação de Pearson	-,004	1	,478**	-,471**	,233**	,019	,076	,151*	,046	,106	-,036
	Sig. (2 extremidades)	,950		,000	,000	,001	,790	,286	,033	,516	,136	,610
	N	200	200	200	200	200	200	200	200	200	200	200
Polpa/Raiz – Dente13	Correlação de Pearson	-,139	,478**	1	,543**	,342**	-,007	,143*	,651**	,050	,923**	-,586**
	Sig. (2 extremidades)	,050	,000		,000	,000	,922	,044	,000	,481	,000	,000
	N	200	200	200	200	200	200	200	200	200	200	200
Polpa/Dente – Dente13	Correlação de Pearson	-,133	-,471**	,543**	1	,111	-,033	,088	,506**	,006	,825**	-,553**
	Sig. (2 extremidades)	,060	,000	,000		,116	,643	,215	,000	,931	,000	,000
	N	200	200	200	200	200	200	200	200	200	200	200
Largura da polpa/Largura da raiz – A – Dente 13	Correlação de Pearson	-,140*	,233**	,342**	,111	1	,160*	,205**	,562**	,218**	,281**	-,024
	Sig. (2 extremidades)	,049	,001	,000	,116		,024	,004	,000	,002	,000	,737
	N	200	200	200	200	200	200	200	200	200	200	200
Largura da polpa/Largura da raiz – B – Dente 13	Correlação de Pearson	-,110	,019	-,007	-,033	,160*	1	,150*	,626**	,922**	-,020	,716**
	Sig. (2 extremidades)	,123	,790	,922	,643	,024		,034	,000	,000	,780	,000
	N	200	200	200	200	200	200	200	200	200	200	200
Largura da polpa/Largura da raiz – C – Dente 13	Correlação de Pearson	-,151*	,076	,143*	,088	,205**	,150*	1	,469**	,522**	,137	,305**
	Sig. (2 extremidades)	,033	,286	,044	,215	,004	,034		,000	,000	,054	,000
	N	200	200	200	200	200	200	200	200	200	200	200
(P + R + A + B + C)/5 – Dente 13	Correlação de Pearson	-,224**	,151*	,651**	,506**	,562**	,626**	,469**	1	,725**	,671**	,099
	Sig. (2 extremidades)	,001	,033	,000	,000	,000	,000	,000		,000	,000	,164
	N	200	200	200	200	200	200	200	200	200	200	200
(B + C)/2 – Dente 13	Correlação de Pearson	-,154*	,046	,050	,006	,218**	,922**	,522**	,725**	1	,037	,737**
	Sig. (2 extremidades)	,030	,516	,481	,931	,002	,000	,000	,000		,607	,000
	N	200	200	200	200	200	200	200	200	200	200	200
(P + R)/2 – Dente 13	Correlação de Pearson	-,154*	,106	,923**	,825**	,281**	-,020	,137	,671**	,037	1	-,648**
	Sig. (2 extremidades)	,029	,136	,000	,000	,000	,780	,054	,000	,607		,000
	N	200	200	200	200	200	200	200	200	200	200	200
W – L – Dente 13	Correlação de Pearson	-,013	-,036	-,586**	-,553**	-,024	,716**	,305**	,099	,737**	-,648**	1
	Sig. (2 extremidades)	,858	,610	,000	,000	,737	,000	,000	,164	,000	,000	
	N	200	200	200	200	200	200	200	200	200	200	200

II – Dente 23

Correlações												
		Idade (em meses) na data do Rx panorâmico	Dente/Raiz – Dente23	Polpa/Raiz – Dente23	Polpa/Dente – Dente23	Largura da polpa/Largura a da raiz – A – Dente 23	Largura da polpa/Largura a da raiz – B – Dente 23	Largura da polpa/Largura a da raiz – C – Dente 23	(P + R + A + B + C)/5 – Dente 23	(B + C)/2 – Dente 23	(P + R)/2 – Dente 23	W – L – Dente 23
Dente/Raiz – Dente23	Correlação de Pearson	,034	1	,618**	-,308**	,253**	,027	,085	,310**	,065	,328**	-,243**
	Sig. (2 extremidades)	,638		,000	,000	,000	,704	,231	,000	,357	,000	,001
	N	200	200	200	200	200	200	200	200	200	200	200
Polpa/Raiz – Dente23	Correlação de Pearson	,056	,618**	1	,556**	,342**	,090	,163*	,754**	,148*	,945**	-,726**
	Sig. (2 extremidades)	,430	,000		,000	,000	,207	,021	,000	,037	,000	,000
	N	200	200	200	200	200	200	200	200	200	200	200
Polpa/Dente – Dente23	Correlação de Pearson	,031	-,308**	,556**	1	,159*	,084	,112	,590**	,114	,797**	-,618**
	Sig. (2 extremidades)	,660	,000	,000		,024	,239	,115	,000	,107	,000	,000
	N	200	200	200	200	200	200	200	200	200	200	200
Largura da polpa/Largura da raiz – A – Dente 23	Correlação de Pearson	-,090	,253**	,342**	,159*	1	,362**	,317**	,687**	,398**	,311**	-,014
	Sig. (2 extremidades)	,203	,000	,000	,024		,000	,000	,000	,000	,000	,848
	N	200	200	200	200	200	200	200	200	200	200	200
Largura da polpa/Largura da raiz – B – Dente 23	Correlação de Pearson	-,128	,027	,090	,084	,362**	1	,453**	,563**	,856**	,098	,466**
	Sig. (2 extremidades)	,071	,704	,207	,239	,000		,000	,000	,000	,168	,000
	N	200	200	200	200	200	200	200	200	200	200	200
Largura da polpa/Largura da raiz – C – Dente 23	Correlação de Pearson	-,085	,085	,163*	,112	,317**	,453**	1	,585**	,849**	,162*	,407**
	Sig. (2 extremidades)	,230	,231	,021	,115	,000	,000		,000	,000	,022	,000
	N	200	200	200	200	200	200	200	200	200	200	200
(P + R + A + B + C)/5 – Dente 23	Correlação de Pearson	-,053	,310**	,754**	,590**	,687**	,563**	,585**	1	,673**	,780**	-,244**
	Sig. (2 extremidades)	,457	,000	,000	,000	,000	,000	,000		,000	,000	,001
	N	200	200	200	200	200	200	200	200	200	200	200
(B + C)/2 – Dente 23	Correlação de Pearson	-,125	,065	,148*	,114	,398**	,856**	,849**	,673**	1	,152*	,512**
	Sig. (2 extremidades)	,077	,357	,037	,107	,000	,000	,000	,000		,031	,000
	N	200	200	200	200	200	200	200	200	200	200	200
(P + R)/2 – Dente 23	Correlação de Pearson	,053	,328**	,945**	,797**	,311**	,098	,162*	,780**	,152*	1	-,771**
	Sig. (2 extremidades)	,455	,000	,000	,000	,000	,168	,022	,000	,031		,000
	N	200	200	200	200	200	200	200	200	200	200	200
W – L – Dente 23	Correlação de Pearson	-,127	-,243**	-,726**	-,618**	-,014	,466**	,407**	-,244**	,512**	-,771**	1
	Sig. (2 extremidades)	,073	,001	,000	,000	,848	,000	,000	,001	,000	,000	
	N	200	200	200	200	200	200	200	200	200	200	200

Estimativa Médico-Legal da Idade pela Proporção Polpa/Dente numa População Portuguesa: Comparação entre o Método de Cameriere e o Método de Kvaal em Caninos

III – Dente 33

Correlações												
		Idade (em meses) na data do Rx panorâmico	Dente/Raiz – Dente33	Polpa/Raiz – Dente33	Polpa/Dente – Dente33	Largura da polpa/Largura da raiz – A – Dente 33	Largura da polpa/Largura da raiz – B – Dente 33	Largura da polpa/Largura da raiz – C – Dente 33	(P + R + A + B + C)/5 – Dente 33	(B + C)/2 – Dente 33	(P + R)/2 – Dente 33	W – L – Dente 33
Dente/Raiz – Dente33	Correlação de Pearson	–,085	1	,589**	–,424**	–,011	,004	–,002	,143*	,001	,236**	–,184**
	Sig. (2 extremidades)	,232		,000	,000	,873	,957	,981	,043	,985	,001	,009
	N	200	200	200	200	200	200	200	200	200	200	200
Polpa/Raiz – Dente33	Correlação de Pearson	–,130	,589**	1	,480**	,046	,070	,059	,628**	,076	,924**	–,672**
	Sig. (2 extremidades)	,067	,000		,000	,516	,324	,409	,000	,284	,000	,000
	N	200	200	200	200	200	200	200	200	200	200	200
Polpa/Dente – Dente33	Correlação de Pearson	–,053	–,424**	,480**	1	,067	,075	,068	,549**	,085	,779**	–,552**
	Sig. (2 extremidades)	,453	,000	,000		,347	,293	,335	,000	,233	,000	,000
	N	200	200	200	200	200	200	200	200	200	200	200
Largura da polpa/Largura da raiz – A – Dente 33	Correlação de Pearson	,029	–,011	,046	,067	1	,332**	,315**	,562**	,383**	,062	,218**
	Sig. (2 extremidades)	,688	,873	,516	,347		,000	,000	,000	,000	,382	,002
	N	200	200	200	200	200	200	200	200	200	200	200
Largura da polpa/Largura da raiz – B – Dente 33	Correlação de Pearson	–,151*	,004	,070	,075	,332**	1	,432**	,622**	,850**	,083	,527**
	Sig. (2 extremidades)	,033	,957	,324	,293	,000		,000	,000	,000	,245	,000
	N	200	200	200	200	200	200	200	200	200	200	200
Largura da polpa/Largura da raiz – C – Dente 33	Correlação de Pearson	–,036	–,002	,059	,068	,315**	,432**	1	,606**	,842**	,072	,530**
	Sig. (2 extremidades)	,614	,981	,409	,335	,000	,000		,000	,000	,312	,000
	N	200	200	200	200	200	200	200	200	200	200	200
(P + R + A + B + C)/5 – Dente 33	Correlação de Pearson	–,124	,143*	,628**	,549**	,562**	,622**	,606**	1	,725**	,688**	–,034
	Sig. (2 extremidades)	,081	,043	,000	,000	,000	,000	,000		,000	,000	,630
	N	200	200	200	200	200	200	200	200	200	200	200
(B + C)/2 – Dente 33	Correlação de Pearson	–,111	,001	,076	,085	,383**	,850**	,842**	,725**	1	,091	,625**
	Sig. (2 extremidades)	,117	,985	,284	,233	,000	,000	,000	,000		,199	,000
	N	200	200	200	200	200	200	200	200	200	200	200
(P + R)/2 – Dente 33	Correlação de Pearson	–,116	,236**	,924**	,779**	,062	,083	,072	,688**	,091	1	–,721**
	Sig. (2 extremidades)	,102	,001	,000	,000	,382	,245	,312	,000	,199		,000
	N	200	200	200	200	200	200	200	200	200	200	200
W – L – Dente 33	Correlação de Pearson	,014	–,184**	–,672**	–,552**	,218**	,527**	,530**	–,034	,625**	–,721**	1
	Sig. (2 extremidades)	,849	,009	,000	,000	,002	,000	,000	,630	,000	,000	
	N	200	200	200	200	200	200	200	200	200	200	200

IV – Dente 43

Correlações												
		Idade (em meses) na data do Rx panorâmico	Dente/Raiz – Dente43	Polpa/Raiz – Dente43	Polpa/Dente – Dente43	Largura da polpa/Largura da raiz – A – Dente 43	Largura da polpa/Largura da raiz – B – Dente 43	Largura da polpa/Largura da raiz – C – Dente 43	(P + R + A + B + C)/5 – Dente 43	(B + C)/2 – Dente 43	(P + R)/2 – Dente 43	W – L – Dente 43
Dente/Raiz – Dente43	Correlação de Pearson	–,080	1	,589**	–,408**	,196**	,247**	,119	,322**	,215**	,251**	–,041
	Sig. (2 extremidades)	,258		,000	,000	,006	,000	,092	,000	,002	,000	,565
	N	200	200	200	200	200	200	200	200	200	200	200
Polpa/Raiz – Dente43	Correlação de Pearson	–,163*	,589**	1	,495**	,200**	,132	,173*	,711**	,186**	,930**	–,596**
	Sig. (2 extremidades)	,021	,000		,000	,004	,063	,014	,000	,008	,000	,000
	N	200	200	200	200	200	200	200	200	200	200	200
Polpa/Dente – Dente43	Correlação de Pearson	–,108	–,408**	,495**	1	,017	–,098	,071	,465**	–,008	,780**	–,620**
	Sig. (2 extremidades)	,127	,000	,000		,808	,167	,315	,000	,905	,000	,000
	N	200	200	200	200	200	200	200	200	200	200	200
Largura da polpa/Largura da raiz – A – Dente 43	Correlação de Pearson	–,120	,196**	,200**	,017	1	,467**	,261**	,602**	,430**	,151*	,194**
	Sig. (2 extremidades)	,091	,006	,004	,808		,000	,000	,000	,000	,032	,006
	N	200	200	200	200	200	200	200	200	200	200	200
Largura da polpa/Largura da raiz – B – Dente 43	Correlação de Pearson	–,245**	,247**	,132	–,098	,467**	1	,368**	,600**	,797**	,053	,539**
	Sig. (2 extremidades)	,000	,000	,063	,167	,000		,000	,000	,000	,454	,000
	N	200	200	200	200	200	200	200	200	200	200	200
Largura da polpa/Largura da raiz – C – Dente 43	Correlação de Pearson	–,132	,119	,173*	,071	,261**	,368**	1	,635**	,854**	,155*	,500**
	Sig. (2 extremidades)	,062	,092	,014	,315	,000	,000		,000	,000	,029	,000
	N	200	200	200	200	200	200	200	200	200	200	200
(P + R + A + B + C)/5 – Dente 43	Correlação de Pearson	–,253**	,322**	,711**	,465**	,602**	,600**	,635**	1	,747**	,709**	–,014
	Sig. (2 extremidades)	,000	,000	,000	,000	,000	,000	,000		,000	,000	,845
	N	200	200	200	200	200	200	200	200	200	200	200
(B + C)/2 – Dente 43	Correlação de Pearson	–,223**	,215**	,186**	–,008	,430**	,797**	,854**	,747**	1	,130	,626**
	Sig. (2 extremidades)	,002	,002	,008	,905	,000	,000	,000	,000		,066	,000
	N	200	200	200	200	200	200	200	200	200	200	200
(P + R)/2 – Dente 43	Correlação de Pearson	–,163*	,251**	,930**	,780**	,151*	,053	,155*	,709**	,130	1	–,692**
	Sig. (2 extremidades)	,021	,000	,000	,000	,032	,454	,029	,000	,066		,000
	N	200	200	200	200	200	200	200	200	200	200	200
W – L – Dente 43	Correlação de Pearson	–,033	–,041	–,596**	–,620**	,194**	,539**	,500**	–,014	,626**	–,692**	1
	Sig. (2 extremidades)	,638	,565	,000	,000	,006	,000	,000	,845	,000	,000	
	N	200	200	200	200	200	200	200	200	200	200	200

Anexo 12 - R^2 , R^2 ajustado e SEE de Kvaal

I - Variáveis M, W-L e G

Resumo do modelo Dente 13^c

Modelo	R	R quadrado	R quadrado ajustado	SEE
1	,267 ^a	,071	,057	178,251
2	,266 ^b	,071	,061	177,837

a. Preditores: (Constante), Género do paciente, $(P + R + A + B + C)/5$ - Dente 13, W - L - Dente 13

b. Preditores: (Constante), Género do paciente, $(P + R + A + B + C)/5$ - Dente 13

c. Variável Dependente: Idade (em meses) na data do Rx panorâmico

Resumo do modelo Dente 23^c

Modelo	R	R quadrado	R quadrado ajustado	SEE
1	,205 ^a	,042	,027	181,014
2	,191 ^b	,037	,027	181,067

a. Preditores: (Constante), W - L - Dente 23, Género do paciente, $(P + R + A + B + C)/5$ - Dente 23

b. Preditores: (Constante), W - L - Dente 23, Género do paciente

c. Variável Dependente: Idade (em meses) na data do Rx panorâmico

Resumo do modelo Dente 33^d

Modelo	R	R quadrado	R quadrado ajustado	SEE
1	,185 ^a	,034	,020	181,748
2	,185 ^b	,034	,024	181,291
3	,145 ^c	,021	,016	182,071

a. Preditores: (Constante), W - L - Dente 33, Género do paciente, $(P + R + A + B + C)/5$ - Dente 33

b. Preditores: (Constante), Género do paciente, $(P + R + A + B + C)/5$ - Dente 33

c. Preditores: (Constante), Género do paciente

d. Variável Dependente: Idade (em meses) na data do Rx panorâmico

Resumo do modelo Dente 43^c

Modelo	R	R quadrado	R quadrado ajustado	SEE
1	,298 ^a	,089	,075	176,519
2	,292 ^b	,085	,076	176,436

a. Preditores: (Constante), W - L - Dente 43, $(P + R + A + B + C)/5$ - Dente 43, Género do paciente

b. Preditores: (Constante), $(P + R + A + B + C)/5$ - Dente 43, Género do paciente

c. Variável Dependente: Idade (em meses) na data do Rx panorâmico

II - Variáveis T, P, R, A, B, C e G

Resumo do modelo Dente 13^f

Modelo	R	R quadrado	R quadrado ajustado	SEE
1	,278 ^a	,078	,044	179,479
2	,278 ^b	,077	,049	179,017
3	,271 ^c	,073	,049	178,952
4	,258 ^d	,067	,047	179,141
5	,245 ^e	,060	,045	179,328

- a. Preditores: (Constante), Largura da polpa/Largura da raiz – C – Dente 13, Género do paciente, Dente/Raiz – Dente13, Largura da polpa/Largura da raiz – B – Dente 13, Largura da polpa/Largura da raiz – A – Dente 13, Polpa/Dente – Dente13, Polpa/Raiz – Dente13
- b. Preditores: (Constante), Largura da polpa/Largura da raiz – C – Dente 13, Género do paciente, Dente/Raiz – Dente13, Largura da polpa/Largura da raiz – B – Dente 13, Largura da polpa/Largura da raiz – A – Dente 13, Polpa/Raiz – Dente13
- c. Preditores: (Constante), Largura da polpa/Largura da raiz – C – Dente 13, Género do paciente, Dente/Raiz – Dente13, Largura da polpa/Largura da raiz – B – Dente 13, Polpa/Raiz – Dente13
- d. Preditores: (Constante), Largura da polpa/Largura da raiz – C – Dente 13, Género do paciente, Dente/Raiz – Dente13, Polpa/Raiz – Dente13
- e. Preditores: (Constante), Largura da polpa/Largura da raiz – C – Dente 13, Género do paciente, Polpa/Raiz – Dente13
- f. Variável Dependente: Idade (em meses) na data do Rx panorâmico

Resumo do modelo Dente 23^h

Modelo	R	R quadrado	R quadrado ajustado	SEE
1	,223 ^a	,050	,015	182,156
2	,223 ^b	,050	,020	181,683
3	,223 ^c	,050	,025	181,218
4	,222 ^d	,049	,030	180,796
5	,204 ^e	,042	,027	181,068
6	,176 ^f	,031	,021	181,592
7	,145 ^g	,021	,016	182,071

- a. Preditores: (Constante), Largura da polpa/Largura da raiz – C – Dente 23, Dente/Raiz – Dente23, Género do paciente, Polpa/Dente – Dente23, Largura da polpa/Largura da raiz – B – Dente 23, Largura da polpa/Largura da raiz – A – Dente 23, Polpa/Raiz – Dente23
- b. Preditores: (Constante), Dente/Raiz – Dente23, Género do paciente, Polpa/Dente – Dente23, Largura da polpa/Largura da raiz – B – Dente 23, Largura da polpa/Largura da raiz – A – Dente 23, Polpa/Raiz – Dente23
- c. Preditores: (Constante), Dente/Raiz – Dente23, Género do paciente, Largura da polpa/Largura da raiz – B – Dente 23, Largura da polpa/Largura da raiz – A – Dente 23, Polpa/Raiz – Dente23
- d. Preditores: (Constante), Género do paciente, Largura da polpa/Largura da raiz – B – Dente 23, Largura da polpa/Largura da raiz – A – Dente 23, Polpa/Raiz – Dente23
- e. Preditores: (Constante), Género do paciente, Largura da polpa/Largura da raiz – A – Dente 23, Polpa/Raiz – Dente23
- f. Preditores: (Constante), Género do paciente, Largura da polpa/Largura da raiz – A – Dente 23
- g. Preditores: (Constante), Género do paciente
- h. Variável Dependente: Idade (em meses) na data do Rx panorâmico

Resumo do modelo Dente 33^g

Modelo	R	R quadrado	R quadrado ajustado	SEE
1	,255 ^a	,065	,031	180,664
2	,255 ^b	,065	,036	180,197
3	,254 ^c	,065	,040	179,797
4	,240 ^d	,058	,038	179,996
5	,227 ^e	,052	,037	180,121
6	,209 ^f	,044	,034	180,400

a. Preditores: (Constante), Largura da polpa/Largura da raiz – C – Dente 33, Dente/Raiz – Dente33, Género do paciente, Largura da polpa/Largura da raiz – A – Dente 33, Polpa/Dente – Dente33, Largura da polpa/Largura da raiz – B – Dente 33, Polpa/Raiz – Dente33

b. Preditores: (Constante), Largura da polpa/Largura da raiz – C – Dente 33, Dente/Raiz – Dente33, Género do paciente, Largura da polpa/Largura da raiz – A – Dente 33, Polpa/Dente – Dente33, Largura da polpa/Largura da raiz – B – Dente 33

c. Preditores: (Constante), Dente/Raiz – Dente33, Género do paciente, Largura da polpa/Largura da raiz – A – Dente 33, Polpa/Dente – Dente33, Largura da polpa/Largura da raiz – B – Dente 33

d. Preditores: (Constante), Dente/Raiz – Dente33, Género do paciente, Largura da polpa/Largura da raiz – A – Dente 33, Largura da polpa/Largura da raiz – B – Dente 33

e. Preditores: (Constante), Género do paciente, Largura da polpa/Largura da raiz – A – Dente 33, Largura da polpa/Largura da raiz – B – Dente 33

f. Preditores: (Constante), Género do paciente, Largura da polpa/Largura da raiz – B – Dente 33

g. Variável Dependente: Idade (em meses) na data do Rx panorâmico

Resumo do modelo Dente 43^f

Modelo	R	R quadrado	R quadrado ajustado	SEE
1	,345 ^a	,119	,087	175,4
2	,345 ^b	,119	,091	175,0
3	,344 ^c	,118	,096	174,6
4	,335 ^d	,112	,094	174,7
5	,328 ^e	,107	,094	174,7

a. Preditores: (Constante), Largura da polpa/Largura da raiz – C – Dente 43, Género do paciente, Dente/Raiz – Dente43, Largura da polpa/Largura da raiz – A – Dente 43, Polpa/Dente – Dente43, Largura da polpa/Largura da raiz – B – Dente 43, Polpa/Raiz – Dente43

b. Preditores: (Constante), Largura da polpa/Largura da raiz – C – Dente 43, Género do paciente, Dente/Raiz – Dente43, Polpa/Dente – Dente43, Largura da polpa/Largura da raiz – B – Dente 43, Polpa/Raiz – Dente43

c. Preditores: (Constante), Género do paciente, Dente/Raiz – Dente43, Polpa/Dente – Dente43, Largura da polpa/Largura da raiz – B – Dente 43, Polpa/Raiz – Dente43

d. Preditores: (Constante), Género do paciente, Dente/Raiz – Dente43, Polpa/Dente – Dente43, Largura da polpa/Largura da raiz – B – Dente 43

e. Preditores: (Constante), Género do paciente, Polpa/Dente – Dente43, Largura da polpa/Largura da raiz – B – Dente 43

f. Variável Dependente: Idade (em meses) na data do Rx panorâmico

Anexo 13 – Modelos de Regressão Linear de Kvaal

I – Variáveis M, W-L e G

Coefficientes Dente 13^a

Modelo		Coeficientes não padronizados		Coeficientes padronizados	t	Sig.
		B	Erro Erro	Beta		
1	(Constante)	1152,906	223,723		5,153	,000
	(P + R + A + B + C)/5 - Dente 13	-1077,434	331,292	-,225	-3,252	,001
	W - L - Dente 13	45,999	156,479	,020	,294	,769
	Género do paciente	-53,498	25,611	-,144	-2,089	,038
2	(Constante)	1111,842	174,347		6,377	,000
	(P + R + A + B + C)/5 - Dente 13	-1067,865	328,923	-,223	-3,247	,001
	Género do paciente	-52,934	25,479	-,143	-2,078	,039

a. Variável Dependente: Idade (em meses) na data do Rx panorâmico

Coefficientes Dente 23^a

Modelo		Coeficientes não padronizados		Coeficientes padronizados	t	Sig.
		B	Erro Erro	Beta		
1	(Constante)	425,425	228,315		1,863	,064
	Género do paciente	-50,714	26,040	-,137	-1,948	,053
	(P + R + A + B + C)/5 - Dente 23	-404,379	382,632	-,076	-1,057	,292
	W - L - Dente 23	-431,284	216,268	-,144	-1,994	,048
2	(Constante)	257,718	164,200		1,570	,118
	Género do paciente	-53,177	25,943	-,143	-2,050	,042
	W - L - Dente 23	-375,165	209,710	-,125	-1,789	,075

a. Variável Dependente: Idade (em meses) na data do Rx panorâmico

Coefficientes Dente 33^a

Modelo		Coeficientes não padronizados		Coeficientes padronizados	t	Sig.
		B	Erro Erro	Beta		
1	(Constante)	940,977	283,205		3,323	,001
	Género do paciente	-51,091	26,092	-,138	-1,958	,052
	(P + R + A + B + C)/5 - Dente 33	-734,761	448,746	-,115	-1,637	,103
	W - L - Dente 33	21,659	227,321	,007	,095	,924
2	(Constante)	925,213	229,277		4,035	,000
	Género do paciente	-51,139	26,022	-,138	-1,965	,051
	(P + R + A + B + C)/5 - Dente 33	-736,172	447,372	-,115	-1,646	,101
3	(Constante)	549,333	19,866		27,653	,000
	Género do paciente	-53,756	26,085	-,145	-2,061	,041

a. Variável Dependente: Idade (em meses) na data do Rx panorâmico

Coefficientes Dente 43^a

Modelo		Coeficientes não padronizados		Coeficientes padronizados	t	Sig.
		B	Erro Erro	Beta		
1	(Constante)	1134,501	243,806		4,653	,000
	Género do paciente	-57,828	25,630	-,156	-2,256	,025
	(P + R + A + B + C)/5 - Dente 43	-1392,008	372,951	-,254	-3,732	,000
	W - L - Dente 43	-180,180	199,648	-,062	-,902	,368
2	(Constante)	1267,671	193,991		6,535	,000
	Género do paciente	-54,069	25,278	-,146	-2,139	,034
	(P + R + A + B + C)/5 - Dente 43	-1387,063	372,735	-,254	-3,721	,000

a. Variável Dependente: Idade (em meses) na data do Rx panorâmico

Estimativa Médico-Legal da Idade pela Proporção Polpa/Dente numa População Portuguesa: Comparação entre o Método de Cameriere e o Método de Kvaal em Caninos

II - Variáveis T, P, R, A, B, C e G

Coeficientes Dente 13 ^a						
Modelo		Coeficientes não padronizados		Coeficientes padronizados	t	Sig.
		B	Erro Erro	Beta		
1	(Constante)	679,324	1749,173		,388	,698
	Género do paciente	-55,270	25,889	-,149	-2,135	,034
	Dente/Raiz – Dente13	331,218	1186,166	,155	,279	,780
	Polpa/Raiz – Dente13	-516,282	1450,039	-,208	-,356	,722
	Polpa/Dente – Dente13	207,058	2113,428	,057	,098	,922
	Largura da polpa/Largura da raiz – A – Dente 13	-256,713	281,727	-,070	-,911	,363
	Largura da polpa/Largura da raiz – B – Dente 13	-125,571	122,342	-,073	-1,026	,306
	Largura da polpa/Largura da raiz – C – Dente 13	-438,993	274,162	-,116	-1,601	,111
2	(Constante)	848,877	253,506		3,349	,001
	Género do paciente	-55,344	25,811	-,149	-2,144	,033
	Dente/Raiz – Dente13	216,197	168,962	,101	1,280	,202
	Polpa/Raiz – Dente13	-375,639	204,091	-,152	-1,841	,067
	Largura da polpa/Largura da raiz – A – Dente 13	-259,228	279,835	-,070	-,926	,355
	Largura da polpa/Largura da raiz – B – Dente 13	-126,472	121,683	-,074	-1,039	,300
	Largura da polpa/Largura da raiz – C – Dente 13	-434,387	269,407	-,115	-1,612	,109
3	(Constante)	881,722	250,922		3,514	,001
	Género do paciente	-56,301	25,781	-,152	-2,184	,030
	Dente/Raiz – Dente13	203,990	168,386	,096	1,211	,227
	Polpa/Raiz – Dente13	-425,281	196,858	-,172	-2,160	,032
	Largura da polpa/Largura da raiz – B – Dente 13	-142,978	120,327	-,083	-1,188	,236
	Largura da polpa/Largura da raiz – C – Dente 13	-470,985	266,398	-,125	-1,768	,079
4	(Constante)	858,169	250,402		3,427	,001
	Género do paciente	-58,494	25,742	-,158	-2,272	,024
	Dente/Raiz – Dente13	200,091	168,532	,094	1,187	,237
	Polpa/Raiz – Dente13	-417,537	196,958	-,169	-2,120	,035
	Largura da polpa/Largura da raiz – C – Dente 13	-519,775	263,492	-,138	-1,973	,050
5	(Constante)	1024,755	207,614		4,936	,000
	Género do paciente	-56,414	25,709	-,152	-2,194	,029
	Polpa/Raiz – Dente13	-306,341	173,445	-,124	-1,766	,079
	Largura da polpa/Largura da raiz – C – Dente 13	-516,592	263,753	-,137	-1,959	,052

Coeficientes Dente 23 ^a						
Modelo		Coeficientes não padronizados		Coeficientes padronizados	t	Sig.
		B	Erro Erro	Beta		
1	(Constante)	811,482	4219,261		,192	,848
	Género do paciente	-57,641	27,109	-,155	-2,126	,035
	Dente/Raiz – Dente23	-293,481	2750,597	-,138	-,107	,915
	Polpa/Raiz – Dente23	587,990	3497,854	,248	,168	,867
	Polpa/Dente – Dente23	-459,687	5368,661	-,105	-,086	,932
	Largura da polpa/Largura da raiz – A – Dente 23	-334,033	280,230	-,099	-1,192	,235
	Largura da polpa/Largura da raiz – B – Dente 23	-377,475	322,111	-,096	-1,172	,243
	Largura da polpa/Largura da raiz – C – Dente 23	1,756	329,340	,000	,005	,996
2	(Constante)	810,491	4204,233		,193	,847
	Género do paciente	-57,612	26,503	-,155	-2,174	,031
	Dente/Raiz – Dente23	-292,780	2740,329	-,138	-,107	,915
	Polpa/Raiz – Dente23	587,172	3485,427	,247	,168	,866
	Polpa/Dente – Dente23	-458,338	5348,790	-,104	-,086	,932
	Largura da polpa/Largura da raiz – A – Dente 23	-333,800	276,067	-,099	-1,209	,228
	Largura da polpa/Largura da raiz – B – Dente 23	-376,819	296,911	-,096	-1,269	,206
3	(Constante)	450,860	247,881		1,819	,070
	Género do paciente	-57,455	26,372	-,155	-2,179	,031
	Dente/Raiz – Dente23	-58,540	191,670	-,028	-,305	,760
	Polpa/Raiz – Dente23	289,103	219,845	,122	1,315	,190
	Largura da polpa/Largura da raiz – A – Dente 23	-338,620	269,584	-,101	-1,256	,211
	Largura da polpa/Largura da raiz – B – Dente 23	-376,645	296,143	-,096	-1,272	,205
4	(Constante)	408,999	206,060		1,985	,049
	Género do paciente	-56,372	26,071	-,152	-2,162	,032
	Polpa/Raiz – Dente23	249,416	176,918	,105	1,410	,160
	Largura da polpa/Largura da raiz – A – Dente 23	-343,549	268,474	-,102	-1,280	,202
	Largura da polpa/Largura da raiz – B – Dente 23	-372,032	295,069	-,095	-1,261	,209
5	(Constante)	343,030	199,607		1,719	,087
	Género do paciente	-58,619	26,050	-,158	-2,250	,026
	Polpa/Raiz – Dente23	259,117	177,017	,109	1,464	,145
	Largura da polpa/Largura da raiz – A – Dente 23	-464,818	251,031	-,138	-1,852	,066
6	(Constante)	623,697	55,654		11,207	,000
	Género do paciente	-56,232	26,074	-,152	-2,157	,032
	Largura da polpa/Largura da raiz – A – Dente 23	-337,783	236,235	-,101	-1,430	,154
7	(Constante)	549,333	19,866		27,653	,000
	Género do paciente	-53,756	26,085	-,145	-2,061	,041

Estimativa Médico-Legal da Idade pela Proporção Polpa/Dente numa População Portuguesa: Comparação entre o Método de Cameriere e o Método de Kvaal em Caninos

Coeficientes Dente 33^a

Modelo	Coeficientes não padronizados		Coeficientes padronizados	t	Sig.
	B	Erro Erro	Beta		
1 (Constante)	1165,711	3848,040		,303	,762
Género do paciente	-52,741	25,972	-,142	-2,03	,044
Dente/Raiz – Dente33	-155,523	2623,675	-,068	-,059	,953
Polpa/Raiz – Dente33	-150,504	3403,682	-,052	-,044	,965
Polpa/Dente – Dente33	-221,430	4977,608	-,047	-,044	,965
Largura da polpa/Largura da raiz – A – Dente 33	366,949	307,373	,090	1,194	,234
Largura da polpa/Largura da raiz – B – Dente 33	-724,083	309,579	-,186	-2,34	,020
Largura da polpa/Largura da raiz – C – Dente 33	117,740	314,755	,030	,374	,709
2 (Constante)	1334,628	461,736		2,890	,004
Género do paciente	-52,740	25,905	-,142	-2,04	,043
Dente/Raiz – Dente33	-271,271	176,972	-,118	-1,53	,127
Polpa/Dente – Dente33	-440,932	365,875	-,093	-1,21	,230
Largura da polpa/Largura da raiz – A – Dente 33	367,475	306,347	,090	1,200	,232
Largura da polpa/Largura da raiz – B – Dente 33	-724,241	308,757	-,186	-2,35	,020
Largura da polpa/Largura da raiz – C – Dente 33	117,776	313,939	,030	,375	,708
3 (Constante)	1341,282	460,372		2,913	,004
Género do paciente	-52,262	25,816	-,141	-2,02	,044
Dente/Raiz – Dente33	-270,512	176,568	-,118	-1,53	,127
Polpa/Dente – Dente33	-436,478	364,872	-,092	-1,20	,233
Largura da polpa/Largura da raiz – A – Dente 33	390,341	299,558	,096	1,303	,194
Largura da polpa/Largura da raiz – B – Dente 33	-682,079	286,939	-,175	-2,38	,018
4 (Constante)	874,356	244,378		3,578	,000
Género do paciente	-53,735	25,815	-,145	-2,08	,039
Dente/Raiz – Dente33	-180,470	159,897	-,079	-1,13	,260
Largura da polpa/Largura da raiz – A – Dente 33	375,440	299,629	,092	1,253	,212
Largura da polpa/Largura da raiz – B – Dente 33	-704,677	286,633	-,181	-2,46	,015
5 (Constante)	611,042	72,804		8,393	,000
Género do paciente	-54,690	25,819	-,147	-2,12	,035
Largura da polpa/Largura da raiz – A – Dente 33	380,330	299,807	,094	1,269	,206
Largura da polpa/Largura da raiz – B – Dente 33	-707,372	286,823	-,182	-2,47	,015
6 (Constante)	667,185	57,897		11,52	,000
Género do paciente	-53,635	25,845	-,145	-2,08	,039
Largura da polpa/Largura da raiz – B – Dente 33	-586,415	270,929	-,151	-2,16	,032

Coeficientes Dente 43^a

Modelo	Coeficientes não padronizados		Coeficientes padronizados	t	Sig.
	B	Erro Erro	Beta		
1 (Constante)	5346,900	3312,896		1,614	,108
Género do paciente	-64,048	25,693	-,173	-2,49	,014
Dente/Raiz – Dente43	-2746,114	2204,919	-1,303	-1,25	,214
Polpa/Raiz – Dente43	3283,858	2794,582	1,288	1,175	,241
Polpa/Dente – Dente43	-5537,729	4194,788	-1,278	-1,32	,188
Largura da polpa/Largura da raiz – A – Dente 43	11,387	312,277	,003	,036	,971
Largura da polpa/Largura da raiz – B – Dente 43	-844,596	303,252	-,238	-2,79	,006
Largura da polpa/Largura da raiz – C – Dente 43	-71,898	226,268	-,024	-,318	,751
2 (Constante)	5359,988	3284,863		1,632	,104
Género do paciente	-64,078	25,613	-,173	-2,50	,013
Dente/Raiz – Dente43	-2754,624	2186,852	-1,307	-1,26	,209
Polpa/Raiz – Dente43	3295,631	2768,680	1,293	1,190	,235
Polpa/Dente – Dente43	-5554,052	4160,032	-1,282	-1,34	,183
Largura da polpa/Largura da raiz – B – Dente 43	-840,140	276,819	-,237	-3,03	,003
Largura da polpa/Largura da raiz – C – Dente 43	-71,176	224,815	-,023	-,317	,752
3 (Constante)	5323,232	3275,189		1,625	,106
Género do paciente	-64,315	25,543	-,173	-2,52	,013
Dente/Raiz – Dente43	-2728,723	2180,247	-1,295	-1,25	,212
Polpa/Raiz – Dente43	3257,358	2759,617	1,278	1,180	,239
Polpa/Dente – Dente43	-5510,715	4148,126	-1,272	-1,33	,186
Largura da polpa/Largura da raiz – B – Dente 43	-871,152	258,308	-,245	-3,37	,001
4 (Constante)	1487,137	406,464		3,659	,000
Género do paciente	-63,167	25,550	-,170	-2,47	,014
Dente/Raiz – Dente43	-162,188	160,327	-,077	-1,01	,313
Polpa/Dente – Dente43	-629,233	322,866	-,145	-1,95	,053
Largura da polpa/Largura da raiz – B – Dente 43	-947,337	250,366	-,267	-3,78	,000
5 (Constante)	1156,964	242,267		4,776	,000
Género do paciente	-64,962	25,490	-,175	-2,55	,012
Polpa/Dente – Dente43	-497,661	295,528	-,115	-1,68	,094
Largura da polpa/Largura da raiz – B – Dente 43	-1006,891	243,361	-,284	-4,14	,000

Anexo 14 – Testes de normalidade de Kolmogorov-Smirnov

Testes de Normalidade						
	Kolmogorov-Smirnov ^a			Shapiro-Wilk		
	Estatística	gl	Sig.	Estatística	gl	Sig.
Erro de estimação da idade (regressão de Cameriere – dente 13)	,123	200	,000	,941	200	,000
Erro de estimação da idade (regressão de Cameriere – dente 23)	,119	200	,000	,940	200	,000
Erro de estimação da idade (regressão de Cameriere – dente 33)	,118	200	,000	,940	200	,000
Erro de estimação da idade (regressão de Cameriere – dente 43)	,110	200	,000	,943	200	,000
Erro de estimação da idade (Regressão de Kvaal – dente 13 – M, W-L, G)	,113	200	,000	,962	200	,000
Erro de estimação da idade (Regressão de Kvaal – dente 23 – M, W-L, G)	,125	200	,000	,953	200	,000
Erro de estimação da idade (Regressão de Kvaal – dente 33 – M, W-L, G)	,129	200	,000	,950	200	,000
Erro de estimação da idade (Regressão de Kvaal – dente 43 – M, W-L, G)	,095	200	,000	,961	200	,000

a. Correlação de Significância de Lilliefors

Anexo 15 – Estatística de teste NPAR de WILCOXON

Estatísticas de teste ^a				
	Erro de estimação da idade (Regressão de Kvaal – dente 13 – M, W-L, G) – Erro de estimação da idade (regressão de Cameriere – dente 13)	Erro de estimação da idade (Regressão de Kvaal – dente 23 – M, W-L, G) – Erro de estimação da idade (regressão de Cameriere – dente 23)	Erro de estimação da idade (Regressão de Kvaal – dente 33 – M, W-L, G) – Erro de estimação da idade (regressão de Cameriere – dente 33)	Erro de estimação da idade (Regressão de Kvaal – dente 43 – M, W-L, G) – Erro de estimação da idade (regressão de Cameriere – dente 43)
Z	-,365 ^b	-,248 ^c	-1,778 ^b	-,238 ^b
Significância Sig. (bilateral)	,715	,804	,075	,812

a. Teste de Classificações Assinadas por Wilcoxon

b. Com base em postos positivos.

c. Com base em postos negativos.